



TUGAS AKHIR – RC09 1501

**PERENCANAAN PONDASI BEBAN DINAMIS
UNTUK KELOMPOK MESIN COMPRESSOR
CNG MARINE GRESIK–JAWA TIMUR**

CINDY RARA MERIS
3113.105.055

Dosen Pembimbing
Ir. SUWARNO, M.Eng.
Ir. ANANTA SIGIT S., MSc., Ph.D.

JURUSAN TEKNIK SIPIL
Fakultas Teknik Sipil dan Perencanaan
Institut Teknologi Sepuluh Nopember
Surabaya 2015



FINAL PROJECT – RC09 1501

**THE DESIGN OF DYNAMIC LOAD FOUNDATION
FOR COMPRESSOR MACHINE GROUP
CNG MARINE GRESIK – EAST JAVA**

CINDY RARA MERIS
3113.105.055

Counsellor Lecture
Ir. SUWARNO, M.Eng.
Ir. ANANTA SIGIT S., MSc., Ph.D.

CIVIL ENGINEERING DEPARTMENT
Faculty of Civil Engineering and Planning
Sepuluh Nopember Institute of Technology
Surabaya 2015

**PERENCANAAN PONDASI DINAMIS UNTUK
KELOMPOK MESIN COMPRESSOR CNG MARINE
GRESIK-JAWA TIMUR**

TUGAS AKHIR

Diajukan Untuk Memenuhi Salah Satu Syarat
Memperoleh Gelar Sarjana Teknik
Pada

Bidang Studi Geoteknik
Program Studi S-1 Lintas Jalur Jurusan Teknik Sipil
Fakultas Teknik Sipil dan Perencanaan
Institut Teknologi Sepuluh Nopember

Oleh :
CINDY RARA MERIS
NRP. 3113 105 055

Disetujui oleh Pembimbing Tugas Akhir

1. Ir. Suwarno, M.Eng(Pembimbing I)
2. Ir. Ananta Sigit S., MSc, PhD(Pembimbing II)

**SURABAYA
JULI, 2015**

PERENCANAAN PONDASI BEBAN DINAMIS UNTUK KELOMPOK MESIN COMPRESSOR CNG MARINE GRESIK – JAWA TIMUR

Nama : Cindy RaraMeris
NRP : 3113 105 055
Jurusan : Teknik Sipil FTSP – ITS
Dosen Konsultasi : Ir. Suwarno, M.Eng.
 : Ir. Ananta Sigit S., MSc., PhD.

Abstrak

Pondasi mesin berfungsi sebagai penahan dan penyalur gaya berupa beban statis dan beban dinamis yang ditimbulkan oleh mesin yang ditopangnya tanpa menimbulkan kerusakan/gangguan pada bangunan di sekitarnya dan orang-orang yang berkerja di sekitarnya serta tidak mengalami penurunan yang signifikan. Dalam perencanaannya harus memperhatikan amplitudo getaran mesin pada frekuensi kerjanya, disamping frekuensi natural system tanah-pondasi tersebut. Sehingga dapat diketahui apakah ada kemungkinan terjadi resonansi getaran pada sistem tersebut dan juga respon yang terjadi baik pada struktur pondasi maupun pada tanah dasar.

Untuk perencanaan pondasi mesin *compressor* yang berlokasi di CNG MARINE Gresik–Jawa, tugas akhir ini akan memberikan beberapa alternatif pondasi yang mampu menahan beban dinamis dan beban statis, dan diselesaikan dengan cara *Lumped Parameter System*. Perencanaan pondasi berupa pondasi tiang ukuran 20 cm x 20 cm dengan 1, 2 dan 4 kelompok mesin *compressor*.

“Halaman ini sengaja di kosongkan”

THE DESIGN OF DYNAMIC LOAD FOUNDATION FOR COMPRESSOR MACHINE GROUP CNG MARINE GRESIK – EAST JAVA

Student Name : Cindy RaraMeris
NRP : 3113 105 055
Department : Civil Engineering FTSP – ITS
Counsellor Lecture : Ir. Suwarno, M.Eng.
 : Ir. Ananta Sigit S., MSc., PhD.

Abstract

Machine foundation serves to forward and distribute the loads in the form of static load and dynamic loads generated by the engine that supports without causing damage/disruption in the surrounding buildings and the people who work in the vicinity without significant consolidation. To design a machine foundation, we should pay attention to the amplitude of vibration on the operating frequency, in addition to the natural frequency of the soil-foundation system. So it can be known whether there is the possibility of resonance vibrations in the system and also the response that occurs in both the foundation structure and the subgrade.

For the design of machine foundation which is located on CNG MARINE Gresik – East Java, this final project will provide several alternatives of foundation which are able to withstand the dynamic load and static load, and solved by “Lumped Parameter System” methode. The alternatives for the machine fondation are foundation for 1, 2 and 4 machine group using piles sized 20 cm x 20 cm.

“Halaman ini sengaja di kosongkan”

KATA PENGANTAR

Puji syukur saya panjatkan kehadirat Allah Yang Mah Esa atas segala limpahan anugerah dan karunia-Nya yang selalu menyertai saya sehingga saya dapat menyusun dan menyelesaikan tugas akhir ini dengan tepat waktu.

Tersusunnya tugas akhir ini juga tidak terlepas dari dukungan dan motivasi dari berbagai pihak yang telah banyak membantu dan memberi masukan, dukungan serta arahan kepada saya. Untuk itu saya ucapan terima kasih terutama kepada :

1. Ibunda tercinta, Alm. Merta Lega Lubis dan ‘ibunda’ kedua Alm. Julia Halet Lubis, ‘ibunda’ ketiga Hernita Lubis, terima kasih atas perjuangan Mamam dan Uwak membesarkan saya hingga saya menjadi seperti sekarang, tidak pernah menyerah dengan keadaan dan masukan positif yang sangat membangun, serta memberi contoh hidup pantang menyerah yang tetap menginspirasi saya hingga detik ini, *TERIMA KASIH deep from my heart, thank you for making me your only daughter and I proud for that! Thank you for being the amazing you!* Juga untuk setiap doa yang masih saya rasakan. *This is for you.*
2. Untuk saudara-saudara tercinta, Arga R. Dimos, Alm. Harle P. Julio, dan Joga Fadhillah, terimakasih atas cinta dan selalu menjadi *bodyguard, I love u!* ☺
3. Bapak Ir. Suwarno, M.Eng., selaku dosen pembimbing I dan Bapak Ir. Ananta Sigit S., MSc., PhD., selaku dosen pembimbing II, Bapak Ir. Wahju Herijanto, MT., selaku dosen wali saya serta Kepala Jurusan Teknik Sipil FTSP – ITS Bapak Budi Suswanto, ST., MT., Ph.D., yang telah banyak memberikan bimbingan, arahan,

petunjuk, dan motivasi dalam penyusunan tugas akhir ini.

4. Sahabat dalam hidup saya, Gayustri Hutabarat, terima kasih karena selalu ada ☺
5. Teman-teman angkatan ganjil 2013, dan teman-teman lainnya yang tidak bisa disebutkan satu persatu, terimakasih atas bantuan dan saran-saran yang telah diberikan selama proses penggerjaan tugas akhir ini.

Saya menyadari bahwa dalam penyusunan tugas akhir ini masih banyak kekurangan dan masih jauh dari sempurna, untuk itu saya mengharapkan saran yang membangun demi kesempurnaan tugas akhir ini. Semoga apa yang saya sajikan dapat memberikan manfaat bagi pembaca dan semua pihak. Akhir kata saya ucapan terima kasih.

Penyusun

DAFTAR ISI

**HALAMAN JUDUL
LEMBAR PENGESAHAN
ABSTRAK**

KATA PENGANTAR	i
DAFTAR ISI	iii
DAFTAR GAMBAR	v
DAFTAR TABEL	vii
DAFTAR GRAFIK	ix
DAFTAR LAMPIRAN	xi

BAB I PENDAHULUAN

1.1 Latar Belakang	1
1.2 Rumusan Masalah	1
1.3 Maksud dan Tujuan	2
1.4 Batasan Masalah	2
1.5 Manfaat Penulisan	3
1.6 Lokasi Studi	3

BAB II TINJAUAN PUSTAKA

2.1 Umum	5
2.2 Tanah	6
2.3 Pondasi	7
2.4 Tipe-tipe Mesin	10
2.5 Getaran	12
2.6 <i>Rotating Machine</i>	15
2.7 <i>Transmissibility</i>	16
2.8 Metode <i>Lumped Parameter System</i>	18
2.9 Penurunan Tanah	27
2.10 Daya Dukung Pondasi	31

2.11	Parameter Dinamis Pondasi Dalam	32
2.12	Kontrol Desain Pondasi Mesin	38
2.13	Analisa Biaya	43

BAB III METODOLOGI

3.1	Identifikasi Permasalahan	45
3.2	Studi Literatur	45
3.3	Pengumpulan Data	46
3.4	Pembebanan	46
3.5	Perencanaan Pondasi Mesin	46
3.6	Kontrol Desain Pondasi Mesin	47
3.7	Analisa Hasil Perencanaan (Analisa Biaya)	47
3.8	Kesimpulan	47
3.9	Diagram Alir Metodologi	48

BAB IV ANALISA

4.1	Perhitungan Pembebanan	49
4.2	Daya Dukung Statis Tiang	59
4.3	Perhitungan Modulus Geser (G) dan Gamma Tanah (γ)	69
4.4	Analisa Dinamis dengan Pondasi Tiang 20cm x 20cm	76
4.5	Daya Dukung Statis dan Dinamis Tiang	118
4.6	Rekapitulasi Perencanaan Pondasi	121
4.7	Analisa Biaya	129

BAB V KESIMPULAN	147
-------------------------------	------------

DAFTARPUSTAKA **LAMPIRAN**

DAFTAR GAMBAR

Gambar 1.1	Lokasi proyek dalam peta geologi lembar surabaya	4
Gambar 1.2	Denah lokasi proyek	4
Gambar 2.1	Pondasi blok	8
Gambar 2.2	Pondasi meja	9
Gambar 2.3	Getaran bebas tanpa peredam	12
Gambar 2.4	Getaran bebas dengan peredam	13
Gambar 2.5	Derajat kebebasan	25
Gambar 4.1	Sketsa pondasi untuk kelompok 1 mesin	50
Gambar 4.2	Letak gaya untuk pondasi kelompok 1 mesin	50
Gambar 4.3	Letak gaya arah melintang untuk pondasi kelompok 1 mesin	51
Gambar 4.4	Sketsa pondasi untuk kelompok 2 mesin	52
Gambar 4.5	Letak gaya untuk pondasi kelompok 2 mesin ..	53
Gambar 4.6	Letak gaya arah melintang untuk pondasi kelompok 2 mesin	53
Gambar 4.7	Sketsa pondasi untuk kelompok 4 mesin	54
Gambar 4.8	Letak gaya untuk pondasi kelompok 4 mesin	55
Gambar 4.9	Letak gaya arah melintang untuk pondasi kelompok 4 mesin	55
Gambar 4.10	Denah tiang bor 20x20cm untuk pondasi kelompok 1 mesin	60
Gambar 4.11	Denah tiang bor 20x20cm untuk pondasi kelompok 2 mesin	63
Gambar 4.12	Denah tiang bor 20x20cm untuk pondasi kelompok 4 mesin	66

Gambar 4.13	Denah pondasi untuk pondasi kelompok 1 mesin	131
Gambar 4.14	Potongan 1-1	131
Gambar 4.15	Denah pondasi untuk pondasi kelompok 2 mesin	134
Gambar 4.16	Potongan 2-2	134
Gambar 4.17	Denah pondasi untuk pondasi kelompok 4 mesin	137
Gambar 4.18	Potongan 3-3	137

DAFTAR GRAFIK

Grafik 2.1	Plot $M_T X_0 / m_e$ vs. <i>frequensi ratio</i> untuk <i>rotating unbalance</i>	16
Grafik 2.2	<i>Vertical constant</i>	17
Grafik 2.3	<i>Relationship of K_o to plasticity index and OCR</i>	19
Grafik 2.4	β_ψ , β_z , dan β_x	22
Grafik 2.5	Faktor pengaruh untuk beban bentuk segiempat	29
Grafik 2.6a	Parameter f_{18} <i>relaxed tip concrete pile</i>	33
Grafik 2.6a	Parameter f_{18} <i>fixed tip concrete pile</i>	33
Grafik 2.7	<i>Interaction factor α_A</i>	34
Grafik 2.8	α_L	36
Grafik 2.9	Hubungan antara frekuensi dan getaran yang dihasilkan	40
Grafik 2.10	Hubungan antara frekuensi mesin dan getaran yang dirasakan manusia	41
Grafik 2.11	Hubungan antara <i>Velocity</i> dan Frekuensi mesin	42
Grafik 4.1	Interaksi antara tegangan efektif, <i>boussinesq chart</i> dan tegangan minimum	73
Grafik 4.2	Rekapitulasi Nilai Amplitudo	125
Grafik 4.3	Rekapitulasi Nilai Velocity	126
Grafik 4.4	Rekapitulasi Nilai K	127
Grafik 5.1	Hubungan Antara Pondasi Kelompok Mesin dan Amplitudo	147
Grafik 5.2	Hubungan Antara Rasio Pondasi Kelompok Mesin dan Rasio Amplitudo	148

“Halaman ini sengaja dikosongkan”

DAFTAR TABEL

Tabel 2.1	Konstanta pegas	18
Tabel 2.2	Nilai k	20
Tabel 2.3	Tipikal harga modulus geser (G)	20
Tabel 2.4	Perkiraan nilai Y_{sat}	21
Tabel 2.5	Nilai r_o , η_z , η_x , dan η_ψ	22
Tabel 2.6	Ratio redaman	23
Tabel 2.7	Korelasi B_ϕ dan n_ϕ	24
Tabel 2.8	Faktor α_z , α_x dan α_ϕ	24
Tabel 2.9	Nilai v	24
Tabel 2.10	Variasi factor waktu (T) terhadap derajat konsolidasi (U)	30
Tabel 2.11	<i>Frequency independent constants for embedded pile cap with side resistance</i>	35
Tabel 2.12	<i>Value of $f_{11,1}$, $f_{11,2}f_{7,1}$, $f_{7,2}f_{9,1}$, $f_{9,2}$, for $1/r_o > 25$</i>	35
Tabel 2.13	Nilai K Dieckmann	39
Tabel 2.14	Kategorinilai K	39
Tabel 2.15	<i>General machinery vibration</i>	39
Tabel 2.16	Format analisa biaya	43
Tabel 4.1	Rekap hasil test di laboratorium	69
Tabel 4.2	Tegangan efektif tanah	70
Tabel 4.3	<i>Boussinesq chart</i>	71
Tabel 4.4	Tegangan minimum	72
Tabel 4.5	Data tanah SPT di titik DB-3	75
Tabel 4.6	Perencanaan Pondasi	121

Tabel 4.7	Rekapitulasi analisa dinamis pondasi kelompok 1 mesin	122
Tabel 4.8	Rekapitulasi analisa dinamis pondasi kelompok 2 mesin	123
Tabel 4.9	Rekapitulasi analisa dinamis pondasi kelompok 4 mesin	124
Tabel 4.10	Harga satuan kerja	138
Tabel 4.11	Harga satuan pokok kegiatan	140
Tabel 4.12	Rencana anggaran biaya untuk pekerjaan pondasi kelompok 1 mesin	144
Tabel 4.13	Rencana anggaran biaya untuk pekerjaan pondasi kelompok 2 mesin	145
Tabel 4.14	Rencana anggaran biaya untuk pekerjaan pondasi kelompok 4 mesin	146
Tabel 5.1	Perbandingan rekapitulasi biaya untuk pekerjaan pondasi kelompok mesin.....	149

DAFTAR LAMPIRAN

Lampiran 1 Data Tanah

Lampiran 2 Data Mesin *Compressor*

Lampiran 3 Denah dan Tampak Mesin *Compressor*

Lampiran 4 Spesifikasi Tiang Pancang

Lampiran 5 Gambar Rencana Pondasi

“Halaman ini sengaja dikosongkan”

BAB I

PENDAHULUAN

1.1 Latar Belakang

Pondasi berfungsi sebagai penerus dan penyalur beban dari struktur atas ke lapisan tanah di bawahnya dan tidak mengakibatkan kerusakan maupun penurunan yang berarti.

Untuk mesin biasanya menggunakan pondasi tipe blok dan tipe meja (*table top*). Tiang pancang bisa di pakai jika tanahnya lepas atau lunak. Pondasi mesin pada umumnya mempunyai berat 2-3 kali lebih besar daripada berat mesin yang dipikulnya, sedangkan beban dinamis yang ditimbulkan oleh mesin, biasanya relatif lebih kecil bila dibandingkan dengan beban statisnya. Akan tetapi, karena beban ini terjadi berulang-ulang dan dalam waktu yang cukup lama, maka dapat memungkinkan terjadinya kerusakan pada mesin itu sendiri, penurunan atau gangguan terhadap bangunan serta orang-orang di sekitarnya. Untuk itu, perlu dikontrol frekuensi dan amplitudo yang terjadi.

Pada perencanaan pondasi mesin *Compressor* yang berlokasi di CNG MARINE Gresik-Jawa Timur, jumlah mesin yang akan dipasang adalah 16 unit pada area yang berukuran 9,6 m x 80 m. Tugas akhir ini direncanakan untuk memberikan beberapa alternatif kelompok pondasi yang mampu menahan beban dinamis dan beban statis, dan diselesaikan dengan metode *Lumped Parameter System*.

Semoga tulisan ini dapat digunakan sebagai masukan atau referensi untuk perencanaan pondasi *Compressor* lainnya.

1.2 Rumusan Masalah

Permasalahan yang ditemukan dalam perencanaan pondasi mesin *Compressor Type Galileo MX4 400-4-1500-14* ini adalah:

1. Bagaimana merencanakan pondasi akibat pengaruh dari beban dinamis dan beban statis untuk 16 unit mesin *Compressor* dengan alternatif pondasi sebagai berikut:
 - a. Satu kelompok pondasi terdiri dari satu mesin.

- b. Satu kelompok pondasi terdiri dari dua mesin.
 - c. Satu kelompok pondasi terdiri dari empat mesin.
- Dimana pondasi yang dipakai adalah pondasi tiang ukuran 20 cm x 20 cm.
2. Bagaimana merencanakan pondasi mesin *compressor* agar setidaknya getaran yang ditimbulkan tidak mengganggu manusia di dekatnya (*Easily Noticeable to Person*) atau (<*Troublesome*).
 3. Berapa besar anggaran biaya untuk masing-masing alternatif pondasi mesin agar memenuhi kriteria perencanaan.

1.3 Maksud dan Tujuan

Dari permasalahan di atas, adapun tujuan dalam penyusunan tugas akhir ini adalah:

1. Merencanakan pondasi akibat pengaruh dari beban dinamis dan beban statis untuk 16 unit mesin *Compressor* dengan alternatif pondasi sebagai berikut:
 - a. Satu kelompok pondasi terdiri dari satu mesin.
 - b. Satu kelompok pondasi terdiri dari dua mesin.
 - c. Satu kelompok pondasi terdiri dari empat mesin.Dimana pondasi yang dipakai adalah pondasi tiang ukuran 20 cm x 20 cm.
2. Merencanakan pondasi mesin *compressor* dimana setidaknya getaran yang ditimbulkan tidak mengganggu manusia di dekatnya (*Easily Noticeable to Person*) atau (<*Troublesome*).
3. Menghitung besar anggaran biaya untuk masing-masing alternatif pondasi mesin dan menentukan pondasi mesin yang paling efisien.

1.4 Batasan Masalah

Batasan dalam pembahasan Tugas Akhir ini adalah:

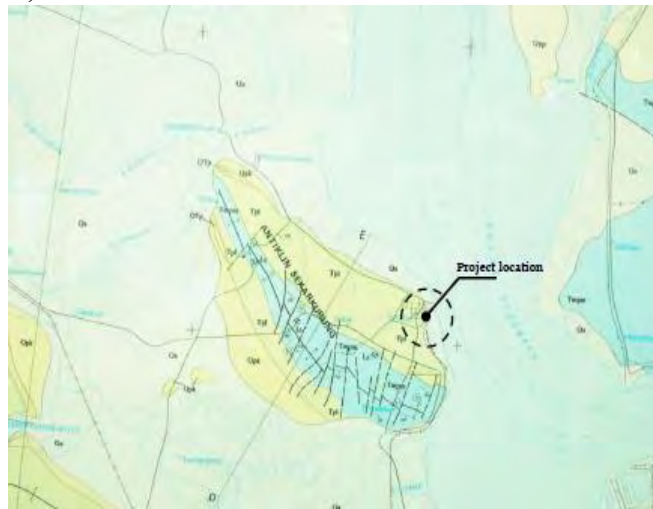
1. Pembahasan hanya dilakukan pada kasus pembangunan pondasi mesin *Compressor CNG MARINE* PT PJB yang berlokasi di Gresik-Jawa Timur.
2. Data tanah yang digunakan pada perhitungan daya dukung adalah data tanah yang sudah ada dan tidak membahas permasalahan dari tanah.
3. Perhitungan nilai amplitudo dan frekuensi pada pondasi mesin menggunakan metode *Lumped Parameter System* dan tidak membahas metode lain.
4. Untuk perencanaan, mesin diasumsikan bekerja secara serentak untuk masing-masing pondasi kelompok mesin.
5. Data mesin menggunakan data asli yang terlampir dalam lembar spesifikasi *Compressor Type Galileo MX4 400-4-1500-14*.
6. Tidak meninjau aspek pelaksanaan di lapangan.

1.5 Manfaat Penulisan

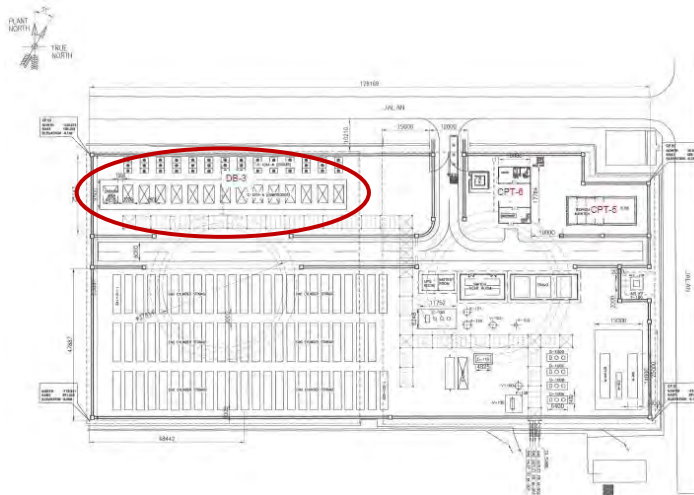
Tugas akhir ini diharapkan berguna sebagai masukan atau referensi untuk perencanaan pondasi *Compressor* lainnya.

1.6 Lokasi Studi

Lokasi studi berada di Proyek *CNG MARINE* PT PJB UP Gresik, Jawa Timur.



Gambar I.1 Lokasi Proyek Dalam Peta Geologi Lembar Surabaya.



Gambar I.2 Denah Proyek.

BAB II

TINJAUAN PUSTAKA

2.1 Umum

Perencanaan konstruksi pondasi yang baik tidak hanya dibutuhkan pada konstruksi bangunan sipil tapi juga pada mesin. Bahkan masalah yang ditemui pada perencanaan pondasi mesin jauh lebih rumit karena merupakan perpaduan dari struktur, geoteknik dan teori getaran.

Perencanaan pondasi pada umumnya membutuhkan pengetahuan terutama tentang beban-beban yang akan disalurkan dari bangunan atas ke sistem pondasi, parameter-parameter tanah serta kondisi dan perilaku hubungan antara tegangan dengan perubahan bentuk tanah. Pengukuran parameter-parameter tanah perlu dilakukan baik di laboratorium maupun di lapangan. Parameter-parameter tanah yang diperoleh tersebut harus dapat memberikan suatu informasi yang benar dan cukup memadai untuk dipergunakan dalam merencanakan stabilitas pondasi. Selain itu, beban yang terjadi karena alam (gempa) dan material yang digunakan juga harus diperhatikan. Sehingga dalam perencanaan pondasi dapat terpenuhi keamanan konstruksi/mesin di atasnya.

Hal yang harus diperhatikan pada perancangan sebuah pondasi mesin adalah amplitudo getaran mesin pada frekuensi kerjanya, disamping frekuensi natural system tanah - pondasi tersebut. Hal ini penting untuk mengetahui apakah ada kemungkinan akan terjadi resonansi getaran pada sistem tersebut disamping pula untuk mengetahui respon yang terjadi baik pada struktur pondasi maupun pada tanah dasar.

Semua beban dinamis tidak akan terjadi bila tidak disertai beban statis. Perhatian khusus pada pembahasan tugas akhir ini ditujukan pada beban dinamis yang ditimbulkan oleh mesin *Compressor* sebagai beban statis.

2.2 Tanah

Untuk memberikan gambaran sepintas mengenai sifat-sifat tanah dalam menghadapi perencanaan dan pelaksanaan konstruksi pondasi diperlukan suatu klasifikasi mengenai tanah. Klasifikasi tanah diperlukan untuk hal-hal sebagai berikut:

1. Perkiraan hasil eksplorasi tanah (persiapan log-bor tanah , peta tanah dan lain-lain).
2. Perkiraan standar kemiringan lereng dari penggalian tanah atau tebing.
3. Perkiraan pemilihan bahan (penentuan tanah yang harus disingkirkan, pemilihan tanah dasar, bahan tanah timbunan dan lain-lain).
4. Perkiraan persentase muai dan susut.
5. Pemilihan jenis konstruksi dan peralatan untuk konstruksi (pemilihan cara penggalian dan rancangan penggalian).
6. Perkiraan kemampuan peralatan untuk konstruksi.
7. Rencana pekerjaan/pembuatan lereng dan tembok penahan tanah pemilihan jenis konstruksi dan perhitungan tekanan tanah).

Sementara dari hasil penyelidikan di laboratorium/lapangan diketahui sifat-sifat alami dan teknis tanah yang dapat digunakan untuk mengevaluasi masalah-masalah seperti berikut:

1. Menentukan rembesan, daya rembes dan kecepatan rembesan air yang melalui penampang tanah serta koefisien rembesannya.
2. Menentukan pemampatan tanah yang berdasarkan teori konsolidasi Terzaghi dan penurunan, maka dapat digunakan untuk mengevaluasi penurunan konstruksi.
3. Menentukan kuat geser tanah, untuk mengevaluasi kemantapan lereng bendungan, tanggul dan lain-lain.

Hal lain tentang tanah sebagai bahan pondasi yang harus diselidiki antara lain sebagai berikut:

1. Kekuatan geser tanah (*Shear Strength*)
2. Kemampuan dan konsolidasi tanah
3. Permeabilitas tanah
4. Pemadatan tanah (*Compaction of Soil*)

2.3 Pondasi

Pondasi mesin merupakan pondasi beban dinamis yang dirancang sebagai pondasi yang dapat menerima beban statis mesin yang berupa berat mati mesin dan beban dinamis yang berupa gerak alat. Untuk itu dalam merencanakan pondasi harus menyatukan antara beban dinamis dan statis dengan cara menganalisis setiap beban yang bekerja. Beban-beban dinamis ditimbulkan oleh :

- a) Gempa, angin, gelombang air, palu, mesin, kendaraan cepat, bom dan lain-lain dengan cara pembebangan yang berbeda.
- b) Gempa merupakan beban yang penting dikarenakan dapat menyebabkan pondasi turun, miring, kehilangan daya dukung, liquefaction, bangunan bisa terapung.
- c) Getaran mesin merupakan sinusoidal. Semua beban dinamis tidak akan terjadi jika tidak disertai beban statis.
- d) Getaran akibat mesin pada pondasi dapat diumpamakan sebagai beban pegas dan peredam.

Bentuk struktur pondasi mesin banyak ditentukan oleh adanya informasi tentang informasi dan karakteristik tanah dimana mesin itu akan ditempatkan, seperti misalnya tanah berlumpur, tanah berpasir, dan sebagainya.

Disamping itu bentuk konstruksi mesin dan besarnya juga seringkali diambil sebagai bahan pertimbangan dalam merancang struktur pondasi. Dan juga yang perlu diperhatikan adalah pengaruh-pengaruhnya terhadap lingkungan di sekitarnya seperti misalnya pipa-pipa, atau objek lain yang sifatnya tetap.

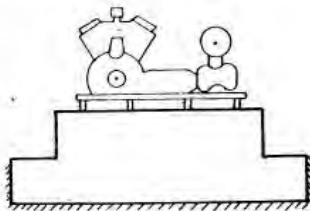
Secara garis besar sistem struktur pondasi mesin dapat dibagi dalam dua kategori umum yaitu:

1. Pondasi Dangkal

Dasar pondasi dangkal bertumpu langsung pada tanah, dimana dapat ditempatkan langsung di atas tanah ataupun pondasi ditanam sebagian. Tipe pondasi dangkal untuk mesin dibedakan menjadi dua jenis yaitu :

- Pondasi tipe blok

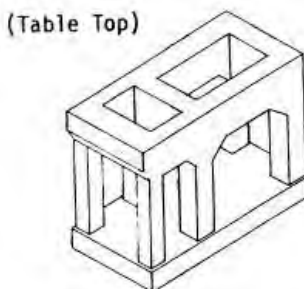
Yaitu struktur pondasi beton yang berupa suatu luasan tertentu dengan ketebalan yang relative besar, sehingga deformasi struktur akibat beban yang bekerja di atasnya dapat diabaikan. Pondasi ini langsung menopang mesin dan semua alat pelengkap mesin tersebut.



Gambar 2.1 Pondasi Blok

- Pondasi tipe meja (*table top*)

Yaitu sebuah struktur beton bertulang tiga dimensi yang terdiri dari balok-balok yang membentuk portal dengan kolom-kolom di bawahnya dan didukung oleh pondasi slab yang berat. Ujung-ujung atas kolom yang berhubungan dengan balok-balok itu dibentuk sedemikian rupa sehingga membentuk sebuah struktur meja yang kaku dimana mesin-mesin bekerja langsung di atasnya.



Gambar 2.2 Pondasi Meja

2. Pondasi Dalam

Pondasi dalam adalah struktur pondasi yang memerlukan tiang pancang atau sistem pendukung lainnya sebagai konstruksi pendukung dari struktur pondasi pada permukaan tanahnya. Pondasi tiang dipancang atau dicor kedalam tanah sampai mencapai kedalaman yang cukup, berfungsi untuk meneruskan beban ke dalam tanah dan menimbulkan tahanan gesek pada selimutnya dan tahanan ujung tiangnya. Pondasi tiang digunakan untuk mentransfer beban pondasi ke lapisan tanah yang dalam dimana dapat dicapai daya yang lebih baik dan dapat digunakan pula untuk menahan gaya angkat akibat tingginya muka air tanah dan gaya gempa. Penyaluran beban oleh tiang ini dapat dilakukan melalui lekatan antara sisi tiang dengan tanah sekeliling tiang (tahanan kulit), dukungan tiang oleh ujung tiang (*end bearing*). Pondasi tiang yang menopang mesin diperlukan apabila menemui permasalahan seperti di bawah ini:

- Tegangan akibat beban statis dan dinamis melebihi tegangan ijin tanah dan pemakaian pondasi dangkal tidak memungkinkan.
- Tanah dan kondisi muka air tanah yang menyebabkan getaran mesin dapat mengakibatkan tanah kehilangan kekuatan, atau menimbulkan deformasi yang besar. Sehingga beban-beban yang bekerja pada pondasi (statis

dan dinamis) harus ditransfer ke lapisan-lapisan tanah yang lebih dalam.

- Perlu untuk meningkatkan frekuensi natural dan mengurangi amplitudo getaran.
- Pertimbangan gempa.

Jika pondasi tiang digunakan dengan alasan tegangan total yang diterima lebih besar dari bearing capacity tanah, maka dipakai metode desain yang konvesional, seperti pada kasus prosedur praktis dari desain pondasi tiang terdiri dari penentuan jumlah tiang pancang yang diperlukan dari nilai bearing capacity sebuah pondasi tiang tunggal.

Ketika pondasi tiang diperlukan untuk meningkatkan frekuensi natural dari getaran dan menurunkan amplitudo gerakan dari pondasi, maka prosedur desain yang praktis memerlukan pertimbangan-pertimbangan khusus. Frekuensi natural dan amplitudo system tanah-pondasi-tiang untuk setiap mode getaran dapat dihitung dari nilai kekakuan dan dumping dengan menggunakan teori getaran.

2.4 Tipe-tipe Mesin

Perencanaan pondasi mesin harus memperhatikan tipe mesin yang akan membebani pondasi tersebut. Tipe mesin dibagi menjadi tiga macam yaitu :

a) *Reciprocating Machine*

Reciprocating Machine adalah mesin dengan beban dinamis sebesar < 600 rpm. Yang termasuk dalam mesin jenis ini adalah *internal combustion machine*, *steam engine*, Piston-type pump, *compressor*, serta mesin lain yang memiliki krak mekanis yang berputar dengan kecepatan sudut konstan. Pengoperasian dari mesin ini akan menimbulkan gaya yang tidak seimbang, baik dalam arah gerakan piston maupun tegak lurus piston.

b) Impact Machine

Impact Machine adalah mesin dengan beban dinamis berupa pukulan sebesar 60-150 pukulan per menit. Mesin yang termasuk dalam kategori ini adalah *forging hammers*. Mesin ini menimbulkan beban dinamis yang mencapai puncaknya dalam waktu yang sangat singkat lalu lenyap, dimana gaya getaran yang terjadi akibat pukulan yang berlangsung kurang dari satu detik.

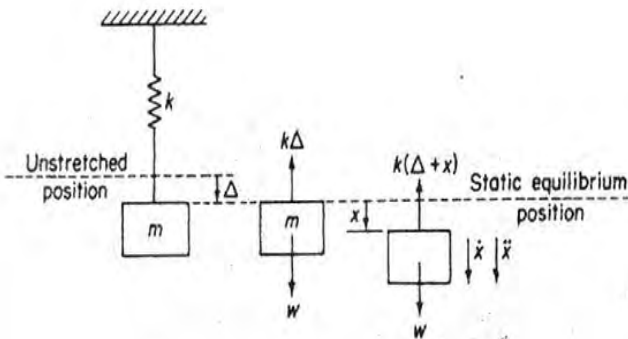
c) Rotating Machine

Rotating Machine adalah mesin dengan beban dinamis sebesar 3000-10000 rpm. Yang termasuk dalam kategori mesin ini adalah Turbo Generator, Turbin, dan *Rotary Compressors*.

Ketiga mesin tersebut memiliki analisis perhitungan yang berbeda untuk memberikan efek beban dinamis pada pondasi. *Compressor* yang ditinjau dalam tugas akhir ini termasuk jenis *Rotating Machine*. Gaya yang dihasilkan oleh mesin ini dapat dianalisis dengan mengubah beban rotasi menjadi beban pegas. Untuk mengubah menjadi beban pegas maka harus diketahui amplitudo yang terjadi akibat gaya rotasi yang bekerja. Amplitudo merupakan besarnya pergeseran pusat rotasi dari titik pusat. Besarnya amplitudo yang terjadi dapat menentukan gaya pegas yang diterima oleh pondasi.

2.5 Getaran

2.5.1 Getaran Bebas Tanpa Redaman



Gambar 2.3 Getaran Bebas Tanpa Peredam

Berdasarkan gambar di atas rumus yang digunakan untuk mencari koefisien pegas sebagai berikut:

$$k = m a \quad (\text{rumus 2.1})$$

Sehingga persamaan gerak menjadi:

$$(m \ddot{x}) + (k x) = W \sin \theta$$

Keterangan:

k = Konstanta pegas (kN/m)

m = Massa mesin ($\text{ton dt}^2/\text{m}$)

x = Jarak Perpindahan (m)

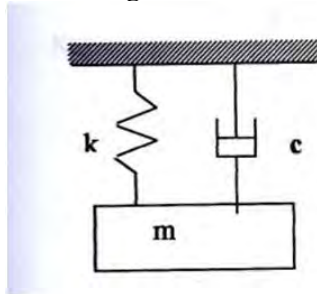
$a = \ddot{x}$ = Percepatan

$W \sin \theta$ = Gaya luar yang bekerja

$$\text{Misalkan } x = A \sin n t + B \cos \omega_n t \\ - n^2 + (k/m) = 0$$

$$\text{Maka frekuensi alami } n = \sqrt{\frac{k}{m}} \quad (\text{rumus 2.2})$$

2.5.2 Getaran Bebas Dengan Redaman



Gambar 2.4 Getaran Bebas Dengan Peredam

Berdasarkan gambar di atas, maka selain koefisien pegas dihitung pula koefisien redaman sebagai berikut:

$$c = 2\sqrt{k m} \quad (\text{rumus 2.3})$$

Sehingga persamaan gerak menjadi:

$$(m \ddot{x}) + (c \dot{x}) + (k x) = W \sin \theta$$

Keterangan:

c	= Koefisien Redaman
k	= Konstanta Pegas (kN/m)
m	= Massa Mesin ($\text{ton dt}^2/\text{m}$)
x	= Jarak perpindahan (m)
\dot{x}	= Kecepatan (m/dt)
$a = \ddot{x}$	= Percepatan (m^2/dt^2)
$W \sin \theta$	= Gaya luar yang bekerja (kN)

$$\text{Misalkan } x = e^{st}$$

Maka persamaan gerak menjadi:

$$S^2 e^{st} + \left(\frac{c}{m}\right) S e^{st} + \left(\frac{k}{m}\right) e^{st} = 0$$

$$S^2 + \left(\frac{c}{m}\right) S + \left(\frac{k}{m}\right) = 0$$

$$S_{1,2} = \frac{-\left(\frac{c}{m}\right) \pm \sqrt{\left(\frac{c}{m}\right)^2 - 4\left(\frac{c}{m}\right)}}{2}$$

$$= \left(\frac{1}{2m}\right) \left\{ -c \pm \sqrt{[c^2 - 4(km)]} \right\}$$

Bila $c^2 - 4km = 0$

$$c = c_c = 2\sqrt{km}$$

Dengan ratio redaman D:

$$D = \frac{c}{c_c} \quad (\text{rumus 2.4})$$

$$D = \frac{c}{2\sqrt{km}} \quad (\text{rumus 2.5})$$

$$c = 2D\sqrt{km} \quad (\text{rumus 2.6})$$

Maka:

$$S_{1,2} = n(-D \pm \sqrt{D^2 - 1}) \quad (\text{rumus 2.7})$$

Dari persamaan tersebut terdapat tiga keadaan:

- Keadaan 1: $D > 1$ (*Over Damped*) → tidak ada getaran
- Keadaan 2: $D = 1$ (*Critical Damping*) → cepat berhenti
- Keadaan 3: $D < 1$ (*Under Damped*) → terjadi getaran

$$\text{Dengan } x = A_1 e^{s_1 t} + A_2 e^{s_2 t}$$

Maka untuk $D < 1$:

$$x = e^{-\omega_1 D t} \left[(A_1 \cos \sqrt{1 - D} \frac{n}{n} t + i A_1 \sin \sqrt{1 - D} \frac{n}{n} t) \right. \\ \left. + (A_2 \cos \sqrt{1 - D} \frac{n}{n} t - i A_2 \sin \sqrt{1 - D} \frac{n}{n} t) \right]$$

$$x = e^{-\omega_1 D t} [(B_1 \cos \sqrt{1 - D^2} n t + B_2 \sin \sqrt{1 - D^2} n t)] \\ = X_0 e^{-\omega_1 D t} \sin(\sqrt{1 - D^2} n t + \varphi)$$

Maka frekuensi alami dengan redaman adalah:

$$\omega_n = \sqrt{1 - D^2} \quad (\text{rumus 2.8})$$

2.6 Rotating Machine

$$\text{Persamaan Gerak: } M_t \ddot{x} + c \dot{x} + kx = me^2 \underbrace{\sin(\omega t)}$$

Menggantikan posisi F_o

Maka amplitudo:

$$X_o = \frac{me^2}{\sqrt{(2Dr)^2 + (1-r^2)^2}} \quad (\text{rumus 2.9})$$

$$\frac{X_o}{me^2} = \frac{1}{\sqrt{(2Dr) + (1-r^2)}} \quad (\text{rumus 2.10})$$

pada ordinat harus di gabungkan dengan nilai r , maka:

$$F_o = me^2 \quad (\text{rumus 2.11})$$

Dimana:

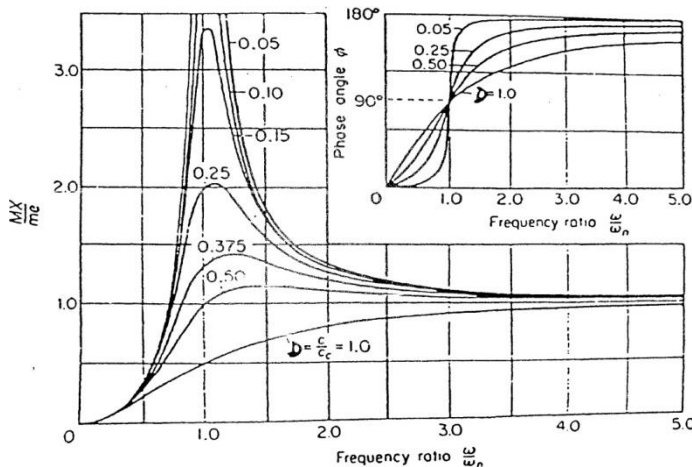
m = (m_e) = massa eksentris

e = eksentrisitas

M_t = massa total

$$\frac{M_t X_o}{me} = \frac{r^2}{\sqrt{(2Dr)^2 + (1-r^2)^2}} \quad \text{atau} \quad \frac{M_t X_o}{me} = \frac{r^2}{\sqrt{\left(\frac{c}{k}\right)^2 + \left(\frac{M_t}{k}\right)^2}} \quad (\text{rumus 2.12})$$

Digambarkan dalam grafik 2.1.



Grafik 2.1 Plot $M_T X_o / m_e$ vs. *frequensi ratio* untuk *rotating unbalance*
(dari Thomson, 1981)

Dengan cara yang sama seperti pada F_o konstan, diperoleh:

$$= \frac{n}{\sqrt{1-2D^2}} \quad (\text{rumus 2.13})$$

dimana adalah resonansi untuk *rotating*.

2.7 Transmissibility

Transmissibility adalah penyaluran gaya dinamis ke bangunan bawah.

Besarnya gaya dinamis yang disalurkan kebangunan bawah yaitu:

Gaya melalui pegas : $k \cdot X_o$

Gaya melalui redaman : $c \cdot X_o$

Gaya yang disalurkan melalui pegas dan peredaman:

$$F_T = \sqrt{(kX_o)^2 + (c \cdot X_o)^2} \quad (\text{rumus 2.14})$$

Sebelumnya untuk F_o konstan;

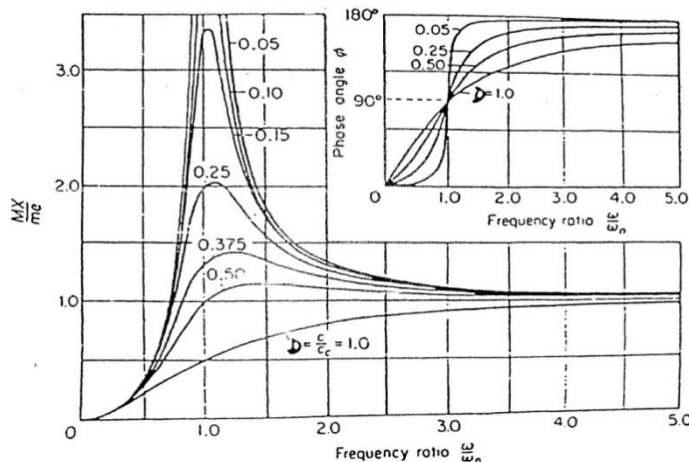
$$F_o = kX_o \sqrt{\left(\frac{c}{k}\right)^2 + \left(1 - \frac{m}{k}\right)^2} \quad (\text{rumus 2.15})$$

Maka:

$$T_r = \frac{F_T}{F_o} = \frac{kX_0 \sqrt{\left(\frac{c}{k}\right)^2 + (1)}}{kX_0 \sqrt{\left(\frac{c}{k}\right)^2 + \left(1 - \frac{m}{k}\right)^2}} \text{ atau } \frac{F_T}{F_o} = \frac{\sqrt{(2Dr)^2 + 1}}{\sqrt{(2Dr)^2 + (1-r^2)^2}}$$

(rumus 2.16)

Bila digambarkan dalam grafik, bisa dilihat pada grafik 2.2



Grafik 2.2 Vertical Constant

Nilai r agar nilai $T_r = 1$:

Untuk memudahkan perhitungan dipakai $D = 0$

$$T_r = \frac{\sqrt{1+0}}{\sqrt{0+(1-r^2)^2}} = \frac{1}{\pm(1-r^2)}$$

Agar $T_r = 1$ ada 2 kemungkinan:

$$\text{Bila dipilih tanda +, maka } 1 = \frac{1}{+(1-r^2)} r = 0$$

$$\text{Bila dipilih tanda -, maka } 1 = \frac{1}{-(1-r^2)} r = \sqrt{2}$$

$$\text{untuk rotating: } \frac{F_T}{F_o} = \frac{r^2 \sqrt{(2Dr)^2 + 1}}{\sqrt{(2Dr)^2 + (1-r^2)^2}} = \bar{T}_r = r^2 T_r \quad (\text{rumus 2.17})$$

2.8 Metode *Lumped Parameter System*

Metode yang paling mudah diikuti dalam menganalisa beban dinamis yaitu dengan menggunakan metode *Lumped Parameter System*. Metode ini merupakan hasil pengembangan dari metode sebelumnya, yaitu metode *Elastic Half Space (EHS)*. Tetapi metode Elastic Half Space sukar diikuti karena untuk mendapatkan amplitudo dan frekuensi saat resonansi langsung menggunakan grafik-grafik. Sedangkan metode *Lumped Parameter System* dalam menganalisa beban dinamis menggunakan massa, pegas dan peredam seperti pada teori getaran, dimana pada metode ini redaman tidak diabaikan.

Tabel 2.1 Nilai konstanta pegas

Bentuk getaran	Pondasi lingkaran	Pondasi kotak
Vertical	$k_z = \frac{4 \cdot G \cdot r_0}{1 - v} z$	$k_z = \frac{G}{1 - v} z \cdot \sqrt{B \cdot L} \cdot z$
Horizontal	$k_x = \frac{32 \cdot (1 - v) \cdot G \cdot r_0}{7 - 8v} x$	$k_x = 2(1 + v) \cdot G \cdot x \cdot \sqrt{B \cdot L} \cdot z$
Rocking	$k = \frac{8 \cdot G \cdot r_0^3}{3(1 - v)}$	$k = \frac{G}{1 - v} \cdot BL^2$
Torsional	$k = \frac{16 \cdot G \cdot r_0^3}{3}$	Tidak ada penyelesaian

Keterangan :

k_z = Koefisien pegas akibat gaya vertikal (kN/m)

k_x = Koefisien pegas akibat gaya horizontal (kN/m)

k = Koefisien pegas akibat momen (kN/m)

k = Koefisien pegas akibat torsi (kN/m)

G = Modulus geser (kN/m)

v = *Poison ratio*

r_0 = Jari-jari plat lingkaran = $(B \cdot L / \pi)^{0.5}$ (m)

Dimana harga modulus geser diperoleh dengan menggunakan rumus empiris sesuai kriteria sebagai berikut:

- Untuk pasir butiran bulat (*void ratio e* $\leq 0,80$)

$$G = 700 \frac{(2,17-e)^2}{1+e} (\sqrt{o}) \text{ (kN/m}^2\text{)} \quad (\text{rumus 2.18})$$

$$o = 0,333 (v + 2_h) \text{ (kN/m}^2\text{)} \quad (\text{rumus 2.19})$$

$$h = K_o \cdot v \text{ (kN/m}^2\text{)} \quad (\text{rumus 2.20})$$

- Untuk pasir butiran bulat (*void ratio e* $> 0,60$)

$$G = 326 \frac{(2,97-e)^2}{1+e} (\sqrt{o}) \text{ (kN/m}^2\text{)} \quad (\text{rumus 2.21})$$

$$o = 0,333 (v + 2_h) \text{ (kN/m}^2\text{)}$$

$$h = K_o \cdot v$$

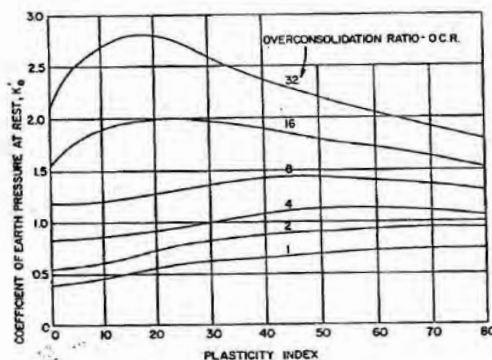
- Untuk lempung jenuh

$$G = 1230 \frac{(2,973-e)^2}{1+e} (OCR)^k (\sqrt{o}) \text{ (psi)} \quad (\text{rumus 2.22})$$

$$o = 0,333 (v + 2_h) \text{ (kg/cm}^2\text{)}$$

$$h = K_o \cdot v \text{ (kg/cm}^2\text{)}$$

Dimana nilai K_o dan k bisa dilihat pada grafik 2.3 dan tabel 2.2.



Grafik 2.3 *Relationship of K_o to Plasticity Index and OCR*

Tabel 2.2 Nilai k

Plasticity Index (PI)	k
0	0
20	0,18
40	0,30
60	0,41
80	0,48
≥ 100	0,50

- Cara pendekatan

Yaitu dengan menggunakan bantuan tabel *Typical value for lowstrain-amplitude shear modulus (Suresh C. Arya)* dan tabel *Empirical values for q_u and consistency of cohesive soils based on the standard penetration number (Joseph E. Bowles)*.

Tabel 2.3 Tipikal harga modulus geser (G)

Soil Type	Shear Modulus (psi)
Soft	3.000-5.000
Stiff clay	10.000-20.000
Very stiff to hard clay	>20000
Medium dense sand	5.000-15.000
Dense sand	10.000-20.000
Medium dense gravel	15.000-25.000
Dense gravel	20.000-40.000

(Sumber: *Design of Structures and Foundations for Vibrating Machines, Suresh C. Arya, 1979*)

Tabel 2.4 Perkiraan nilai γ_{sat}

consistency	very soft	soft	medium	stiff	very stiff	hard
q_u , ksf	0	0.5	1.0	2.0	4.0	8
N, standard penetration resistance	0	2	4	8	16	32
γ_{sat} , pcf (KN/m ³)	100-120 (16-19)	110-130 (17-20)			120-140 (19-22)	

(Sumber: *Foundation Analysis and Design, Joseph E. Bowles, 1977*)

Berdasarkan nilai konstanta pegas yang didapat maka akan diketahui frekuensi natural untuk setiap gaya. Rumus yang digunakan sebagai berikut :

$$f_n = \frac{1}{2\pi} \sqrt{\frac{k}{m}} \quad (\text{rumus 2.23})$$

Keterangan :

f_n = Frekuensi natural (rad/dt)

k = Konstanta pegas pada setiap arah gaya (kN/m)

m = Total massa (berat pondasi dan mesin per gravitasi) (ton dt²/m)

Sedangkan untuk menghitung frekuensi resonansi sebagai berikut:

$$f_{res} = f_n \cdot \sqrt{1 - 2 \cdot D^2} \quad (\text{rumus 2.24})$$

Keterangan:

F_{res} = Frekuensi resonansi (rad/dt)

f_n = Frekuensi natural pada arah gaya yang bekerja (rad/dt)

D = Rasio redaman pada arah gaya yang bekerja

Tabel 2.5 Nilai r_0 , r_z , dan r_x

Bentuk getaran	r_0 untuk pondasi kotak	Koefisien
Vertical	$\sqrt{BL/\pi}$	$r_z = 1 + 0,6(1-v)(h/r_0)$
Horizontal	$\sqrt{BL/\pi}$	$r_x = 1 + 0,55(2-v)(h/r_0)$
Rocking	$\sqrt[4]{BL^3/3\pi}$	$= 1 + 1,2(1 - v)(h/r_0) + 0,2(2 - v)(h/r_0)^3$
Torsional	$\sqrt[4]{BL(B^2 + L^2)/6\pi}$	Tidak tersedia

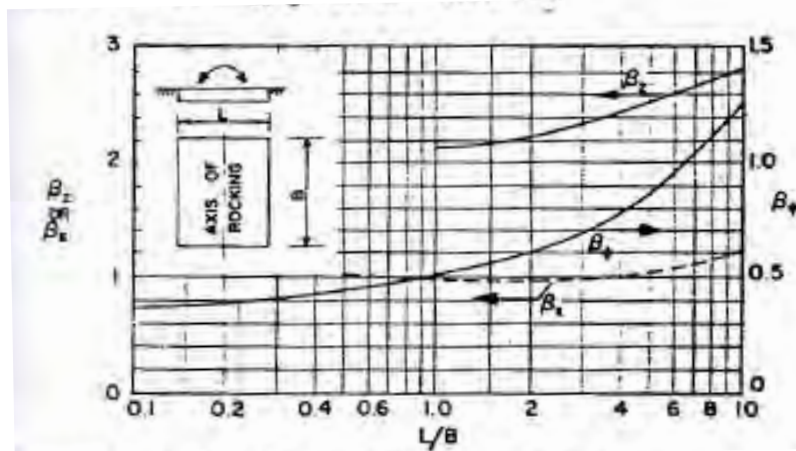
Keterangan:

B = Lebar pondasi (m)

L = Panjang pondasi (m)

h = Tebal penanaman pondasi (m)

v = poison ratio

Grafik 2.4 r_0 , r_z , dan r_x

Keterangan :

L = Panjang pondasi (m)

B = Lebar pondasi (m)

Sedangkan untuk menghitung koefisien redaman adalah sebagai berikut :

Tabel 2.6 Ratio redaman

Bentuk getaran	Rasio masa	Ratio redaman
<i>Vertical</i>	$B_z = \frac{(1-v)}{4} \cdot \frac{W}{r_0^3}$	$D_z = \frac{0,425}{\sqrt{B_z}} z$
<i>Horizontal</i>	$B_x = \frac{(7-8v)}{32(1-v)} \cdot \frac{W}{r_0^3}$	$D_x = \frac{0,288}{\sqrt{B_x}} x$
<i>Rocking</i>	$B = \frac{3(1-v)}{8} \cdot \frac{M_{mo}}{r_0^5}$	$D = \frac{0,15}{(1+n \cdot B) \sqrt{n \cdot B}}$
<i>Torsional</i>	$B = \frac{M_{mz}}{r_0^5}$	$D = \frac{0,5}{1+2B}$

Keterangan :

B_z = Rasio masa akibat gaya vertikal

B_x = Rasio masa akibat gaya horizontal

B = Rasio masa akibat momen

B = Rasio masa akibat torsi

W = Berat alat dan pondasi (ton)

M_{mo} = Momen pada titik nol (ton m dt²)

$$= \sum_1^N \left(\frac{1}{12} m_{pondasi} \cdot (t^2 + l^2) + m_{pondasi} \cdot (L - 1/2 t)^2 \right) + m_{mesin} \cdot (\text{letak titik berat} - L)^2 \quad (\text{rumus 2.25})$$

L = Letak titik berat pondasi dan mesin

$$= \frac{m_{pondasi} \cdot 1/2 t + m_{mesin} \cdot (t + \text{jarak titik berat mesin})}{m_{pondasi} + m_{mesin}} \quad (\text{m}) \quad (\text{rumus 2.26})$$

= Kepadatan tanah (kN dt²/ m⁴)

= Berat jenis tanah (kN/m³)

n = nilai yang didapat berdasarkan B
dimana:

Tabel 2.7 Korelasi B dan n

B	5	3	2	1	0,8	0,5	0,2
n	1,079	1,110	1,143	1,219	1,251	1,378	1,600

Tabel 2.8 Faktor z , x dan

Bentuk getaran	Faktor α
Vertical	$z = \frac{1 + 1,9(1-v)(h/r_0)}{\sqrt{z}}$
Horizontal	$x = \frac{1 + 1,9(2-v)(h/r_0)}{\sqrt{x}}$
Rocking	$= \frac{1 + 0,7(1-v)(h/r_0) + 0,6(2-v)(h/r_0)^3}{\sqrt{z}}$

Tabel 2.9 nilai v

Jenis tanah	Nilai v
lempung	0,4 - 0,5
pasir	0,3 - 0,35
batuan	0,15 - 0,5

Untuk menghitung besarnya amplitudo yang dihasilkan berdasarkan arah gaya yang terjadi adalah sebagai berikut :

$$A = M \frac{Q_o}{k} \quad (\text{rumus 2.27})$$

$$\text{Dimana } M = \frac{1}{\sqrt{(1-r^2)^2 + (2.D.r)^2}} \quad (\text{rumus 2.28})$$

Keterangan :

A = Amplitudo (inci)

M = Magnificatinon factor

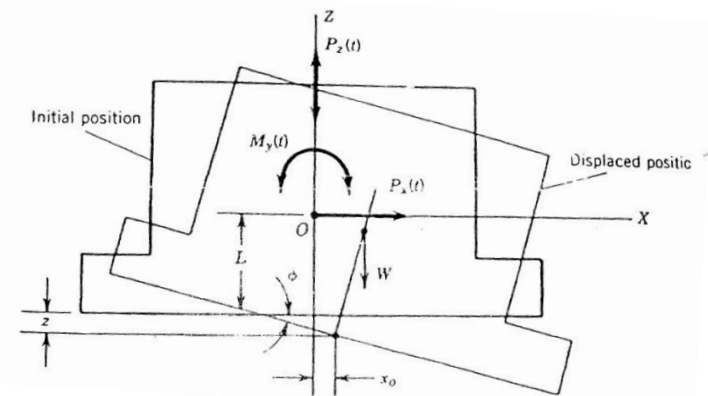
Q_o = Gaya luar berasal dari mesin (ton)

k = Konstanta pegas sesuai arah gaya (ton/m)

D = Rasio redaman

$$r = \frac{f_{\text{mesin}}}{f_n} \quad (\text{rumus 2.29})$$

Vertical, Lateral dan Rocking bersama-sama



Gambar 2.5 Derajat kebebasan

$$\sum F_z(t) = m\ddot{z}$$

$$\sum F_x(t) = m\ddot{x}$$

$$\sum M_y(t) = M_m \quad ..$$

Keterangan:

- Akibat perpindahan vertikal z , timbul tekanan ke atas
 $Z_1 = -C_u A z$
- Akibat perpindahan posisi, timbul momen $M_w = +WL$
- Akibat perpindahan lateral x_0 , timbul tekanan lateral
 $X_1 = -C A x_0$
 Bila $x_0 = x - L$, maka $X_1 = -C A(x - L)$
- Akibat X_1 akan timbul momen, $M_x = +C A(x - L)L$
- Akibat perputaran , timbul momen $M_0 = -C I$

Sehingga untuk vertikal tunggal:

$$m\ddot{z} + (C_u A)z = P_z \sin t \quad (\text{rumus 2.30})$$

Untuk kopel lateral:

$$m\ddot{x} + (C A)x - (C A)L = P_x \sin t$$

$$(\text{rumus 2.31})$$

Dan untuk *rocking*:

$$M_m \ddot{x} + (C_{AL} + C_I - WL) - (C_{AL})x = M_y \sin t \quad (\text{rumus 2.32})$$

Dari persamaan di atas terlihat bahwa getaran lateral dan rocking saling berpengaruh. Ketentuan mengenai perlu atau tidaknya melakukan perhitungan kopel dilakukan dengan memenuhi persyaratan sebagai berikut :

$$\frac{\sqrt{f_{nx}^2 + f_n^2}}{f_{nx} \cdot f_n} \leq \frac{2}{3 \cdot f_{mesin}} \quad (\text{rumus 2.33})$$

Jika persamaan di atas tidak dipenuhi maka pengaruh kopel harus dihitung sebagai pertambahan pada amplitudo. Untuk mencari nilai amplitudo akibat adanya kopel digunakan rumus sebagai berikut :

$$A_x = A_{x1} + A_{x2} \quad (\text{rumus 2.34})$$

$$A = A_1 + A_2 \quad (\text{rumus 2.35})$$

Dimana :

$$A_{x1} = \frac{F_x}{m \cdot M_m} \frac{\left[(-M_m \omega^2 + K_\varphi + K_x L^2)^2 + 4\omega(D_\varphi \sqrt{K_x M_m} + L^2 D_x \sqrt{K_x m})^2 \right]^{1/2}}{\Delta(\omega^2)} \quad (\text{rumus 2.36})$$

$$A_{x2} = \frac{M_y L}{M_m} \frac{\left[(\omega_{nx}^2)^2 + (2 \cdot D_x \cdot \omega_{nx} \omega)^2 \right]^{1/2}}{\Delta(\omega^2)} \quad (\text{rumus 2.37})$$

$$A_{\varphi 1} = \frac{F_x \cdot L}{M_m} \frac{\omega_{nx} (\omega_{nx}^2 + 4 \cdot D_x \cdot \omega^2)^{1/2}}{\Delta(\omega^2)} \quad (\text{rumus 2.38})$$

$$A_{\varphi 2} = \frac{M_y}{M_m} \frac{\left[(\omega_{nx}^2 - \omega^2)^2 + (2 \cdot D_x \cdot \omega_{nx} \omega)^2 \right]^{1/2}}{\Delta(\omega^2)} \quad (\text{rumus 2.39})$$

Dimana :

$$M_m = M_{mo} - m_{total} \cdot L^2$$

$$(\text{rumus 2.40})$$

$$r = \frac{M_m}{M_{m0}} \quad (\text{rumus 2.41})$$

$$\left[\omega_n^4 - \left[\frac{\omega_{nx}^2 + \omega_{n\varphi}^2}{r} - \frac{4.D_x.D_\varphi.\omega_{nx}.\omega_{n\varphi}}{r} \right] \omega_n^2 + \frac{\omega_{nx}^2 \omega_{n\varphi}^2}{r} \right]^2 + \\ 4 \left[\frac{D_x.\omega_{nx}.\omega_n}{r} (\omega_{n\varphi}^2 - \omega_n^2) + \frac{D_\varphi.\omega_n.\omega_{n\varphi}}{r} (\omega_{nx}^2 - \omega_n^2) \right]^2 = 0 \quad (\text{rumus 2.42})$$

Dengan mengabaikan nilai redaman (D) maka akan didapat nilai sehingga $\Delta(\omega^2)$:

$$\Delta(\omega^2) = \left\{ \left[\omega^4 - \left[\frac{\omega_{nx}^2 + \omega_{n\varphi}^2}{r} - \frac{4.D_x.D_\varphi.\omega_{nx}.\omega_{n\varphi}}{r} \right] \omega^2 + \frac{\omega_{nx}^2 \omega_{n\varphi}^2}{r} \right]^2 + 4 \left[\frac{D_x.\omega_{nx}.\omega}{r} (\omega_{n\varphi}^2 - \omega^2) + \frac{D_\varphi.\omega.\omega_{n\varphi}}{r} (\omega_{nx}^2 - \omega^2) \right]^2 \right\}^{\frac{1}{2}} \quad (\text{rumus 2.43})$$

2.9 Penurunan Tanah

Penambahan beban di atas suatu permukaan tanah dapat menyebabkan lapisan tanah di bawahnya mengalami pemampatan. Penurunan tersebut disebabkan oleh adanya deformasi partikel tanah, relokasi partikel, keluarnya air atau udara dari dalam pori, dan sebab-sebab lain. Beberapa atau semua faktor tersebut mempunyai hubungan dengan keadaan tanah yang bersangkutan. Secara umum, penurunan (*settlement*) pada tanah yang disebabkan oleh pembebangan dapat dibagi dalam dua kelompok besar, yaitu:

- Penurunan konsolidasi (*consolidation settlement*), yang merupakan hasil dari perubahan volume tanah jenuh air akibat dari keluarnya air yang menempati pori-pori tanah.
- Penurunan segera (*immediate settlement*), yang merupakan akibat dari deformasi elastik tanah kering, basah, dan jenuh air tanpa adanya perubahan kadar air. Perhitungan penurunan segera umumnya didasarkan pada penurunan yang diturunkan dari teori elastisitas. (Das, 1995)

Besarnya amplitudo penurunan tanah akibat konsolidasi primer (S_{cp}) dari tanah lempung tergantung dari kondisi sejarah tanahnya, yaitu *normally consolidated* (NC).

$$S_{cp} = \frac{C_c \cdot H}{1+e_0} \log \left(1 + \frac{\Delta \sigma}{\sigma_o} \right) \quad (\text{rumus 2.44})$$

Keterangan :

C_c = compression index

H = tebal lapisan tanah compressible (m)

e_0 = angka pori awal (initial void ratio)

Δ = surcharge load (kN/m^2)

σ'_o = overburden pressure effective (kN/m^2)

Surcharge yang dimaksud adalah besarnya beban yang bekerja di atas permukaan tanah asli (*compressible soil*) dalam satuan tegangan. Persamaan yang digunakan adalah sebagai berikut:

$$\Delta = q_o \cdot I \quad (\text{rumus 2.45})$$

$$= \frac{q_o}{2\pi} \left[\frac{mn}{\sqrt{1+m^2+n^2}} \frac{1+m^2+n^2}{(1+n^2)(m^2+n^2)} + \sin^{-1} \frac{m^2}{\sqrt{m^2+n^2}\sqrt{1+n^2}} \right] \quad (\text{rumus 2.46})$$

Dimana:

$$m = \frac{a}{b} \quad \text{dan} \quad n = \frac{z}{b} \quad \text{lihat grafik 2.5}$$

$$q_o = t \cdot h_{tanah} \quad (\text{rumus 2.47})$$

Keterangan:

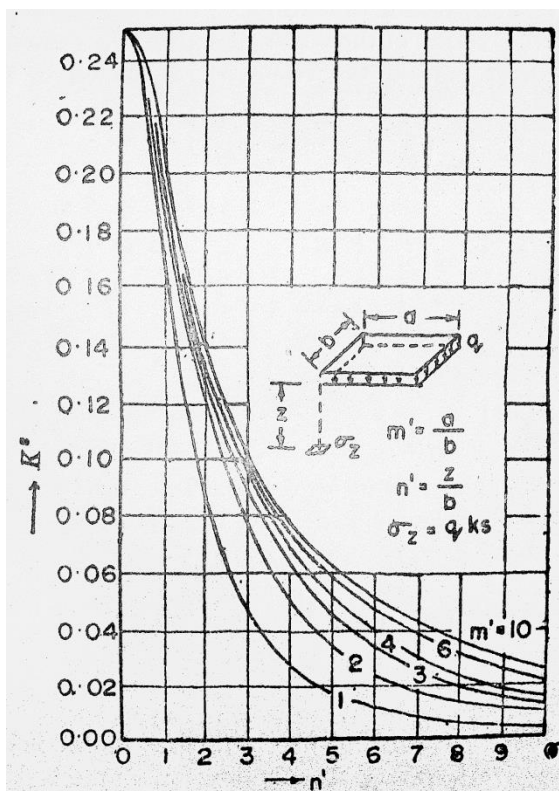
Δ = beban surcharge yang terjadi

I = Faktor pengaruh bentuk beban, bisa juga ditentukan dari grafik 2.5

t = berat volume tanah

h_{tanah} = tinggi timbunan

Apabila timbunan terendam air, maka digunakan harga tanah efektif (').



Grafik 2.5 Faktor pengaruh untuk beban bentuk segiempat
(sumber : *Soil Mechanics and Foundation, After Steinbrenner, 1936*)

Waktu atau lamanya penurunan tanah (t) dapat diperoleh dari perumusan sebagai berikut:

$$t = \frac{T_v \cdot H_{dr}^2}{C_v} \quad (\text{rumus 2.48})$$

Keterangan :

T_v = Faktor waktu, tergantung dari derajat konsolidasi "U"
(tabel 2.10)

Untuk $U > 60\%$, $T = 1,781 - 0,933 \log(100-U\%)$ (rumus 2.49)

C_v = koefisien konsolidasi vertical (cm^2/sec atau m^2/sec)

H_{dr} = $\frac{1}{2} H$ → Double drainage

H_{dr} = H → Single drainage

H = Tebal lapisan tanah di lapangan yang memampat

Tabel 2.10 Variasi faktor waktu (T) terhadap derajat konsolidasi (U)

Derajat konsolidasi (U%)	Faktor waktu (T)
0	0
10	0,008
20	0,031
30	0,071
40	0,126
50	0,197
60	0,287
70	0,403
80	0,567
90	0,848
100	Tak terhingga

2.10 Daya Dukung Pondasi

2.10.1 Pondasi Dangkal

Diantara banyak ahli, Terzaghi lebih terkenal dalam menganalisa kapasitas daya dukung pondasi dangkal. Menurut Terzaghi, besarnya daya dukung ultimate pondasi dangkal segi empat sebagai berikut:

$$q_u = \left(1 + 0,2 \frac{B}{L}\right) C N_c + Y D N_q + \left(1 - 0,2 \frac{B}{L}\right) Y \frac{B}{2} N_y$$

(rumus 2.50)

$$q_{ijin} = \frac{q_u}{SF=3} \quad (rumus 2.51)$$

Keterangan :

q_u = Daya dukung ultimate (ton/m^2)

q_{ijin} = Daya dukung ijin (ton/m^2)

C = Cohesi (ton/m^2)

B = Lebar (m)

L = Panjang (m)

N_c, N_q, N_y = Faktor daya dukung

2.10.2 Pondasi Dalam

Daya dukung yang diberikan oleh pondasi dalam berasal dari *friction* dan *end bearing*. *Friction* adalah gaya gesek yang terjadi antara tiang dengan tanah. Nilai *friction* terbesar adalah jika terjadi gesekan antara tiang dan tanah lempung. Sedangkan *end bearing* adalah kekuatan tanah dibawah pondasi yang mampu menahan beban. *End bearing* terbesar terjadi apabila pondasi tiang diletakkan pada tanah pasir. Kombinasi dari kedua gaya tersebutlah yang menentukan kekuatan dari satu tiang. Jika tiang tersebut digunakan dalam kelompok maka kekuatan satu tiang harus direduksi dikarenakan tanah yang berada diantara tiang tidak mampu memberikan gaya gesek.

Daya dukung pondasi tiang pancang berdasarkan rumus Luciano Decourt, 1982:

$$Q_{ult} = Q_e + Q_f \quad (rumus 2.52)$$

$$Q_e = q_p \cdot A_p \\ = \bar{N}_p \cdot K \cdot A_p$$

$$Q_f = q_s \cdot A_s \\ = \left(\frac{\bar{N}_s}{3} + 1 \right) \cdot A_s$$

Keterangan :

Q_e = Daya dukung pada dasar tiang (ton)

Q_f = Daya dukung pada selimut tiang (ton)

k = Koefisien karakteristik tanah

12 t/m² : tanah lempung

20 t/m² : tanah lanau berlempung

25 t/m² : tanah lanau berpasir

40 t/m² : tanah pasir

A_p = Luas dasar tiang (m²)

\bar{N}_p = Harga rata-rata SPT sekitar 4D di atas hingga
di bawah

= $\sum_1^N N_i / n$

A_s = Luas selimut tiang (m²)

\bar{N}_s = Nilai N rata-rata sepanjang tiang tertanam

2.11 Parameter Dinamis Pondasi Dalam

Pondasi dalam yang digunakan berupa pondasi pancang. Untuk itu pengaruh gaya dinamis yang dikeluarkan mesin harus disesuaikan dengan jenis pondasi sehingga didapat perhitungan nilai konstanta pegas dan redaman seperti berikut :

a) Vertikal

$$k_z^{-1} = \frac{E_p \cdot A}{r_o} f_{18,1} \quad (\text{rumus 2.53})$$

Keterangan :

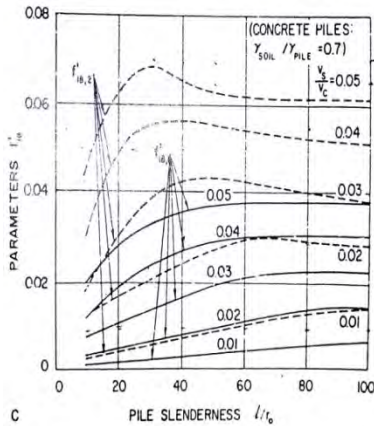
E_p = $4700\sqrt{f_c}$ (Mpa)

A = $1/4\pi \cdot d^2$ (m²)

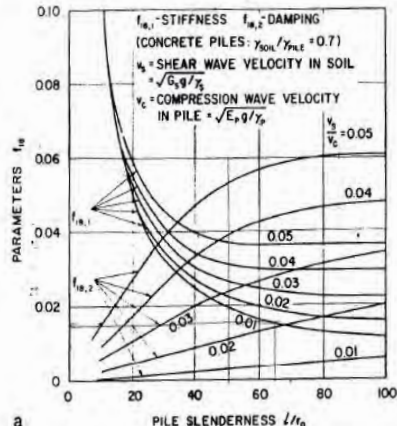
r_o = jari-jari tiang (m)

$f_{18,1}, f_{18,2}$ = grafik 2.6

Berdasarkan nilai v_s/v_c ; $v_s = \sqrt{G_s \cdot g / \gamma_s}$; $v_c = \sqrt{E_p \cdot g / \gamma_p}$;
 $\gamma_s / \gamma_p = 0,7$ (rumus 2.54)



Grafik 2.6a Parameter f_{18}
relaxed tip concrete pile



Grafik 2.6b Parameter f_{18}
fixed tip concrete pile

Sumber : Design of Structures and Foundations for Vibrating Machines, Suresh C. Arya, 1979

$$c_z^{-1} = \frac{E_p A}{v_s} f_{18,2} \quad (\text{rumus 2.55})$$

$$D_z^{-1} = \frac{c_z^{-1}}{2\sqrt{k_z^{-1} m c}} \quad (\text{rumus 2.56})$$

$$k_z^g = \frac{\sum_1^N k_z^{-1}}{\sum_1^N \alpha_A} \quad (\text{rumus 2.57})$$

$$c_z^g = \frac{\sum_1^N c_z^{-1}}{\sum_1^N \alpha_A} \quad (\text{rumus 2.58})$$

$$c_z \text{total} = c_z^g + c_z^f \quad (\text{rumus 2.59})$$

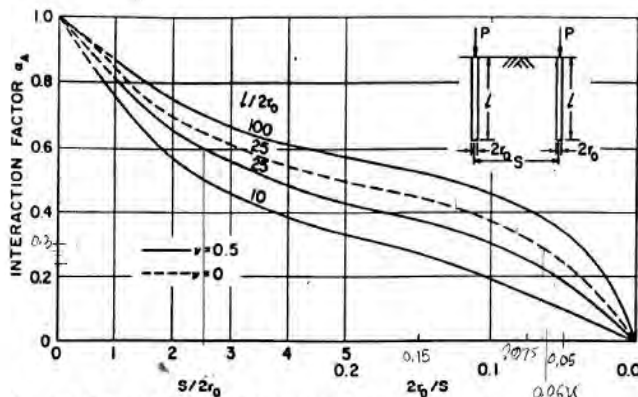
$$k_z \text{total} = k_z^g + k_z^f \quad (\text{rumus 2.60})$$

Keterangan :

m_c = Massa total mesin dan pondasi (ton dt^2/m)

a = grafik 2.7

Berdasarkan nilai $l/2r_o$; $2r_o/S$



Grafik 2.7 Interaction factor α_A

Sumber : *Design of Structures and Foundations for Vibrating Machines*,
Suresh C. Arya, 1979

$$k_z^f = G_s h \bar{S}_1 \quad (\text{rumus 2.61})$$

$$c_z^f = h r_o \sqrt{\frac{G_s}{g}} \bar{S}_2 \quad (\text{rumus 2.62})$$

$$D_z^g = \frac{c_z \text{total}}{2\sqrt{k_z \text{total} \cdot m_c}} \quad (\text{rumus 2.63})$$

Keterangan :

r_o = Koefisien penanaman pile cap (m)

h = Tebal penanaman pile cap (m)

g = gaya gravitasi (m/dt^2)

G_s = Modulus geser tanah

\bar{S}_1, \bar{S}_2 = Berat jenis tanah (kN/m^3)

\bar{S}_1, \bar{S}_2 = tabel 2.8 ; $v = 0,4$ (poison ratio)

Tabel 2.11 Frequency independent constants for embedded pile cap with side resistance

v	\bar{S}_1	\bar{S}_2	\bar{S}_{U1}	\bar{S}_{U2}	$\bar{S}_{\varphi 1}$	$\bar{S}_{\varphi 2}$
0,0	2,7	6,7	3,6	8,2	2,5	1,8
0,25	2,7	6,7	4,0	9,1	2,5	1,8
0,4	2,7	6,7	4,1	10,6	2,5	1,8

Sumber : Design of Structures and Foundations for Vibrating Machines,
Suresh C. Arya, 1979

b) Horizontal

$$k_x^{-1} = \frac{E_p I}{r_o^3} f_{11,1} \quad (\text{rumus 2.64})$$

$$c_x^{-1} = \left(\frac{E_p I}{r_o^2 v_s} \right) f_{11,2} \quad (\text{rumus 2.65})$$

Keterangan :

$$E_p = 4700\sqrt{f_c} \text{ (Mpa)}$$

$$I_p = \text{Inersia (cm}^4\text{)}$$

$$r_o = \text{Diameter tiang (m)}$$

$f_{11,1}, f_{11,2}$ = tabel 2.12

Tabel 2.12 Value of $f_{11,1}, f_{11,2}, f_{7,1}, f_{7,2}, f_{9,1}, f_{9,2}$ for $1/r_o > 25$

v	vs/vc	f11,1	f11,2	f7,1	f7,2	f9,1	f9,2
0,4	0,01	0,0036	0,0084	0,202	0,139	-0,0194	-0,0280
	0,03	0,0185	0,0438	0,349	0,243	-0,0582	-0,0848
	0,05	0,0397	0,0942	0,450	0,314	-0,0970	-0,1410
0,25	0,01	0,0032	0,0076	0,195	0,135	-0,0181	-0,0262
	0,03	0,0166	0,0395	0,337	0,235	-0,0543	-0,0793
	0,05	0,0358	0,0850	0,435	0,304	-0,0905	-0,1321

Sumber : Design of Structures and Foundations for Vibrating Machines,
Suresh C. Arya, 1979

$$k_x^g = \frac{\sum_1^N k_x^1}{\sum_1^N \alpha_l} \quad (\text{rumus 2.66})$$

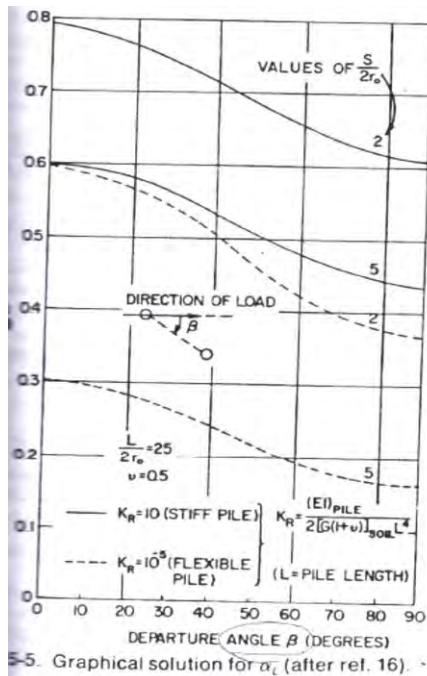
$$c_x^g = \frac{\sum_1^N c_x^1}{\sum_1^N \alpha_l} \quad (\text{rumus 2.67})$$

$$c_x \text{total} = c_z^g + c_z^f \quad (\text{rumus 2.68})$$

$$k_x \text{total} = k_x^g + k_x^f \quad (\text{rumus 2.69})$$

Keterangan :

α_L = grafik 2.8



Grafik 2.8 α_L

Sumber : *Design of Structures and Foundations for Vibrating Machines*,
Suresh C. Arya, 1979

$$k_x^f = G_s h \overline{S_{u1}} \quad (\text{rumus 2.70})$$

$$c_x^f = h r_o \sqrt{G_s \frac{s}{g} \overline{S_{u2}}} \quad (\text{rumus 2.71})$$

$$D_x^g = \frac{c_x^{\text{total}}}{2\sqrt{k_x^{\text{total}} mc}} \quad (\text{rumus 2.72})$$

Keterangan :

$\overline{S_{u1}}, \overline{S_{u2}}$ = tabel 2.11 ; v = 0,4 (*poison ratio*)

c) *Rocking*

$$k_\varphi^1 = \frac{E_p I}{r_o} f_{7,1} \quad (\text{rumus 2.73})$$

$$c_\varphi^1 = \left(\frac{E_p I}{v_s} \right) f_{7,2} \quad (\text{rumus 2.74})$$

$$k_{x\varphi}^1 = \frac{E_p I}{r_o^2} f_{9,1} \quad (\text{rumus 2.75})$$

$$c_{x\varphi}^1 = \left(\frac{E_p I}{r_o v_s} \right) f_{9,2} \quad (\text{rumus 2.76})$$

Keterangan :

$f_{7,1}, f_{7,2}, f_{9,1}, f_{9,2}$ = tabel 2.12

$$k_\varphi^g = \sum_1^N \left[k_\varphi^1 + k_z^1 x_r^2 + k_x^1 z_c^2 - 2z_c k_{x\varphi}^1 \right] + k_\varphi^f$$

$$k_\varphi^f = G_s r_o h^2 \overline{S_{\varphi 1}} + G_s r_o^2 h \left[\left(\frac{\delta^2}{3} \right) + \left(\frac{z_c}{r_o} \right)^2 - \delta \left(\frac{z_c}{r_o} \right) \right] \overline{S_{u1}}$$

$$c_\varphi^g = \sum_1^N [c_\varphi^1 + c_z^1 x_r^2 + c_x^1 z_c^2 - 2z_c c_{x\varphi}^1] + c_\varphi^f$$

$$c_\varphi^f = \delta r_o^4 \sqrt{G_s \gamma_s / g} \left\{ \overline{S_{\varphi 2}} + \left[\left(\frac{\delta^2}{3} \right) + \left(\frac{z_c}{r_o} \right)^2 - \delta \left(\frac{z_c}{r_o} \right) \right] \overline{S_{u2}} \right\}$$

$$D_\varphi^f = \frac{c_\varphi^f}{2\sqrt{c_\varphi^g mc}}$$

Keterangan :

- Δ = Tebal penanaman *pile cap* dibagi koefisien penanaman *pile cap* (h/r_o)
 z_c = Jarak pangkal tiang hingga pusat titik berat pondasi dan mesin
 x_r = jarak tiang dan garis sumbu
 $\overline{S_{\varphi 1}}, \overline{S_{\varphi 2}}$ = tabel 2.11 ; $v = 0,4$ (*poison ratio*)

2.12 Kontrol Desain Pondasi Mesin

Tujuan utama dalam merencanakan pondasi mesin adalah membatasi amplitudo sehingga tidak akan membahayakan mesin yang bekerja di atasnya dan tidak mengganggu orang yang ada di sekitar mesin tersebut. Selain mengontrol amplitudo, berikut ini merupakan hal-hal yang harus diperhatikan dalam merencanakan pondasi mesin:

1. Daya dukung statis harus $\leq 50\% \bar{\sigma}$.
2. Daya dukung statis + dinamis $\leq 50\% \bar{\sigma}$.
3. Untuk penurunan statis, agar penurunan merata titik berat mesin direncanakan berimpit dengan titik berat pondasi, dengan toleransi $< 5\%$ dimensi.
4. Untuk penurunan statis+dinamis, agar penurunan merata titik berat mesin direncanakan berimpit dengan titik berat pondasi, dengan toleransi $< 0,5\%$ dimensi.
5. Pembesaran dinamis untuk vertikal $< 1,5$.
6. Frekuensi resonansi harus $< 0,8$ atau $> 1,2$ dari frekuensi mesin.
7. Amplitudo vertikal dikontrol dengan grafik 2.10 dengan ketentuan setidaknya memenuhi kategori “*Easily Noticeable to Person*”.
8. Berdasarkan nilai amplitudo akan didapat nilai *velocity* dengan rumus :

$$v = 2\pi \cdot f \cdot A \text{ (inc/det)} \quad (\text{rumus 2.82})$$

Nilai *velocity* dikontrol dengan menggunakan tabel 2.15 dengan ketentuan keadaan mesin setidaknya memenuhi kategori “*Very Good*”. Untuk *velocity vertical* dikontrol

- dengan menggunakan grafik 2.11 dengan ketentuan keadaan mesin setidaknya memenuhi kategori “*Barely noticeable to persons*”.
9. Amplitudo horizontal dikontrol dengan grafik 2.9 dengan ketentuan setidaknya memenuhi kategori “*Minor Fouls*”.
 10. Getaran horizontal dan vertical dikontrol dengan nilai K rumus Dieckmann dengan ketentuan setidaknya memenuhi kategori “*Affected but Still Possible*” pada tabel 2.14

Tabel 2.13 Nilai K Dieckmann

X vibration	Nilai Kx	Z vibration	Nilai Kz
<2 Hz	$K = 0,002 A f^2$	<5 Hz	$K = 0,001 A f^2$
2-25 Hz	$K = 0,004 A f$	5-40 Hz	$K = 0,005 A f$
> 25 Hz	$K = 0,1 A$	>40 Hz	$K = 0,2 A$

Amplitudo dalam microns dan frekuensi dalam Hz

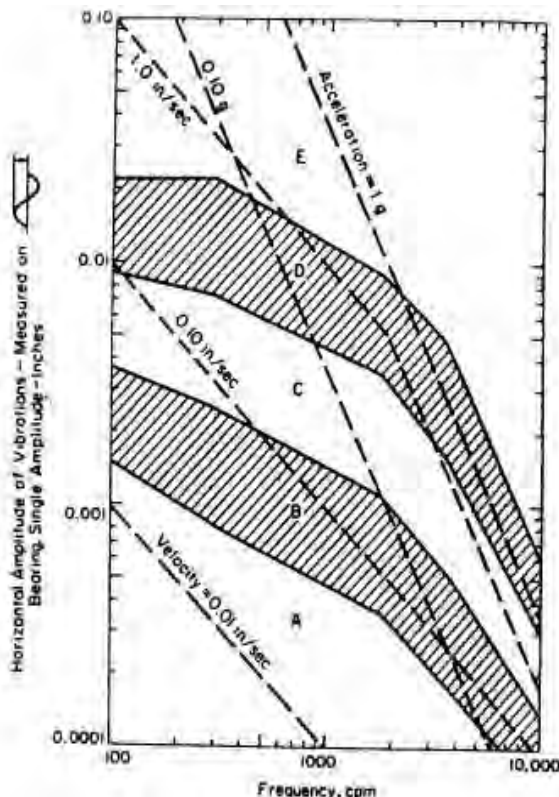
Tabel 2.14 Kategori nilai K untuk horizontal

Nilai K	Effect on work
0,1	Not Affected
0,1-0,3	Not Affected
0,3-1,0	Still Not Affected
1-3	Affected but Possible Considerably
3-10	Affected but Still Possible
10-30	Barely Possible
30-100	Impossible

Tabel 2.15 General machinery vibration

Horizontal Peak Velocity(in/sec)	Machinery Operation
< 0,005	Extremely smooth
0,005-0,01	Very smooth
0,01-0,02	Smooth
0,02-0,04	Very good
0,04-0,08	Good
0,08-0,160	Fair
0,160-0,315	Slightly rough
0,315-0,630	Rough
> 0,630	Very rough

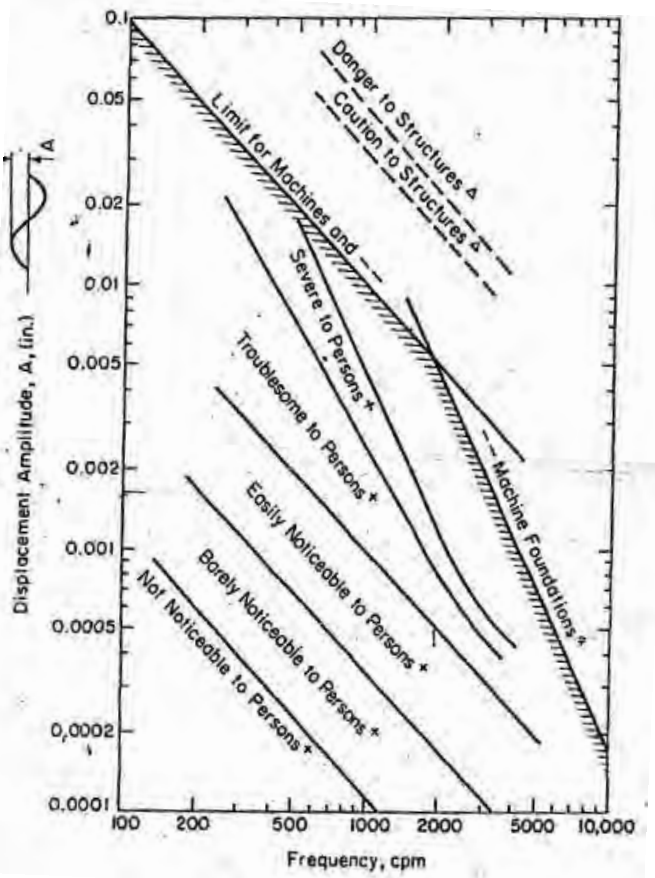
Sumber : Design of Structures and Foundations for Vibrating Machines,
Suresh C. Arya, 1979



Grafik 2.9 Hubungan antara frekuensi dan getaran yang dihasilkan
 Sumber : *Design of Structures and Foundations for Vibrating Machines*,
 Suresh C. Arya, 1979

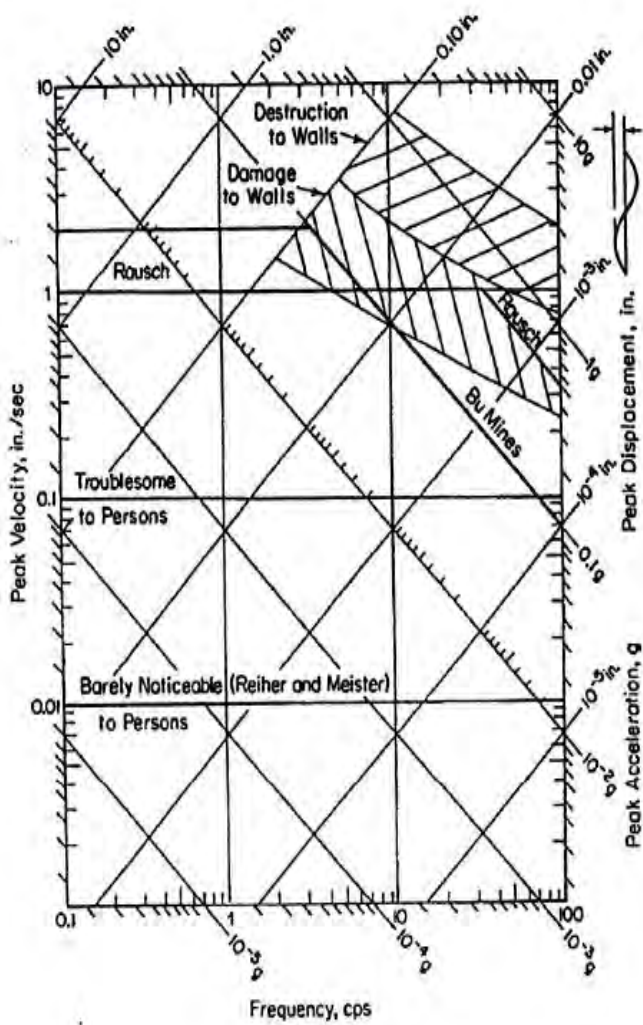
Kategori:

- A = No Fouls
- B = Minor fouls
- C = Foultiy
- D = Failure is near
- E = Dangerous



Grafik 2.10 Hubungan antara frekuensi mesin dan getaran yang dirasakan manusia

Sumber : *Design of Structures and Foundations for Vibrating Machines*,
Suresh C. Arya, 1979



Grafik 2.11 Hubungan antara *Velocity* dan frekuensi mesin
Sumber : Design of Structures and Foundations for Vibrating Machines,
Suresh C. Arya, 1979

2.13 Analisa Biaya

Untuk menganalisis biaya suatu proyek dilakukan suatu analisis dengan dasar menghitung harga satuan bangunan. Analisis harga satuan berdasarkan pada perhitungan biaya yang diperlukan untuk 1 unit pekerjaan

Contoh format analisa biaya adalah sebagai berikut:

Tabel 2.16 Format analisa biaya

No	Uraian pekerjaan	Satuan	Volume	Harga satuan	Biaya
	Rp	Rp
1	Rp	Rp
1	Rp	Rp
			Subtotal	Rp	Rp

“Halaman ini sengaja di kosongkan”

BAB III

METODOLOGI

3.1 Identifikasi Permasalahan

Pengambilan judul tugas akhir ini berawal dari identifikasi permasalahan yang telah dibahas pada BAB I.

3.2 Studi Literatur

Buku acuan yang dipakai dalam tugas akhir ini adalah sebagai berikut:

- a. Sidharta, Ananta Sigit. 2013. "Buku Ajar Pondasi Beban Dinamis". Jurusan Teknik Sipil ITS.
- b. Arya, Suresh C., Michael W. O'Neil, & George Pincus. 1979. *Design of Structures and Foundations for Vibrating Machine*. Texas. Gult Publishing Company.
- c. Untung, Djoko.2010. Rekayasa Pondasi Tiang. Jurusan Teknik Sipil ITS.
- d. Untung, Djoko. 2011. Rekayasa Pondasi Dangkal. Jurusan Teknik Sipil ITS.
- e. Irsyam, Masyur. 2004. "Catatan Kuliah Pondasi Dinamis". Departemen teknik Sipil ITB.
- f. Sanglerat, Guy, Gilbert Olivari, & Bernard Cambou. 1989. "Mekanika Tanah dan Teknik Pondasi". Jakarta. Erlangga. Terjemahan oleh Ir. V. F. X. Kristanto, M.Eng.
- g. Bowles, Joseph E. 1993. "*Foundation Analysis and Design*", *fifth Edition*. Jakarta. Erlangga. Terjemahan oleh Pantur Silaban.
- h. Nakazawa, Kazuto. 2000. "*Soil Mechanics And Foundation Engineering*". Jakarta. Pertja. Terjemahan oleh Taulu.

3.3 Pengumpulan Data

Untuk perencanaan pondasi *Compressor* ini menggunakan data sekunder. Data tanah yang digunakan merupakan hasil dari tes CPT untuk mengetahui jenis tanah yang telah dilakukan oleh

PT PJB UP Gresik, Jawa Timur. Dan data gambar yang digunakan adalah gambar rencana pembangunan gambar mesin.

Data spesifikasi yang digunakan ialah data yang menyebutkan mengenai gaya yang ditimbulkan, berat dan dimensi serta letak gaya yang dihasilkan mesin *Compressor Type Galileo MX4 400-4-1500-14*. Data tersebut didapat dari PT PJB UP Gresik, Jawa Timur.

3.4 Pembebaan

Beban yang bekerja pada pondasi adalah:

1. Beban mati

Beban mati adalah berat sendiri dari struktur pondasi dan mesin *Compressor Type Galileo MX4 400-4-1500-14*.

2. Beban dinamis

Beban dinamis adalah beban yang ditimbulkan oleh mesin *Compressor Type Galileo MX4 400-4-1500-14* saat bekerja.

3.5 Perencanaan Pondasi Mesin

Tugas akhir ini dilakukan untuk merencanakan pondasi untuk 16 unit mesin *Compressor* dengan 3 alternatif kelompok mesin, yaitu:

1. Satu kelompok pondasi terdiri dari satu mesin.
2. Satu kelompok pondasi terdiri dari dua mesin.
3. Satu kelompok pondasi terdiri dari empat mesin.

Dimana masing-masing kelompok pondasi mesin berupa pondasi tiang ukuran 20 cm x 20 cm dan mesin diasumsikan bekerja secara serentak.

3.6 Kontrol Desain Pondasi Mesin

Tujuan utama dalam merencanakan pondasi mesin adalah membatasi amplitude sehingga tidak akan membahayakan mesin yang bekerja di atasnya dan tidak mengganggu orang yang ada di sekitar mesin tersebut. Selain mengontrol amplitudo, daya dukung pondasi juga harus dikontrol seperti yang sudah dibahas di BAB II.

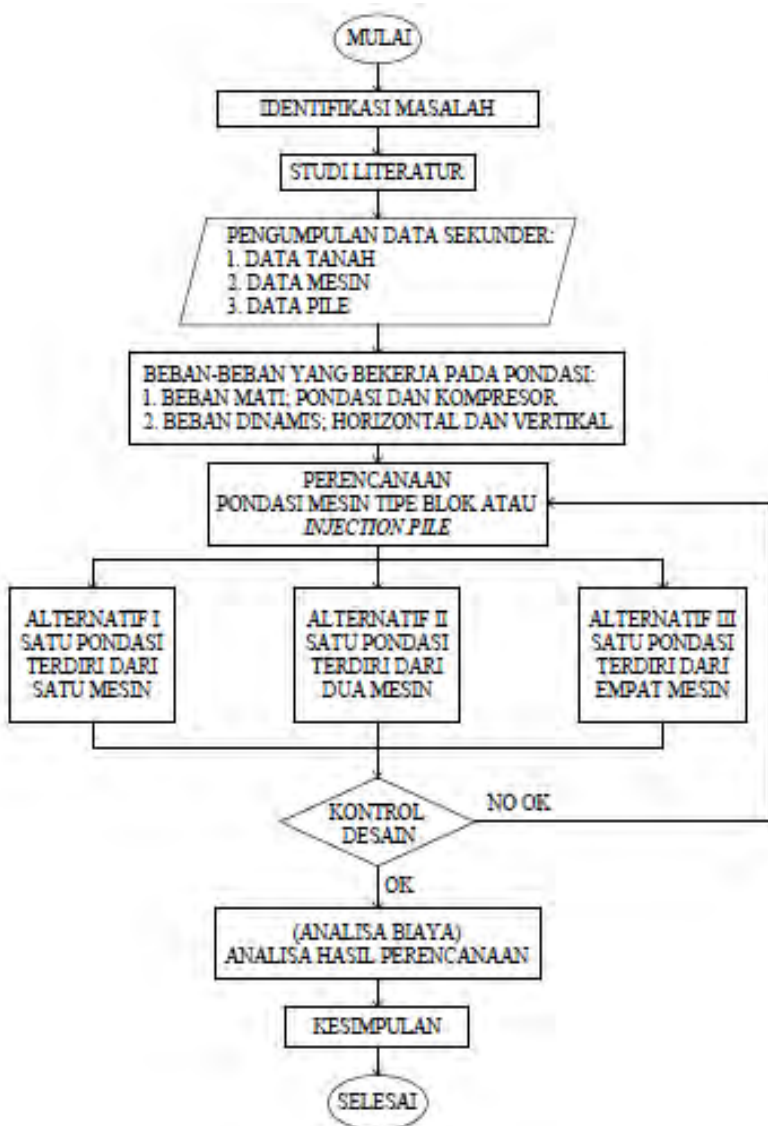
3.7 Analisa Hasil Perencanaan (Analisa Biaya)

Rencana anggaran biaya merupakan perhitungan anggaran biaya yang diperlukan untuk pekerjaan pondasi, baik pekerjaan pondasi blok maupun tiang pancang.

3.8 Kesimpulan

Berisi kesimpulan dan saran dari pembahasan perencanaan pondasi dinamis, serta menentukan alternatif pondasi yang dipakai dari segi kualitas dan ekonomi.

3.9 Diagram Alir Metodologi



BAB IV

ANALISA

4.1 Perhitungan Pembebatan

Berdasarkan data *Compressor Type Galileo MX4 400-4-1500-14* diperoleh data-data sebagai berikut:

Kecepatan <i>compressor</i>	= 1500 rpm
f	= 50 cps
Berat alat	= 12 ton

Pondasi direncanakan di bangun di atas tanah dengan luas area $9,5 \text{ m} \times 80 \text{ m}$. Jumlah mesin *Compressor* yang akan dipasang adalah 16 unit, dengan luas dasar 1 mesin:

$$\text{Panjang} = 6,946 \text{ m}$$

$$\text{Lebar} = 2,612 \text{ m}$$

- a. Direncanakan pondasi untuk 1 mesin, maka dimensi rencana mesin:

$$\text{Panjang} = 7,5 \text{ m} \quad \text{Tebal} = 1 \text{ m}$$

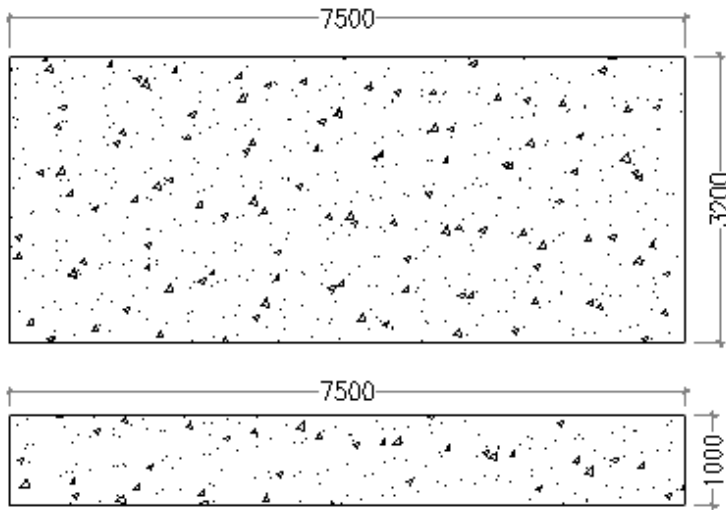
$$\text{Lebar} = 3,2 \text{ m} \quad \text{Tebal tertanam} = 0,6 \text{ m}$$

Beban mati akibat pondasi dan mesin:

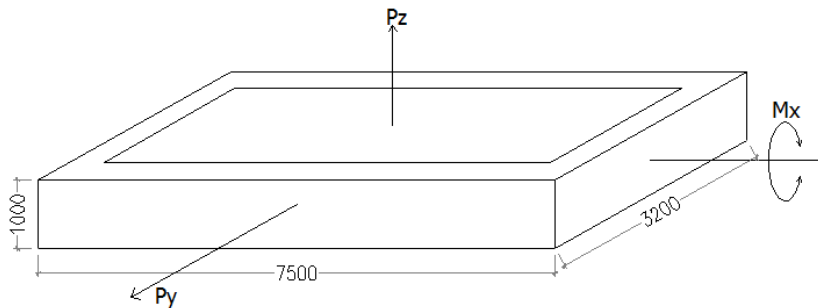
$$\begin{aligned} W_{\text{pile cap}} &= \text{volume pondasi .bj beton} \\ &= (7,5 \times 3,2 \times 1) \times 2,4 \\ &= 57,60 \text{ ton} \end{aligned}$$

$$\begin{aligned} W_{\text{total}} &= W_{\text{pondasi}} + W_{\text{mesin}} \\ &= 57,60 + 12,0 \\ &= 69,60 \text{ ton} \end{aligned}$$

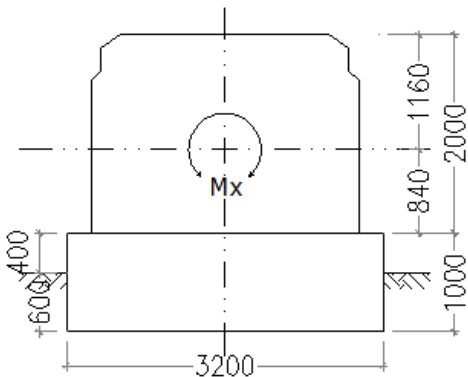
$$\begin{aligned} m_{\text{total}} &= W_{\text{total}} / \text{gravitasi} \\ &= 69,60 / 9,81 \\ &= 7,095 \text{ ton dt}^2/\text{m} \end{aligned}$$



Gambar 4.1 Sketsa pondasi untuk kelompok 1 mesin



Gambar 4.2 Letak gaya untuk pondasi kelompok 1 mesin



Gambar 4.3 Letak gaya arah melintang untuk pondasi kelompok 1 mesin

Beban hidup untuk 1 mesin merupakan beban yang terjadi berdasarkan getaran yang dihasilkan oleh berat rotor mesin sebesar 2,4 ton adalah.

$$Q_o = m \cdot e \cdot \omega^2$$

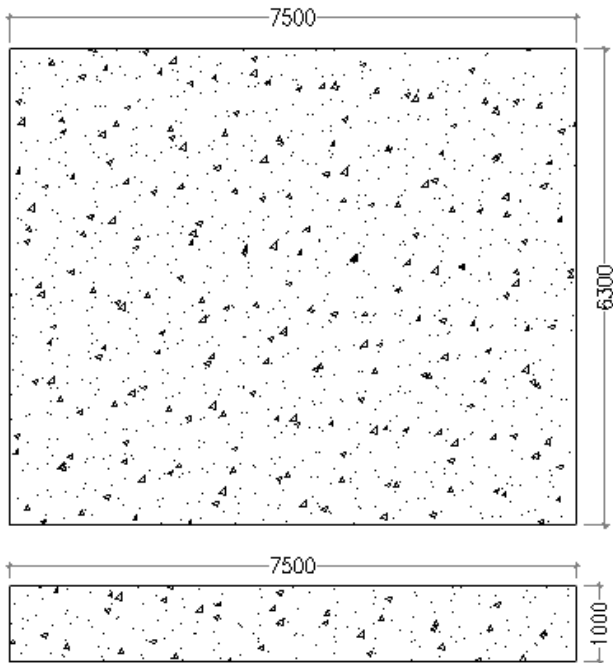
$$\begin{aligned} \text{Dimana : } \omega &= 2 \cdot \pi \cdot f \\ &= 2 \cdot \pi \cdot 50 \\ &= 314,159 \text{ rad/dt} \end{aligned}$$

$$e = 0,001 \text{ in} = 0,0000254$$

$$\begin{aligned} Q_o &= (2,4/9,81) \times 0,0000254 \times 314,159^2 \\ &= 0,613 \text{ ton} \end{aligned}$$

b. Direncanakan pondasi untuk 2 mesin, maka dimensi rencana mesin:

Panjang	= 7,5 m	Tebal	= 1 m
Lebar	= 6,3 m	Tebal tertanam	= 0,6 m



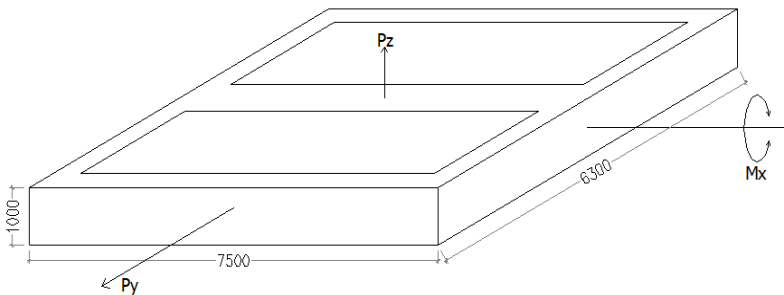
Gambar 4.4 Sketsa pondasi untuk kelompok 2 mesin

Beban mati akibat pondasi dan mesin:

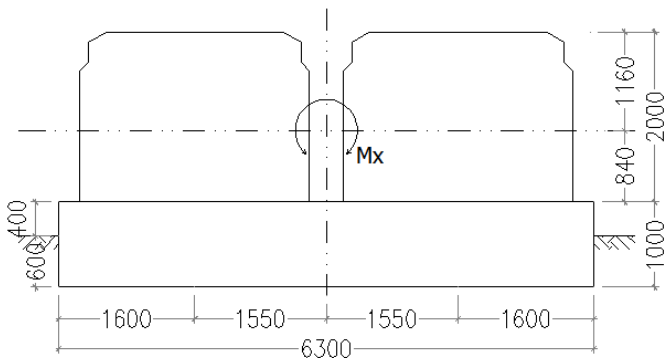
$$\begin{aligned}
 W_{pile\ cap} &= \text{volume pondasi .bj beton} \\
 &= (7,5 \times 6,3 \times 1) \times 2,4 \\
 &= 113,40 \text{ ton}
 \end{aligned}$$

$$\begin{aligned}
 W_{total} &= W_{pondasi} + W_{mesin} \\
 &= 113,40 + 2 \cdot 12,0 \\
 &= 137,4 \text{ ton}
 \end{aligned}$$

$$\begin{aligned}
 m_{total} &= W_{total} / \text{gravitasi} \\
 &= 137,4 / 9,81 \\
 &= 14,006 \text{ ton dt}^2/\text{m}
 \end{aligned}$$



Gambar 4.5 Letak gaya untuk pondasi kelompok 2 mesin



Gambar 4.6 Letak gaya arah melintang untuk pondasi kelompok 2 mesin

Beban hidup untuk 2 mesin merupakan beban yang terjadi berdasarkan getaran yang dihasilkan oleh berat rotor mesin sebesar 4,8 ton adalah.

$$Q_o = m \cdot e \cdot \omega^2$$

$$\text{Dimana : } \omega = 2 \cdot \pi \cdot f$$

$$= 2 \cdot \pi \cdot 50$$

$$= 314,159 \text{ rad/dt}$$

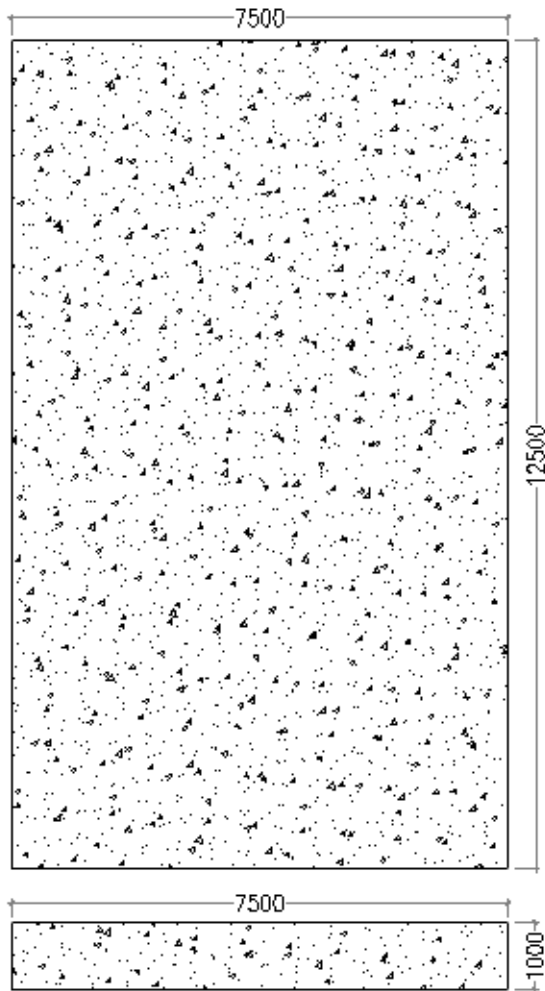
$$e = 0,001 \text{ in} = 0,0000254 \text{ m}$$

$$Q_o = (4,8/9,81) \times 0,0000254 \times 314,159^2$$

$$= 1,227 \text{ ton}$$

c. Direncanakan pondasi untuk 4 mesin, maka dimensi rencana mesin:

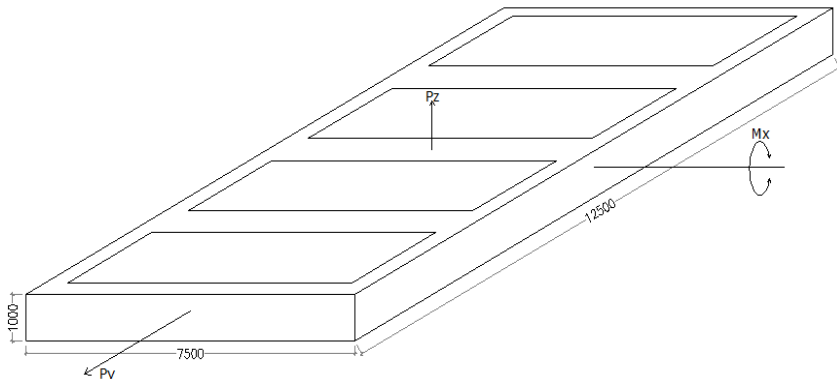
Panjang = 7,5 m Tebal = 1 m
Lebar = 12,5 m Tebal tertanam = 0,6 m



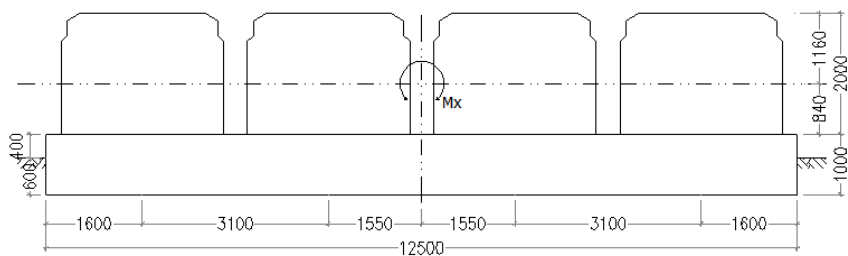
Gambar 4.7 Sketsa pondasi untuk kelompok 4 mesin

Beban mati akibat pondasi dan mesin:

$$\begin{aligned}W_{pile\ cap} &= \text{volume pondasi .bj beton} \\&= (12,5 \times 7,5 \times 1) \times 2,4 \\&= 112,50 \text{ ton} \\W_{total} &= W_{pondasi} + W_{mesin} \\&= 225,00 + 4 \cdot 12,0 \\&= 273,00 \text{ ton} \\m_{total} &= W_{total} / \text{gravitasi} \\&= 273,00 / 9,81 \\&= 27,829 \text{ ton dt}^2/\text{m}\end{aligned}$$



Gambar 4.8 Letak gaya untuk pondasi kelompok 4 mesin



Gambar 4.9 Letak gaya arah melintang untuk pondasi kelompok 4 mesin

Beban hidup untuk 4 mesin merupakan beban yang terjadi berdasarkan getaran yang dihasilkan oleh berat rotor mesin sebesar 9,6 ton adalah.

$$Q_o = m \cdot e \cdot \omega^2$$

$$\text{Dimana : } \omega = 2 \cdot \pi \cdot f$$

$$= 2 \cdot \pi \cdot 50$$

$$= 314,159 \text{ rad/dt}$$

$$e = 0,001 \text{ in} = 0,0000254 \text{ m}$$

$$Q_o = (9,6/9,81) \times 0,0000254 \times 314,159^2$$

$$= 2,453 \text{ ton}$$

Perhitungan Mass Momen Inersia (M_{mo})

a. Pondasi untuk 1 mesin

Pondasi direncanakan satu poros dengan mesin *compressor*.

Dimensi pondasi yang direncanakan adalah panjang 7,5 m dan lebar 3,2 m. Tebal bagian pondasi yang tertanam dalam tanah adalah 60 cm dan rotor terpasang pada ketinggian 84 cm dari permukaan pondasi (titik pusat mesin).

Luas dasar pondasi adalah:

$$A = 7,5 \times 3,2 = 24,0 \text{ m}^2$$

Perhitungan Mass Momen Inersia (M_{mo}):

$$m_{\text{pondasi}} = w/g = 57,6 / 9,81 = 5,872 \text{ ton dt}^2/\text{m}$$

$$m_{\text{mesin}} = w/g = 12,0 / 9,81 = 1,223 \text{ ton dt}^2/\text{m}$$

$$m_{\text{total}} = 5,872 + 1,223 = 7,095 \text{ ton dt}^2/\text{m}$$

M_{mo} pondasi sesuai rumus 2.25:

$$M_{mo} = \frac{1}{12} \cdot m \cdot (a^2 + b^2) + mx^2$$

$$M_{mo} = \frac{1}{12} \cdot 5,872 \cdot (3,2^2 + 1^2) + 5,872 \cdot (0,5 \cdot 1)^2 \\ = 6,968 \text{ ton m dt}^2$$

M_{mo} mesin:

$$M_{mo} = mx^2$$

$$M_{mo} = 1,223 \cdot (0,84 + 1)^2 = 4,141 \text{ ton m dt}^2$$

Maka M_{mo} total:

$$M_{mo} = 6,968 + 4,141 = 11,109 \text{ ton m dt}^2$$

Letak titik berat mesin dan alat sesuai rumus 2.26:

$$L = \frac{\sum m_i z_i}{\sum m_i} = \frac{5,872 \cdot 0,5 \cdot 1 + 1,223 \cdot (0,84 + 1)}{7,095} = 0,731 \text{ m}$$

Maka sesuai rumus 2.37 :

$$M_m = 11,109 - (7,095 \cdot 0,731^2) = 7,318 \text{ ton m dt}^2$$

b. Pondasi untuk 2 mesin

Dimensi pondasi yang direncanakan adalah panjang 7,5 m dan lebar 6,3 m. Tebal bagian pondasi yang tertanam dalam tanah adalah 60 cm dan rotor terpasang pada ketinggian 84 cm dari permukaan pondasi (titik pusat mesin).

Luas dasar pondasi adalah:

$$A = 7,5 \times 6,3 = 47,25 \text{ m}^2$$

Perhitungan Mass Momen Inersia (M_{mo}):

$$m_{pondasi} = w/g = 113,40 / 9,81 = 11,56 \text{ ton dt}^2/\text{m}$$

$$m_{mesin} = w/g = (2 \cdot 12,0) / 9,81 = 2,446 \text{ ton dt}^2/\text{m}$$

$$m_{total} = 11,56 + 2,446 = 14,006 \text{ ton dt}^2/\text{m}$$

M_{mo} pondasi sesuai rumus 2.25:

$$M_{mo} = \frac{1}{12} \cdot m (a^2 + b^2) + mx^2$$

$$M_{mo} = \frac{1}{12} \cdot 11,56 \cdot (6,3^2 + 1^2) + 11,56 \cdot (0,5 \cdot 1)^2 \\ = 42,087 \text{ ton m dt}^2$$

M_{mo} mesin:

$$M_{mo} = mx^2$$

$$M_{mo} = 2,446 \cdot (0,84 + 1)^2 = 8,283 \text{ ton m dt}^2$$

Maka M_{mo} total:

$$M_{mo} = 42,087 + 8,283 = 50,37 \text{ ton m dt}^2$$

Letak titik berat mesin dan alat sesuai rumus 2.26:

$$L = \frac{\sum m_i z_i}{\sum m_i} = \frac{11,56 \cdot 0,5 \cdot 1 + 2,446 \cdot (0,84 + 1)}{14,006} = 0,734 \text{ m}$$

Maka sesuai rumus 2.37 :

$$M_m = 50,37 - (14,006 \cdot 0,734^2) = 42,822 \text{ ton m dt}^2$$

c. Pondasi untuk 4 mesin

Dimensi pondasi yang direncanakan adalah panjang 7,5 m dan lebar 12,5 m. Tebal bagian pondasi yang tertanam dalam tanah adalah 60 cm dan rotor terpasang pada ketinggian 84 cm dari permukaan pondasi (titik pusat mesin).

Luas dasar pondasi adalah:

$$A = 7,5 \times 12,5 = 93,75 \text{ m}^2$$

Perhitungan Mass Momen Inersia (M_{mo}):

$$m_{pondasi} = w/g = 225,00 / 9,81 = 22,936 \text{ ton dt}^2/\text{m}$$

$$m_{mesin} = w/g = (4 \cdot 12,0) / 9,81 = 4,893 \text{ ton dt}^2/\text{m}$$

$$m_{total} = 22,936 + 4,893 = 27,829 \text{ ton dt}^2/\text{m}$$

M_{mo} pondasi sesuai rumus 2.25:

$$M_{mo} = \frac{1}{12} \cdot m \cdot (a^2 + b^2) + mx^2$$

$$M_{mo} = \frac{1}{12} \cdot 22,936 \cdot (12,5^2 + 1^2) + 11,468 \cdot (0,5 \cdot 1)^2 \\ = 306,288 \text{ ton m dt}^2$$

M_{mo} mesin:

$$M_{mo} = mx^2$$

$$M_{mo} = 4,893 \cdot (0,84 + 1)^2 = 16,566 \text{ ton m dt2}$$

Maka M_{mo} total:

$$M_{mo} = 306,288 + 16,566 = 322,854 \text{ ton m dt2}$$

Letak titik berat mesin dan alat sesuai rumus 2.26:

$$L = \frac{\sum m_i z_i}{\sum m_i} = \frac{22,936 \cdot 0,5 \cdot 1 + 4,893 \cdot (0,84 + 1)}{27,829} = 0,736 \text{ m}$$

Maka sesuai rumus 2.37 :

$$Mm = 322,854 - (27,829 \cdot 0,736^2) = 307,795 \text{ ton m dt2}$$

4.2 Daya Dukung Statis Tiang

Direncanakan tiang bor sebagai berikut :

Dimensi tiang = 20x20 cm

Panjang tiang = 10 m

$$A_{tiang} = 0,04 \text{ m}^2 = 40.000 \text{ mm}^2$$

Perhitungan daya dukung berdasarkan rumus Luciano Decourt 1982 (rumus 2.52).

$$N_p = 13$$

$K = 35 \text{ t/m}^2$ (tanah lempung berlanau berpasir)

$$Q_e = 13 \cdot 35 \cdot 0,04 = 18,20 \text{ ton}$$

$$\overline{N_s} = 7,167$$

$$A_s = 2 \cdot (B + L) \cdot p = 2 \cdot (0,20 + 0,20) \cdot 10 = 8,0 \text{ m}^2$$

$$Q_f = \left(\frac{7,167}{3} + 1 \right) \cdot 8,0 = 27,111 \text{ ton}$$

$$Q_{ult} = 18,20 + 27,111 = 45,311 \text{ ton}$$

Q_{ijin} tiang:

$$Q_{ijin} = \frac{45,311}{3} = 15,104 \text{ ton}$$

Kekuatan tiang yang digunakan 50%, Q_{ijin} tiang:

$$Q_{ijin} = 50\% \cdot 15,104 = 7,552 \text{ ton}$$

Sehingga jumlah tiang yang digunakan:

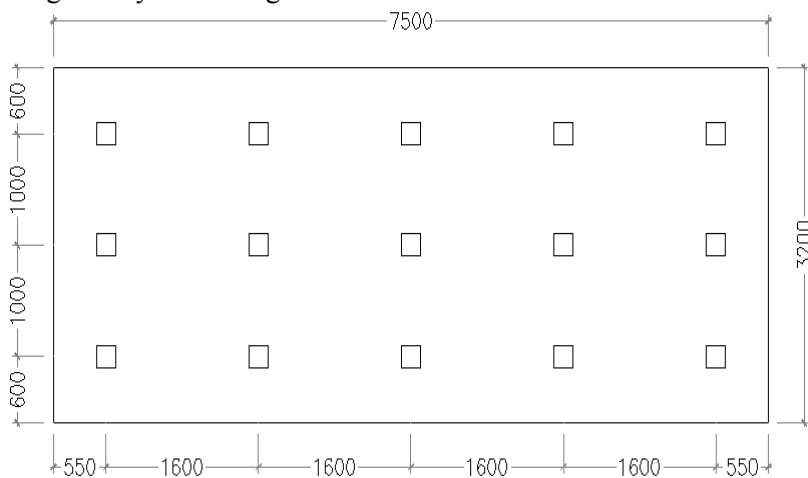
- Untuk pondasi 1 mesin:

Dengan beban mati total (W_{total}) = 69,6 ton, dan

Q_{ijin} tiang = 7,552 ton, maka jumlah pondasi adalah:

$$n = \frac{69,6}{7,552} = 9,216 \text{ tiang}$$

Dengan pertimbangan statis dan dinamis, dipakai jumlah tiang sebanyak 15 tiang.



Gambar 4.10 Denah tiang bor 20x20cm untuk pondasi kelompok 1 mesin

Untuk mengetahui kekuatan satu tiang pancang dalam sebuah kelompok tiang pancang, harus dilakukan perhitungan efisiensi sebagai berikut :

$$E_f = \sqrt{\frac{P_{ub}^2}{P_{ub}^2 + n^2 \cdot P_{ut}^2}}$$

Keterangan :

P_{ub} : Kekuatan kelompok tiang

P_{ut} : Kekuatan satu tiang

n : Jumlah tiang

$$P_{ub} = Q_e + Q_f$$

$$\begin{aligned} Q_e &= q_p \cdot A_p \\ &= \bar{N}_p \cdot K \cdot A_p \end{aligned}$$

Keterangan :

\bar{N}_p = Nilai rata-rata N sepanjang 4D di atas dan di bawah ujung tiang, $D = 2,2$ m (sisi terpendek dari jumlah jarak tiang pondasi).

$$\bar{N}_p = (3+2+5+8+12+14+16+17+17+18)/10 = 11,2$$

K = 35 ton/m² (tanah lempung berlanau berpasir)

$$A_p = [(1,0 \cdot 2)+0,2] \cdot [(1,6 \cdot 4)+0,2] = 14,5 \text{ m}^2$$

$$Q_e = 11,2 \cdot 30 \cdot 14,5 = 5.691,840 \text{ ton}$$

$$\begin{aligned} Q_f &= q_s \cdot A_s \\ &= \left(\frac{\bar{N}_s}{3} + 1\right) \cdot A_s \end{aligned}$$

Keterangan :

\bar{N}_s : Nilai rata-rata N sepanjang tiang.

$$\bar{N}_s = 7,167$$

A_s = Luas selimut pondasi kelompok

$$A_s = [2 \cdot (1,0 \cdot 2+4 \cdot 1,6+2 \cdot 0,2) \cdot 10] = 156,0 \text{ m}^2$$

$$Q_f = \left(\frac{7,167}{3} + 1\right) \cdot 156,0 = 528,667 \text{ ton}$$

$$P_{ub} = 5.691,840 + 528,667 = 6.220,507 \text{ ton}$$

$$P_{ut} = 45,311 \text{ ton}$$

$$Ef = \sqrt{\frac{6.220,507^2}{6.220,507^2 + 15^2 \cdot 45,311^2}} = 0,994$$

Maka Q_{ijin} untuk satu tiang = $0,994 \cdot 7,552 = 7,507$ ton.

Beban yang diterima oleh tiang sebesar :

$$P_{maks} = \frac{v}{n} + \frac{M \cdot d}{\sum d^2}$$

Keterangan :

V : Beban vertikal sebesar 12 ton

n : Jumlah tiang sebanyak 15 tiang

M : Momen yang diterima

$$Mx = W_{mesin} \cdot L_1 = 12 \cdot 0,09 = 1,08 \text{ tonm}$$

$$My = W_{mesin} \cdot L_2 = 12 \cdot 0,463 = 5,556 \text{ tonm}$$

D : Jarak antar pondasi, arah melintang 1,0 m dan arah memanjang 1,6 m

$$P_{maks} = \frac{69,6}{15} + \frac{5,556 \cdot (2 \cdot 1,6)}{6 \cdot ((2 \cdot 1,6)^2 + 1,6^2)} + \frac{1,08 \cdot (1,0)}{10 \cdot 1,0^2} = 4,98 \text{ ton}$$

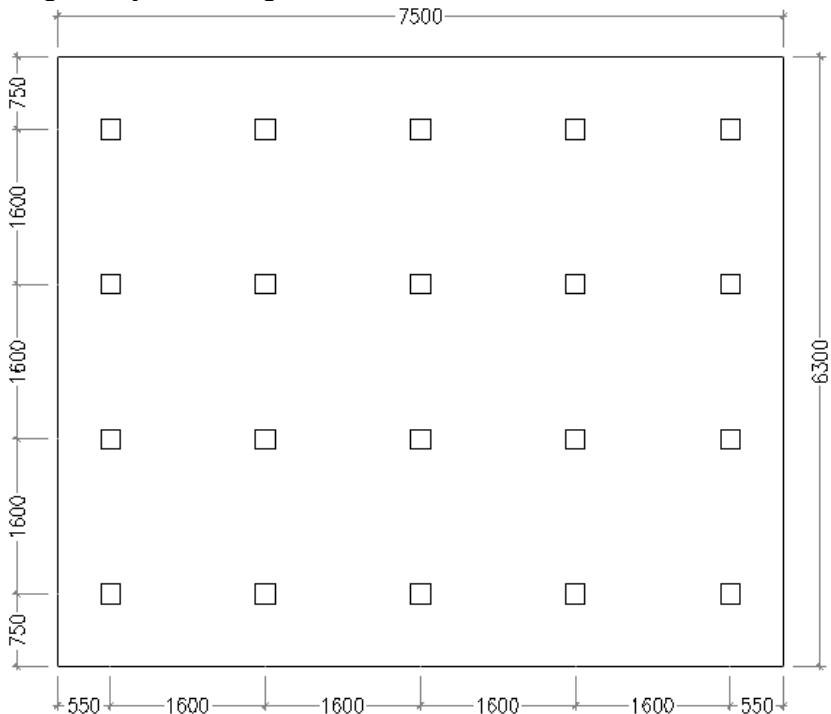
$P_{maks} = 4,98 \text{ ton} < Q_{ijin} = 7,507 \text{ ton}$ maka pondasi mampu menahan beban statis yang terjadi.

- Untuk pondasi 2 mesin:

Dengan beban mati total (W_{total}) = 137,4 ton, dan $Q_{ijin\ tiang} = 7,552$ ton, maka jumlah pondasi adalah:

$$n = \frac{137,4}{7,552} = 18,194 \text{ tiang}$$

Dengan pertimbangan statis dan dinamis, dipakai jumlah tiang sebanyak 20 tiang.



Gambar 4.11 Denah tiang bor 20x20cm untuk pondasi kelompok 2 mesin

Untuk mengetahui kekuatan satu tiang pancang dalam sebuah kelompok tiang pancang, harus dilakukan perhitungan efisiensi sebagai berikut :

$$E_f = \sqrt{\frac{P_{ub}^2}{P_{ub}^2 + n^2 \cdot P_{ut}^2}}$$

Keterangan :

- P_{ub} : Kekuatan kelompok tiang
- P_{ut} : Kekuatan satu tiang
- n : Jumlah tiang

$$P_{ub} = Q_e + Q_f$$

$$\begin{aligned}Q_e &= q_p \cdot A_p \\&= \bar{N}_p \cdot K \cdot A_p\end{aligned}$$

Keterangan :

\bar{N}_p = Nilai rata-rata N sepanjang 4D di atas dan di bawah ujung tiang, $D = 5,0$ m (sisi terpendek dari jumlah jarak tiang pondasi).

$$\bar{N}_p = (3+2+5+8+12+14+16+17+17+18+18)/11 = 11,818$$

$$K = 35 \text{ ton/m}^2 (\text{tanah lempung berlanau berpasir})$$

$$A_p = (3 \cdot 1,6+0,2) \cdot (4 \cdot 1,6+0,2) = 33,0 \text{ m}^2$$

$$Q_e = 30 \cdot 11,818 \cdot 33,0 = 13.650,0 \text{ ton}$$

$$\begin{aligned}Q_f &= q_s \cdot A_s \\&= \left(\frac{\bar{N}_s}{3} + 1\right) \cdot A_s\end{aligned}$$

Keterangan :

\bar{N}_s : Nilai rata-rata N sepanjang tiang.

$$\bar{N}_s = 7,167$$

A_s = Luas selimut pondasi kelompok

$$A_s = 2 \cdot ((3 \cdot 1,6+0,2)+(4 \cdot 1,6+0,2)) \cdot 10 = 232,0 \text{ m}^2$$

$$Q_f = \left(\frac{7,167}{3} + 1\right) \cdot 232,0 = 786,222 \text{ ton}$$

$$P_{ub} = 13.650,0 + 786,222 = 14.436,222 \text{ ton}$$

$$P_{ut} = 45,311 \text{ ton}$$

$$Ef = \sqrt{\frac{14.436,222^2}{14.436,222^2 + 20 \cdot 45,311^2}} = 0,998$$

Maka Q_{ijin} untuk satu tiang = $0,998 \cdot 7,552 = 7,537$ ton.

Beban yang diterima oleh tiang sebesar :

$$P_{maks} = \frac{v}{n} + \frac{M \cdot d}{\sum d^2}$$

Keterangan :

V : Beban vertikal sebesar 137,4 ton

n : Jumlah tiang sebanyak 20 tiang

M : Momen yang diterima

$$\begin{aligned} Mx &= W_{mesin} \cdot L_1 = -12 \cdot (1,55 - 0,09) + 12 \cdot (1,55 + 0,09) \\ &= 2,16 \text{ tonm} \end{aligned}$$

$$My = 2 \cdot W_{mesin} \cdot L_2 = 2 \cdot 12 \cdot 0,463 = 11,112 \text{ tonm}$$

d : Jarak antar pondasi, arah melintang 1,6 m dan arah memanjang 1,6 m

$$P_{maks} = \frac{137,4}{20} + \frac{2,16 \cdot (1,5 \cdot 1,6)}{10 \cdot [(0,5 \cdot 1,6)^2 + (1,5 \cdot 1,6)^2]} + \frac{11,112 \cdot (1,6 \cdot 2)}{8 \cdot (1,6^2 + 2 \cdot 1,6^2)} = 7,298 \text{ ton}$$

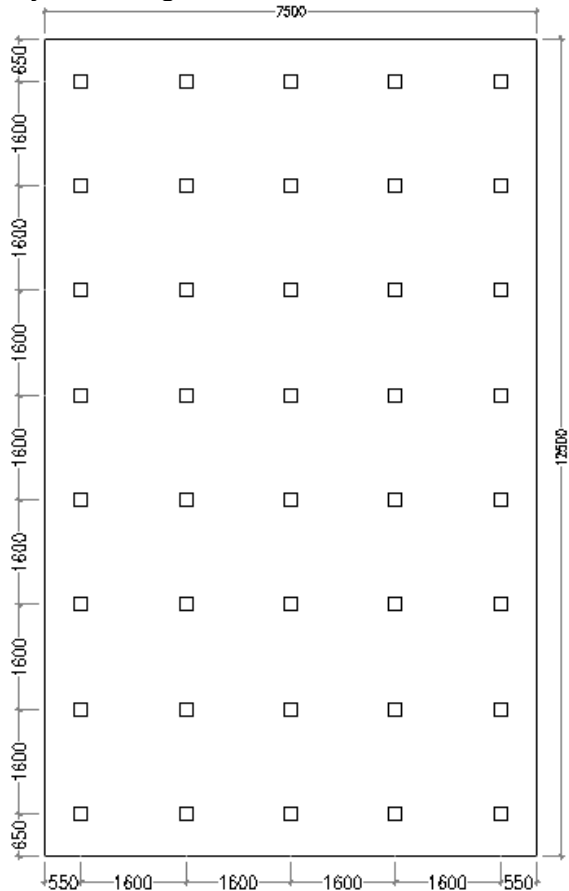
$P_{maks} = 7,298 \text{ ton} < Q_{ijin} = 7,537 \text{ ton}$ maka pondasi mampu menahan beban statis yang terjadi.

- Untuk pondasi 4 mesin:

Dengan beban mati total (W_{total}) = 273,0 ton, dan $Q_{ijin tiang} = 7,552$ ton, maka jumlah pondasi adalah:

$$n = \frac{273,0}{7,552} = 36,15 \text{ tiang}$$

Dengan pertimbangan statis dan dinamis, dipakai jumlah tiang sebanyak 40 tiang.



Gambar 4.12 Denah tiang bor 20x20cm untuk pondasi kelompok 4 mesin

Untuk mengetahui kekuatan satu tiang pancang dalam sebuah kelompok tiang pancang, harus dilakukan perhitungan efisiensi sebagai berikut :

$$E_f = \sqrt{\frac{P_{ub}^2}{P_{ub}^2 + n \cdot P_{ut}^2}}$$

Keterangan :

P_{ub} : Kekuatan kelompok tiang

P_{ut} : Kekuatan satu tiang

n : Jumlah tiang

$$P_{ub} = Q_e + Q_f$$

$$\begin{aligned} Q_e &= q_p \cdot A_p \\ &= \bar{N}_p \cdot K \cdot A_p \end{aligned}$$

Keterangan :

\bar{N}_p = Nilai rata-rata N sepanjang 4D di atas dan di bawah ujung tiang, D = 6,6 m (sisi terpendek dari jumlah jarak tiang pondasi).

$$\begin{aligned} \bar{N}_p &= (3+2+5+8+12+14+16+17+17+18+19+24+25+25)/14 \\ &= 14,643 \end{aligned}$$

$$K = 35 \text{ ton/m}^2 (\text{tanah lempung berlanau berpasir})$$

$$A_p = (4 \cdot 1,625) \cdot (8 \cdot 1,406) = 73,112 \text{ m}^2$$

$$Q_e = 30 \cdot 14,643 \cdot 73,112 = 37.469,900 \text{ ton}$$

$$\begin{aligned} Q_f &= q_s \cdot A_s \\ &= \left(\frac{\bar{N}_s}{3} + 1\right) \cdot A_s \end{aligned}$$

Keterangan :

\bar{N}_s : Nilai rata-rata N sepanjang tiang.

$$\bar{N}_s = 7,167$$

A_s = Luas selimut pondasi kelompok

$$A_s = 2 \cdot ((4 \cdot 1,6+0,2)+(7 \cdot 1,6+0,2)) \cdot 10 = 360,0 \text{ m}^2$$

$$Q_f = \left(\frac{7,167}{3} + 1\right) \cdot 360,0 = 1.220,0 \text{ ton}$$

$$P_{ub} = 37.469,900 + 1.220,0 = 38.689,900 \text{ ton}$$

$$P_{ut} = 45,311 \text{ ton}$$

$$Ef = \sqrt{\frac{38.689,900^2}{38.689,900^2 + 40 \cdot 45,311^2}} = 0,999$$

Maka Q_{ijin} untuk satu tiang = $0,999 \cdot 7,552 = 7,544$ ton.

Beban yang diterima oleh tiang sebesar :

$$P_{maks} = \frac{V}{n} + \frac{M \cdot d}{\sum d^2}$$

Keterangan :

V : Beban vertikal sebesar 273,0 ton

n : Jumlah tiang sebanyak 40 tiang

M : Momen yang diterima

$$\begin{aligned} Mx &= W_{mesin} \cdot L_1 = -12.(1,55+3,1-0,09) - 12.(1,55-0,09) + 12.(1,55+0,09) + 12.(1,55+3,1+0,09) \\ &= 4,32 \text{ tonm} \end{aligned}$$

$$My = 4 \cdot W_{mesin} \cdot L_2 = 4 \cdot 12 \cdot 0,463 = 22,224 \text{ tonm}$$

d : Jarak antar pondasi, arah melintang 1,6 m dan arah memanjang 1,6 m

$$P_{maks} = \frac{273,0}{40} + \frac{4,32 \cdot (3,5 \cdot 1,6)}{10 \cdot [(0,5 \cdot 1,6)^2 + (1,5 \cdot 1,6)^2 + (2,5 \cdot 1,6)^2 + (3,5 \cdot 1,6)^2]}$$

$$+ \frac{22,224 \cdot (2 \cdot 1,6)}{16 \cdot [1,6^2 + (2 \cdot 1,6)^2]} = 7,217 \text{ ton}$$

$P_{maks} = 7,217 \text{ ton} < Q_{ijin} = 7,544 \text{ ton}$ maka pondasi mampu menahan beban statis yang terjadi.

4.3 Perhitungan Modulus Geser (G) dan Gamma Tanah (γ)

a. Perhitungan modulus geser (G_s) untuk *pile cap*

Tanah yang digunakan dalam perhitungan ini adalah tanah pada titik DB-3 (hasil pengujian SB-2 di laboratorium). Karena keterbatasan data maka muka air tanah diasumsikan pada kedalaman -01.00 m dari permukaan tanah. Perhitungan modulus geser tanah yang digunakan sesuai dengan rumus 2.22 yang terdapat dalam Bab 2, yaitu:

$$G_{\max} = 1230 \frac{(2,973-e)^2}{1+e} (\text{OCR})^k (\sqrt{\sigma_0}) \quad (\text{psi})$$

Tabel 4.1 Rekap hasil test di laboratorium

DEPTH (m)	γ_d (gr/cc)	w (%)	OCR	PI	e	γ_{sat} (gr/cc)
0.20	1.22	39	5.880	22.0	1.13	1.696
0.50	1.22	39	5.880	22.0	1.13	1.696
0.60	1.22	39	5.880	22.0	1.13	1.696
1.00	1.22	39	5.880	22.0	1.13	1.696
1.20	1.22	39	5.880	22.0	1.13	1.696
1.50	1.22	39	5.880	22.0	1.13	1.696
1.70	1.22	39	5.880	22.0	1.13	1.696
2.00	1.22	39	5.880	22.0	1.13	1.696
2.20	1.22	39	5.880	22.0	1.13	1.696
2.50	1.22	39	5.880	22.0	1.13	1.696
2.70	1.22	39	5.880	22.0	1.13	1.696
3.00	1.26	37	2.310	26.0	1.06	1.726
3.20	1.26	37	2.310	26.0	1.06	1.726
3.50	1.26	37	2.310	26.0	1.06	1.726
3.70	1.26	37	2.310	26.0	1.06	1.726
4.00	1.26	37	2.310	26.0	1.06	1.726
4.20	1.26	37	2.310	26.0	1.06	1.726
4.50	1.26	37	2.310	26.0	1.06	1.726
4.70	1.26	37	2.310	26.0	1.06	1.726
5.00	1.26	37	2.310	26.0	1.06	1.726

Tabel 4.2 Tegangan efektif tanah

H (m)	γ_{sat} (kN/m³)	γ_{air} (kN/m³)	γ_{tanah} (kN/m³)	$\sigma_{vertikal}$ (kN/m²)
0.20	16.958	-	16.958	3.392
0.50	16.958	-	16.958	8.479
0.60	16.958	-	16.958	10.175
1.00	16.958	10	6.958	12.958
1.20	16.958	10	6.958	14.350
1.50	16.958	10	6.958	16.437
1.70	16.958	10	6.958	17.829
2.00	16.958	10	6.958	19.916
2.20	16.958	10	6.958	21.308
2.50	16.958	10	6.958	23.395
2.70	16.958	10	6.958	24.787
3.00	17.262	10	7.262	26.965
3.20	17.262	10	7.262	28.418
3.50	17.262	10	7.262	30.596
3.70	17.262	10	7.262	32.049
4.00	17.262	10	7.262	34.227
4.20	17.262	10	7.262	35.680
4.50	17.262	10	7.262	37.858
4.70	17.262	10	7.262	39.311
5.00	17.262	10	7.262	41.489

Tabel 4.3 Boussinesq chart

H (m)	z/r _o			Δσ/q _o			Δσ (kN/m ²)		
	1 mesin	2 mesin	4 mesin	1 mesin	2 mesin	4 mesin	1 mesin	2 mesin	4 mesin
0.2	0.072	0.052	0.037	0.490	0.490	0.490	10.479	10.517	10.537
0.5	0.181	0.129	0.092	0.470	0.480	0.480	10.051	10.303	10.322
0.6	0.217	0.155	0.110	0.460	0.470	0.470	9.837	10.088	10.107
1.0	0.362	0.258	0.183	0.440	0.460	0.460	9.410	9.873	9.892
1.2	0.434	0.309	0.220	0.420	0.450	0.460	8.982	9.659	9.892
1.5	0.543	0.387	0.275	0.410	0.440	0.460	8.768	9.444	9.892
1.7	0.615	0.438	0.311	0.390	0.420	0.450	8.340	9.015	9.677
2.0	0.723	0.516	0.366	0.370	0.410	0.440	7.913	8.800	9.462
2.2	0.796	0.567	0.403	0.350	0.400	0.430	7.485	8.585	9.247
2.5	0.904	0.644	0.458	0.340	0.390	0.420	7.271	8.371	9.031
2.7	0.977	0.696	0.494	0.320	0.370	0.410	6.843	7.942	8.816
3.0	1.085	0.773	0.549	0.300	0.350	0.400	6.416	7.512	8.601
3.2	1.157	0.825	0.586	0.290	0.340	0.390	6.202	7.298	8.386
3.5	1.266	0.902	0.641	0.270	0.330	0.390	5.774	7.083	8.386
3.7	1.338	0.954	0.677	0.260	0.320	0.370	5.560	6.868	7.956
4.0	1.447	1.031	0.732	0.250	0.310	0.360	5.346	6.654	7.741
4.2	1.519	1.083	0.769	0.240	0.300	0.350	5.133	6.439	7.526
4.5	1.628	1.160	0.824	0.230	0.290	0.340	4.919	6.224	7.311
4.7	1.700	1.212	0.860	0.210	0.280	0.330	4.491	6.010	7.096
5.0	1.809	1.289	0.915	0.200	0.270	0.320	4.277	5.795	6.881

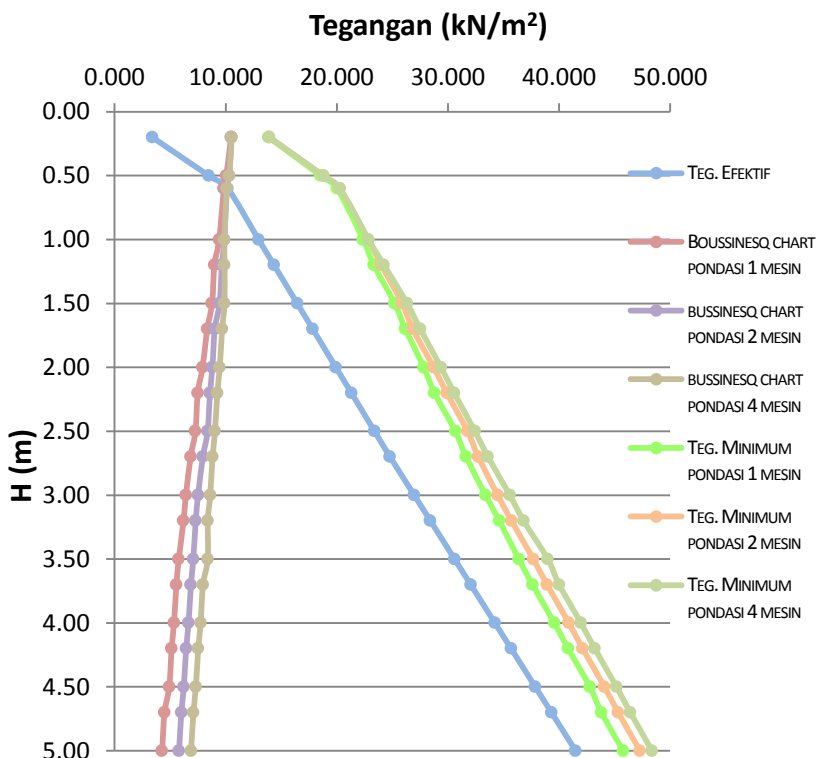
$$q_{o1 \text{ mesin}} = \frac{W \cdot g}{A} = \frac{69,6 \cdot 9,81}{24} = 28,449 \text{ KN/m}^2$$

$$q_{o2 \text{ mesin}} = \frac{W \cdot g}{A} = \frac{137,4 \cdot 9,81}{47,25} = 28,527 \text{ KN/m}^2$$

$$q_{o4 \text{ mesin}} = \frac{W \cdot g}{A} = \frac{273,0 \cdot 9,81}{93,75} = 28,567 \text{ KN/m}^2$$

Tabel 4.4 Tegangan minimum

H (m)	σ_{vertikal} (kN/m ²)	$\Delta\sigma$ (kN/m ²)			$\sigma_{\text{vertikal}} + \Delta\sigma$ (kN/m ²)		
		1 mesin	2 mesin	4 mesin	1 mesin	2 mesin	4 mesin
0.20	3.392	10.479	10.517	10.537	13.871	13.909	13.928
0.50	8.479	10.051	10.303	10.322	18.530	18.782	18.801
0.60	10.175	9.837	10.088	10.107	20.012	20.263	20.281
1.00	12.958	9.410	9.873	9.892	22.368	22.831	22.850
1.20	14.350	8.982	9.659	9.892	23.332	24.008	24.241
1.50	16.437	8.768	9.444	9.892	25.205	25.881	26.329
1.70	17.829	8.340	9.015	9.677	26.169	26.843	27.505
2.00	19.916	7.913	8.800	9.462	27.829	28.716	29.378
2.20	21.308	7.485	8.585	9.247	28.793	29.893	30.554
2.50	23.395	7.271	8.371	9.031	30.666	31.766	32.426
2.70	24.787	6.843	7.942	8.816	31.630	32.728	33.603
3.00	26.965	6.416	7.512	8.601	33.381	34.477	35.567
3.20	28.418	6.202	7.298	8.386	34.619	35.715	36.804
3.50	30.596	5.774	7.083	8.386	36.370	37.679	38.983
3.70	32.049	5.560	6.868	7.956	37.609	38.917	40.005
4.00	34.227	5.346	6.654	7.741	39.574	40.881	41.968
4.20	35.680	5.133	6.439	7.526	40.812	42.119	43.206
4.50	37.858	4.919	6.224	7.311	42.777	44.083	45.169
4.70	39.311	4.491	6.010	7.096	43.802	45.320	46.407
5.00	41.489	4.277	5.795	6.881	45.766	47.284	48.370



Grafik 4.1 Interaksi antara tegangan efektif, *Boussinesq chart* dan tegangan minimum.

Tegangan minimum yang terjadi merupakan penjumlahan dari tegangan efektif ditambah *boussinesq chart*, lalu diambil nilai terkecil sebagai penentuan kedalaman tanah yang akan digunakan. Pada grafik di atas dapat diketahui bahwa tegangan minimum yang terjadi berada pada kedalaman 0.6 m (di bawah pondasi).

Pada kedalaman 0,6 m:

$$\begin{aligned}\gamma_{\text{sat}} &= 1,6958 \text{ gr/cm}^3 \\ &= 1695,8 \text{ kg/m}^3\end{aligned}$$

$$\begin{aligned}\sigma_v &= (\gamma_t \cdot h_l) \\ &= ((1695,8) \cdot 0,6) \\ &= 1.017,48 \text{ kg/m}^2 \\ &= 0,1017 \text{ kg/cm}^2 \\ &= 1,447 \text{ psi}\end{aligned}$$

Sesuai dengan data yang ada, pada kedalaman 0,4 m didapat nilai OCR sebesar 5,88. Oleh karena itu berdasarkan grafik 2.3 dengan nilai IP = 22,0 dan nilai OCR = 5,88, maka nilai $K_o = 1,1$ sehingga sesuai rumus 2.19 dan rumus 2.20 diperoleh:

$$\begin{aligned}\sigma_h &= 1,1 \cdot 1,447 = 1,592 \text{ psi} \\ \sigma_o &= 0,333 (1,447 + 2 \cdot 1,592) = 1,542 \text{ psi}\end{aligned}$$

Dari tabel 2.2, dengan nilai IP = 22, maka didapat nilai k dari hasil interpolasi:

$$\frac{(22 - 20)}{(40 - 20)} = \frac{(k - 0,18)}{(0,30 - 0,18)}$$
$$k = 0,192$$

Maka :

$$G_{\max} = 1230 \frac{(2,973-e)^2}{1+e} (OCR)^k (\sqrt{\sigma_o}) \quad (\text{psi})$$

$$G = 1230 \frac{(2,973-1,13)^2}{1+1,13} (5,88)^{0,192} (\sqrt{1,542})$$

$$G = 3.422,61 \text{ psi}$$

$$G = 2.406.334,264 \text{ kg/cm}^2$$

$$G = 24.529.401 \text{ kN/m}^2$$

b. Perhitungan modulus geser (G_s) untuk tiang

Tabel 4.5 Data tanah SPT di titik DB-3

KEDALAMAN (-m)	JENIS TANAH	KETERANGAN	KEDALAMAN (-m)	JENIS TANAH	KETERANGAN
0			13,5		
1	Lanau berpasir	Very soft	14		
2			15		
3	Lempung berlanau	Soft	16		
4			17		
5	Lempung berpasir	Soft	18		
6			19		
7			20		
8	Lempung berlanau berpasir	Medium to stiff	21		
9			22	Lempung berlanau berpasir	Very stiff
10			23		
11			24		
12	Lempung berlanau berpasir	Stiff to very stiff	25		
13			26		
13,5			27		
			28		
			29		
			30		

Berdasarkan data tanah di atas jenis tanah adalah *medium* ke *stiff*, tetapi tanah yang paling berpengaruh terhadap tiang pada kedalaman 10 m adalah jenis tanah *medium* ke *stiff*, maka dengan menggunakan tabel 2.3 diperkirakan nilai modulus geser G_s antara 5.000 psi – 20.000 psi

$$\begin{aligned} \text{Diperkirakan nilai } G_s &= 15000 \text{ psi} \\ &= 1.054,605 \text{ kg/cm}^2 \\ &= 103.456,751 \text{ kN/m}^2 \end{aligned}$$

Sedangkan untuk nilai γ_{sat} menggunakan tabel 2.4.

$$\text{Diperkirakan nilai } \gamma_{sat} = 20 \text{ kN/m}^3$$

4.4 Analisa Dinamis dengan Pondasi Tiang 20cm x 20cm

Direncanakan pondasi tiang bor sebagai berikut :

Dimensi tiang = 20x20 cm

$$r_o = \sqrt{\frac{20 \cdot 20}{\pi}} = 11.284 \text{ cm}$$

Panjang tiang = 10 m

Kuat tekan (f_c') = 45 MPa

$$\begin{aligned} E_{tiang} &= 4700\sqrt{f_c'} = 29.725,41 \text{ Mpa} \\ &= 29.725.410.005,583 \text{ N/m}^2 \\ &= 29.725.410,006 \text{ kN/m}^2 \end{aligned}$$

$$A_{tiang} = 0,04 \text{ m}^2 = 40.000 \text{ mm}^2$$

$$I_{tiang} = \frac{1}{12} BH^3 = \frac{1}{12} 200 \cdot 200^3 = 133.333.333,3 \text{ mm}^4$$

$$\gamma_{sat} (10 \text{ m}) = 20 \text{ kN/m}^3$$

$$\begin{aligned} \gamma_{soil}/\gamma_{tiang} &= 0,7 \\ \gamma_{tiang} &= \frac{20}{0,7} = 28,5714 \text{ kN/m}^3 \end{aligned}$$

4.4.1 Analisa Kelompok Pondasi 1 Mesin

4.4.1.1 Vertikal

Nilai konstanta pegas dan redaman sesuai dengan rumus 2.54:

$$v_c = \sqrt{\frac{29.725,41 \cdot 10^3 \cdot 9,81}{28,5714}} = 3.194,717 \text{ m/dt}$$

$$v_s = \sqrt{\frac{103.456,751 \cdot 9,81}{20}} = 225,268 \text{ m/dt}$$

$$v_s/v_s = 0,071$$

$$v = 0,4$$

$$l/r_o = 10 \text{ m}/0,113 \text{ m} = 88,263$$

Berdasarkan grafik 2.6b, didapat:

$$f_{18,1} = 0,055$$

$$f_{18,2} = 0,090$$

Sesuai rumus 2.53:

$$\begin{aligned} k_z^{-1} &= \frac{(29.725.410.005,58 \cdot 0,04)}{0,113} \cdot 0,055 = 579.556.091,776 \text{ N/m} \\ &= 579.556,092 \text{ kN/m} \end{aligned}$$

Sesuai rumus 2.55:

$$c_z^1 = \left(\frac{29.725.410.005,58 \cdot 0,04}{225,268} \right) \cdot 0,090 = 475.041,369 \text{ N dt/m}$$
$$= 475,041 \text{ kN dt/m}$$

Menghitung k_x^g , c_x^g , k_x^f dan c_x^f :

Berdasarkan grafik 2.7, dengan nilai $1/2r_o = 44,3$ dan nilai $2r_o/S$ dan $S/2r_o$ masing-masing tiang diperoleh nilai $\alpha_A = 5,86$

Sesuai rumus 2.57:

$$k_z^g = \frac{15 \cdot 579.556,092}{5,86} = 1.483.505,354 \text{ KN/m}$$

Sesuai rumus 2.58:

$$c_z^g = \frac{15 \cdot 475,041}{5,86} = 1.215,97620 \text{ kN dt/m}$$

Data *pile cap*:

$$h = 0,6 \text{ m}$$

$$r_o = 2,764 \text{ m}$$

$$G_s = 24.529,401 \text{ kN/m}^2$$

$$\gamma_{\text{sat}} = 16,958 \text{ kN/m}^3$$

$$m_c = 7,095 \text{ ton dt}^2/\text{m}$$

Berdasarkan tabel 2.11, dengan angka poison $v = 0,4$, maka;

$$\bar{S}_1 = 2,7$$

$$\bar{S}_2 = 6,7$$

Sesuai rumus 2.61:

$$k_z^f = 24.529,401 \cdot 0,6 \cdot 2,7 = 39.737,630 \text{ kN/m}$$

Sesuai rumus 2.62:

$$c_z^f = 0,6 \cdot 2,764 \cdot \sqrt{24.529,401 \frac{16,958}{9,81}} 6,7 = 2.287,984 \text{ kN dt/m}$$

Maka sesuai rumus 2.59:

$$c_z^{\text{total}} = 1.215,97620 + 2.287,984 = 3.503,960 \text{ kN dt/m}$$

Sesuai rumus 2.59:

$$k_z^{total} = 1.483.505,354 + 39.737,630 = 1.523.242,984 \text{ kN/m}$$

Sesuai rumus 2.63:

$$D_z^g = \frac{3.503,960}{2\sqrt{1.523.242,984 \cdot 7,095 \cdot 9,81}} = 0,170$$

Frekuensi natural sesuai rumus 2.23:

$$f_n = \frac{1}{2\pi} \sqrt{\frac{1.523.242,984}{7,095 \cdot 9,81}} = 23,545 \text{ cps}$$

Frekuensi resonansi sesuai rumus 2.24:

$$f_{res} = 23,545 \cdot \sqrt{1 - 2 \cdot 0,170^2} = 22,853 \text{ cps}$$

Kontrol resonansi:

$$f_{mesin} = 50 \text{ cps}$$

$$\frac{f_{res}}{f_{mesin}} = \frac{22,853}{50} = 0,457 < 0,8 \text{ ok}$$

Sesuai rumus 2.29:

$$r = \frac{50}{23,545} = 2,124$$

Transmisibility sesuai rumus 2.16:

$$T_r = \frac{\sqrt{1 + (2 \cdot 0,170 \cdot 2,124)^2}}{\sqrt{(1 - 2,124^2)^2 + (2 \cdot 0,170 \cdot 2,124)^2}} = 0,344$$

Sehingga beban yang diterima tanah dasar adalah :

$$F_t = 0,344 \cdot 0,613 = 0,211 \text{ ton}$$

Magnification factor sesuai rumus 2.28:

$$M = \frac{1}{\sqrt{(1-2,124^2)^2+(2 \cdot 0,170 \cdot 2,124)^2}} = 0,279 < 1,5 \dots \text{OK}$$

Amplitudo sesuai rumus 2.27:

$$A_z = 0,279 \cdot \frac{0,613 \cdot 9,81}{1.523.242,984}$$

$$= 0,000001102 \text{ m} = 0,000043398 \text{ in}$$

Kontrol nilai amplitudo:

1. Dengan nilai $f_{mesin} = 50$ cps, maka nilai K rumus Dieckmann berdasarkan tabel 2.13:

$$K = 0,2 \cdot A$$

$$K = 0,2 \cdot 0,000001102 \cdot 10^6 = 0,22$$

Maka dari tabel 2.14, didapat kategori “*Not Affected*”.

2. Nilai amplitudo lebih kecil dari $30 \mu\text{m} = 0,00118$ inchi
3. Berdasarkan grafik 2.10, didapat kategori “*Barely Noticeable to Person*”
4. *Velocity* $V = 2 \cdot \pi \cdot 50 \cdot 0,000043398 = 0,014$ in/sec
Berdasarkan grafik 2.11, didapat kategori “*Barely Noticeable to Person*”.

4.4.1.2 Horizontal

Nilai konstanta pegas dan redaman sesuai dengan rumus 2.54:

$$v_c = 3.194,717 \text{ m/dt}$$

$$v_s = 225,268 \text{ m/dt}$$

$$v_s/v_c = 0,071$$

$$v = 0,4$$

Berdasarkan tabel 2.12 didapat:

$$f_{11,1} = 0,0614 \text{ (interpolasi)}$$

$$f_{11,2} = 0,1459 \text{ (interpolasi)}$$

Sesuai rumus 2.64:

$$k_x^1 = \frac{(29.725.410.005,58 \cdot 0,000133333)}{0,113^3} \cdot 0,0614 \\ = 169.502.468,02 \text{ N/m} = 169.502,468 \text{ kN/m}$$

Sesuai rumus 2.65:

$$c_x^1 = \left(\frac{29.725.410.005,58 \cdot 0,000133333}{0,113^2 \cdot 225,268} \right) \cdot 0,1459 \\ = 201.598,81 \text{ N dt/m} = 201,599 \text{ kN dt/m}$$

Menghitung k_x^g , c_x^g , k_x^f dan c_x^f :

Berdasarkan grafik 2.8, dengan nilai $K_R = 5,8 \cdot 10^6$ dan nilai β masing-masing tiang diperoleh nilai $\alpha_L = 4,24$

Sesuai rumus 2.66:

$$k_x^g = \frac{15 \cdot 169.502,468}{4,24} = 599.654,958 \text{ kN/m}$$

Sesuai rumus 2.67:

$$c_x^g = \frac{15 \cdot 201,599}{4,24} = 713,203 \text{ kNdet/m}$$

Data *pile cap*:

$$h = 0,6 \text{ m}$$

$$r_o = 2,764 \text{ m}$$

$$G_s = 24.529,401 \text{ kN/m}^2$$

$$\gamma_{sat} = 16,958 \text{ kN/m}^3$$

$$m_c = 7,095 \text{ ton dt}^2/\text{m}$$

Berdasarkan tabel 2.11, dengan angka poison 0,4, maka;

$$\frac{S_{u1}}{S_{u2}} = 4,1$$

$$\frac{S_{u2}}{S_{u1}} = 10,6$$

Sesuai rumus 2.70:

$$k_x^f = 24.529,401 \cdot 0,6 \cdot 4,1 = 60,342.327 \text{ kN/m}$$

Sesuai rumus 2.71:

$$c_x^f = 0,6 \cdot 2,764 \sqrt{24.529,401 \frac{16,958}{9,81} 10,6} = 3.619,796 \text{ kNdt/m}$$

Maka sesuai rumus 2.68:

$$c_x^{total} = 713,203 + 3.619,796 = 4.332,999 \text{ kN dt/m}$$

Sesuai rumus 2.69:

$$k_x^{total} = 599.654,958 + 60,342.327 = 659.997,285 \text{ kN/m}$$

Sesuai rumus 2.72:

$$D_x^g = \frac{4.332,999}{2\sqrt{659.997,285 \cdot 7,095 \cdot 9,81}} = 0,320$$

Frekuensi natural sesuai rumus 2.23:

$$f_n = \frac{1}{2\pi} \sqrt{\frac{659.997,285}{7,095 \cdot 9,81}} = 15,498 \text{ cps}$$

Frekuensi resonansi sesuai rumus 2.24:

$$f_{res} = 15,498 \cdot \sqrt{1 - 2 \cdot 0,320^2} = 13,824 \text{ cps}$$

Kontrol resonansi:

$$f_{mesin} = 50 \text{ cps}$$

$$\frac{f_{res}}{f_{mesin}} = \frac{13,824}{50} = 0,276 < 0,8 \text{ ok}$$

Sesuai rumus 2.29:

$$r = \frac{50}{15,498} = 3,226$$

Transmisibility sesuai rumus 2.16:

$$T_r = \frac{\sqrt{1 + (2 \cdot 0,320 \cdot 3,226)^2}}{\sqrt{(1 - 3,226^2)^2 + (2 \cdot 0,320 \cdot 3,226)^2}} = 0,238$$

Sehingga beban yang diterima tanah dasar adalah :

$$F_t = 0,238 \cdot 0,613 = 0,146\text{ton}$$

Magnification factor sesuai rumus 2.28:

$$M = \frac{1}{\sqrt{(1 - 3,226^2)^2 + (2 \cdot 0,320 \cdot 3,226)^2}} = 0,104$$

Amplitudo sesuai rumus 2.27:

$$A_x = 0,104 \cdot \frac{0,613 \cdot 9,81}{659,997,285} \\ = 0,000000946 \text{ m} = 0,000037263 \text{ in}$$

Kontrol nilai amplitudo:

1. Dengan nilai $f_{mesin} = 50 \text{ cps}$, maka nilai K rumus Dieckmann berdasarkan tabel 2.13:

$$K = 0,1 \cdot A$$

$$K = 0,1 \cdot 0,000000946 \cdot 10^6 = 0,095$$

Maka dari tabel 2.14, didapat kategori “*Not Affected*”.

2. Nilai amplitudo lebih kecil dari $50 \mu\text{m} = 0,0019685 \text{ inchi}$
3. Berdasarkan grafik 2.9, didapat kategori “*No Fouls*”
4. $Velocity V = 2 \cdot \pi \cdot 50 \cdot 0,000037263 = 0,012 \text{ in/sec}$
Berdasarkan tabel 2.15, keadaan mesin adalah “*Smooth*”

4.4.1.3 *Rocking*

Nilai konstanta pegas dan redaman sesuai dengan rumus 2.54:

$$v_c = 3.194,717 \text{ m/dt}$$

$$v_s = 225,268 \text{ m/dt}$$

$$v_s/v_c = 0,071$$

$$v = 0,4$$

Berdasarkan tabel 2.12, maka;

$$f_{7,1} = 0,554 (\text{hasil interpolasi}).$$

$$f_{7,2} = 0,387 (\text{hasil interpolasi}).$$

Sesuai rumus 2.73:

$$k_\varphi^{-1} = \frac{(29.725.410.005,58 \cdot 0,000133333)}{0,113} \cdot 0,554 = 9.444.578,176 \text{ Nm}$$

$$= 19.444,578 \text{ kNm}$$

Sesuai rumus 2.74:

$$c_\varphi^{-1} = \frac{(29.725.410.005,58 \cdot 0,000133333)}{225,268} \cdot 0,387 = 6.805,752 \text{ Nmdet}$$

$$= 6,806 \text{ kNmdet}$$

Menghitung k_φ^g , c_φ^g , $k_{x\varphi}^{-1}$ dan $c_{x\varphi}^{-1}$:

Berdasarkan tabel 2.12, maka nilai;

$$f_{9,1} = -0,137 (\text{hasil interpolasi}).$$

$$f_{9,2} = -0,199 (\text{hasil interpolasi}).$$

Sesuai rumus 2.75:

$$k_{x\varphi}^{-1} = \frac{(29.725.410.005,58 \cdot 0,000133333)}{0,113^2} \cdot (-0,137)$$

$$= 42.581.864,281 \text{ N} = -42.581,864 \text{ kN}$$

Sesuai rumus 2.76:

$$c_{x\varphi}^{-1} = \frac{(29.725.410.005,58 \cdot 0,000133333)}{0,113 \cdot 225,268} \cdot (-0,199)$$

$$= -30.972,763 \text{ Ndet} = 30,973 \text{ kNdet}$$

Data *pile cap*:

$$h = 0,6 \text{ m}$$

$$r_o = 2,26 \text{ m}$$

$$G_s = 24.529,401 \text{ kN/m}^2$$

$$\gamma_{\text{sat}} = 16,958 \text{ kN/m}^3$$

$$m_c = 7,095 \text{ ton dt}^2/\text{m}$$

Berdasarkan tabel 2.11, dengan angka poison 0,4, maka;

$$\overline{S_{\varphi 1}} = 2,5$$

$$\overline{S_{\varphi 2}} = 1,8$$

$$\overline{S_{u1}} = 4,1$$

$$\overline{S_{u2}} = 10,6$$

$$X_r = 1 \text{ m}$$

$$Z_c = 0,731 \text{ m}$$

$$\delta = \frac{h}{r_o} = 0,266$$

Sesuai rumus 2.78:

$$\begin{aligned}k_{\varphi}^f &= (24.529,401 \cdot 2,260 \cdot 0,6^2 \cdot 2,5) + (24.529,401 \cdot 2,260^2 \cdot 0,6) \left[\left(\frac{0,266^2}{3} \right) + \right. \\&\quad \left. \left(\frac{0,731}{2,260} \right)^2 - \left(0,266 \left(\frac{0,731}{2,260} \right) \right) \right] 4,1 \\&= 62.908,554 \text{ KNm}\end{aligned}$$

Sesuai rumus 2.80:

$$\begin{aligned}c_{\varphi}^f &= (0,266 \cdot 2,260^4) \left(\sqrt{\frac{(24.529,401 \cdot 16,958)}{9,81}} \right) \left[1,8 + \left\{ \left(\frac{0,266^2}{3} \right) + \right. \right. \\&\quad \left. \left. \left(\frac{0,731}{2,260} \right)^2 - \left(0,266 \left(\frac{0,731}{2,260} \right) \right) \right\} 10,6 \right] \\&= 3.204,882 \text{ KNmdet}\end{aligned}$$

Maka sesuai rumus 2.77:

$$\begin{aligned}k_{\varphi}^g &= 15 \cdot \left[\frac{19.444,578 + 579.556,092 \cdot 1^2}{+ 169.502,468 \cdot 0,731^2 - 2 \cdot 0,731 \cdot (-42.581,864)} \right] \\&\quad + 62.908,554 \\&= 11.340.543,744 \text{ KNm}\end{aligned}$$

Dan sesuai rumus 2.79:

$$\begin{aligned}c_{\phi}^g &= 15 \cdot \left[6,806 + 475,041 \cdot 1^2 + 201,599 \cdot 0,731^2 \right] \\&\quad - 2 \cdot 0,731 \cdot (-30,973) \\&\quad + 3,204,882 \\&= 12.727,904 \text{ KNmdet}\end{aligned}$$

Sesuai rumus 2.81:

$$D_{\phi}^g = \frac{12.727,904}{2\sqrt{11.340.543,744 \cdot 69,6}} = 0,227$$

Frekuensi natural sesuai rumus 2.23:

$$f_n = \frac{1}{2\pi} \sqrt{\frac{11.340.543,744}{69,6}} = 64,244 \text{ cps}$$

Frekuensi resonansi sesuai rumus 2.24:

$$f_{res} = 64,244 \cdot \sqrt{1 - 2 \cdot 0,227^2} = 60,858 \text{ cps}$$

Kontrol resonansi:

$$\begin{aligned}f_{mesin} &= 50 \text{ cps} \\ \frac{f_{res}}{f_{mesin}} &= \frac{60,858}{50} = 1,217 > 1,2 \text{ ok}\end{aligned}$$

Sesuai rumus 2.29:

$$r = \frac{50}{64,244} = 0,778$$

Transmisibility sesuai rumus 2.16:

$$T_r = \frac{\sqrt{1 + (2 \cdot 0,227 \cdot 0,778)^2}}{\sqrt{(1 - 0,778^2)^2 + (2 \cdot 0,227 \cdot 0,778)^2}} = 2,005$$

Sehingga beban yang diterima tanah dasar adalah :

$$F_t = 2,005 \cdot 0,613 = 1,229 \text{ ton}$$

Magnification factor sesuai rumus 2.28:

$$M = \frac{1}{\sqrt{(1 - 0,778^2)^2 + (2 \cdot 0,227 \cdot 0,778)^2}} = 1,891$$

Amplitudo sesuai rumus 2.27:

$$A = 1,891 \frac{1,128 \cdot 9,81}{11.340.543,744} = 0.00000185 \text{ rad}$$

Maka besarnya nilai amplitudo vertikal sebagai berikut :

$$A_{\varphi z} = (3,2/2) \cdot 0.00000185 \\ = 0,0000029529 \text{ m}$$

$$A_z = 0.00011625 \text{ in}$$

Kontrol nilai amplitudo:

1. Dengan nilai $f_{mesin} = 50 \text{ cps}$, maka nilai K rumus Dieckmann berdasarkan tabel 2.13:
 $K = 0,2 \cdot A$
 $K = 0,2 \cdot 0.0000029529 \cdot 10^6 = 0,591$
Maka dari tabel 2.14, didapat kategori “*Still Not Affected*”.
2. Nilai amplitudo lebih kecil dari $30 \mu\text{m} = 0,00118 \text{ inchi}$
3. Berdasarkan grafik 2.10, didapat kategori “*Easily noticeable to person*”
4. *Velocity* $V = 2 \cdot \pi \cdot 50 \cdot 0.00011625 = 0,037 \text{ in/sec}$
Berdasarkan grafik 2.11, didapat kategori “*Barely Noticeable to Pearson*”.

4.4.1.4 Kopel Rocking dan Horizontal

Sesuai rumus 2.42:

$$\left[\omega_n^4 - \frac{\omega_{nx}^2 + \omega_{n\varphi}^2}{r} - \frac{4D_x \cdot D_\varphi \cdot \omega_{nx} \cdot \omega_{n\varphi}}{r} \right] \omega_n^2 + \frac{\omega_{nx}^2 \omega_{n\varphi}^2}{r} \right]^2 + \\ 4 \left[\frac{D_x \cdot \omega_{nx} \cdot \omega_n}{r} (\omega_{n\varphi}^2 - \omega_n^2) + \frac{D_\varphi \cdot \omega_n \cdot \omega_{n\varphi}}{r} (\omega_{nx}^2 - \omega_n^2) \right]^2 = 0$$

Dengan mengabaikan nilai redaman (D), maka:

$$(\omega_{n1,2})^2 = \frac{\omega_{nx}^2 + \omega_{n\varphi}^2 \pm \sqrt{(\omega_{nx}^2 + \omega_{n\varphi}^2)^2 - 4r(\omega_{nx} \cdot \omega_{n\varphi})^2}}{2r}$$

Dimana nilai r sesuai rumus 4.21:

$$r = \frac{Mm}{Mmo} = \frac{7,317}{11,109} = 0,659$$

$$\omega_{nx} = 2\pi \cdot f_{nx} = 2\pi \cdot 15,498$$

$$\omega_{nx} = 97,379 \text{ rad/dt}$$

$$\omega_{n\varphi} = 2\pi \cdot f_{n\varphi} = 2\pi \cdot 64.244$$

$$\omega_{n\varphi} = 403,657 \text{ rad/dt}$$

Maka:

$$(\omega_{n1,2})^2 = \frac{97,379^2 + 403,657^2 \pm \sqrt{(97,379^2 + 403,657^2)^2 - 4 \cdot 0,659 \cdot (97,379 \cdot 403,657)^2}}{2 \cdot 0,659}$$

$$(\omega_{n1})^2 = 252,470,998$$

$$(\omega_{n2})^2 = 9,290,969$$

$$\omega_{n1} = 502,465 \text{ rad/dt}$$

$$\omega_{n2} = 96,390 \text{ rad/dt}$$

Maka nilai $\Delta(\omega^2)$ sesuai rumus 2.43:

$$\Delta(\omega^2) = \left\{ \left[\omega^4 - \frac{\omega_{nx}^2 + \omega_{n\varphi}^2}{r} - \frac{4D_x \cdot D_\varphi \cdot \omega_{nx} \cdot \omega_{n\varphi}}{r} \right] \omega^2 + \frac{\omega_{nx}^2 \omega_{n\varphi}^2}{r} \right]^2 \right\}^{\frac{1}{2}} \\ + 4 \left[\frac{D_x \cdot \omega_{nx} \cdot \omega}{r} (\omega_{n\varphi}^2 - \omega^2) + \frac{D_\varphi \cdot \omega \cdot \omega_{n\varphi}}{r} (\omega_{nx}^2 - \omega^2) \right]^2 \right\}$$

$$\omega_{mesin} = 2\pi f = 2\pi \cdot 50 = 314,159 \text{ rad/dt}$$

$$\Delta(\omega^2) =$$

$$\left\{ \left[314,159^4 - \left[\frac{97,379^2 + 403,657^2}{0,659} - \frac{4.0320 . 0.227 . 97,379 . 403,657}{0,659} \right] 314,159^2 \right]^2 + \frac{97,379^2 403,657^2}{0,659} \right\}^{\frac{1}{2}}$$

$$+ 4 \left[\left[\frac{0.320 . 97,379 . 314,159}{0,659} (403,657^2 - 314,159^2) \right]^2 + \frac{0.227 . 314,159 . 403,657}{0,659} (97,379^2 - 314,159^2) \right]$$

$$\Delta(\omega^2) = 13.398.462.778,369$$

Maka:

Sesuai rumus 2.36:

$$A_{x1} = \frac{0,613}{7,095.7,317} x$$

$$\left\{ \frac{(-7,317 . 314,159^2 + 1.156.018,730 + 67.278,011 . 0.731^2)^2}{13.398.462.778,369} \right\}^{\frac{1}{2}}$$

$$\left\{ + 4 . 314,159 . (0.227 \sqrt{67.278,011 . 4,946 + 0.731^2 . 0.320 \sqrt{67.278,011 . 7,095}})^2 \right\}^{\frac{1}{2}}$$

$$A_{x1} = 0,00000041 m$$

$$A_{x1} = 0,00001631 \text{ inc}$$

Sesuai rumus 2.37:

$$A_{x2} = \frac{\frac{1,128 . 0.731}{7,317} [(97,379^2)^2 + (2 . 0.320 . 97,379 . 314,159)^2]}{13.398.462.778,369}^{1/2}$$

$$A_{x2} = 0,00000018 m$$

$$A_{x2} = 0,00000720 \text{ inc}$$

Sesuai rumus 2.38:

$$A_{\varphi 1} = \frac{\frac{0,613 . 0.731}{7,317} (97,379)((97,379)^2 + 4 . 0.320 . 314,159^2)}{13.398.462.778,369}^{1/2}$$

$$A_{\varphi 1} = 0,00000016 \text{ rad}$$

Sesuai rumus 2.39:

$$A_{\varphi 2} = \frac{\frac{1,128}{7,317} [((97,379)^2 - 314,159^2)^2 + (2 . 0.320 . 97,379 . 314,159)^2]}{13.398.462.778,369}^{1/2}$$

$$A_{\varphi 2} = 0,00000105 \text{ rad}$$

Jadi nilai amplitudo total sesuai rumus 4.34 dan 4.35:

$$A_x = 0,00001631 + 0,00000720 = 0,00002351 \text{ inchi}$$

$$A_\varphi = 0,00000016 + 0,00000105 = 0,00000122 \text{ rad}$$

Amplitudo *rocking* menambah besarnya amplitudo yang terjadi pada arah vertikal.

Maka besarnya nilai amplitudo vertikal sebagai berikut :

$$A_{\varphi z} = (3,2/2) \cdot 0,00000122$$

$$= 0,00000194 \text{ m} = 0,00007655 \text{ in}$$

$$A_z = 0,000043398 + 0,00007655 = 0,00011995 \text{ inc}$$

Kontrol nilai amplitudo:

1. Dengan nilai $f_{mesin} = 50 \text{ cps}$, maka nilai K rumus Dieckmann berdasarkan tabel 2.13:
 $K = 0,2 \cdot A$
 $K = 0,2 \cdot 0,00011995 \cdot (2,54/100) \cdot 10^6 = 0,61$
Maka dari tabel 2.14 didapat kategori “*Still Not Affected*”.
2. Nilai amplitudo lebih kecil dari $30 \mu\text{m} = 0,00118 \text{ inchi}$
3. Berdasarkan grafik 2.10, didapat kategori “*Easily noticeable to person*”
4. Velocity $V = 2 \cdot \pi \cdot 50 \cdot 0,00011995 = 0,038 \text{ in/sec}$
Berdasarkan grafik 2.11, didapat kategori “*Barely Noticeable to Pearson*”

Amplitudo horizontal

$$A_x = 0,00000060 \text{ m} = 0,00002351 \text{ inc}$$

Kontrol nilai amplitudo:

1. Dengan nilai $f_{mesin} = 50 \text{ cps}$, maka nilai K rumus Dieckmann berdasarkan tabel 2.13:

$$K = 0,1 \cdot A$$

$$K = 0,1 \cdot 0,00000060 \cdot 10^6 = 0,060$$

Maka dari tabel 2.14 didapat kategori "Not Affected".

2. Nilai amplitudo lebih kecil dari $50 \mu\text{m} = 0,0019685 \text{ inchi}$
3. Berdasarkan grafik 2.9, didapat kategori "No fouls"
4. Velocity $V = 2 \cdot \pi \cdot 50 \cdot 0,00002351 = 0,00739 \text{ in/sec}$
Berdasarkan tabel 2.15, keadaan mesin adalah "Very Smooth"

4.4.2 Analisa Kelompok Pondasi 2 Mesin

4.4.2.1 Vertikal

Nilai konstanta pegas dan redaman sesuai dengan rumus 2.54:

$$v_c = \sqrt{\frac{29.725,41 \cdot 10^3 \cdot 9,81}{28,5714}} = 3.194,717 \text{ m/dt}$$

$$v_s = \sqrt{\frac{103.456,751 \cdot 9,81}{20}} = 225,268 \text{ m/dt}$$

$$v_s/v_s = 0,071$$

$$v = 0,4$$

$$l/r_o = 10 \text{ m} / 0,113 \text{ m} = 88,623$$

Berdasarkan grafik 2.6b, didapat:

$$f_{18,1} = 0,055$$

$$f_{18,2} = 0,090$$

Sesuai rumus 2.53:

$$k_z^1 = \frac{(29.725.410.005,58 \cdot 0,04)}{0,113} \cdot 0,055 \\ = 579.556,091,776 \text{ N/m} = 579.556,092 \text{ kN/m}$$

Sesuai rumus 2.55:

$$c_z^1 = \left(\frac{29.725.410.005,58 \cdot 0,04}{225,268} \right) \cdot 0,090 \\ = 475.041,369 \text{ N dt/m} = 475,041 \text{ kN dt/m}$$

Menghitung k_x^g , c_x^g , k_x^f dan c_x^f :

Berdasarkan grafik 2.7, dengan nilai $l/2r_o = 44,3$ dan nilai $2r_o/S$ dan $S/2r_o$ masing-masing tiang diperoleh nilai $\alpha_A = 7,18$

Sesuai rumus 2.57:

$$k_z^g = \frac{20 \cdot 579.556,092}{7,18} = 1.614.362,373 \text{ KN/m}$$

Sesuai rumus 2.58:

$$c_z^g = \frac{20 \cdot 475,041}{7,18} = 1.323,235 \text{ kN dt/m}$$

Data *pile cap*:

$$h = 0,6 \text{ m}$$

$$r_o = 3,878 \text{ m}$$

$$G_s = 24.529,401 \text{ kN/m}^2$$

$$\gamma_{\text{sat}} = 16,958 \text{ kN/m}^3$$

$$m_c = 14,006 \text{ ton dt}^2/\text{m}$$

Berdasarkan tabel 2.11, dengan angka poison $v = 0,4$, maka;

$$\bar{S}_1 = 2,7$$

$$\bar{S}_2 = 6,7$$

Sesuai rumus 2.61:

$$k_z^f = 24.529,401 \cdot 0,6 \cdot 2,7 = 39.737,63 \text{ kN/m}$$

Sesuai rumus 2.62:

$$c_z^f = 0,6 \cdot 3,878 \cdot \sqrt{24.529,401 \frac{16,958}{9,81} 6,7} = 3.210,32 \text{ Ndt/m}$$

Maka sesuai rumus 2.59:

$$c_z^{total} = 1.323,235 + 3.210,32 = 4.533,555 \text{ kN dt/m}$$

Sesuai rumus 2.59:

$$k_z^{total} = 1.614.362,373 + 39.737,63 = 1.654.100,003 \text{ kN/m}$$

Sesuai rumus 2.63:

$$D_z^g = \frac{4.533,555}{2\sqrt{1.654.100,003 \cdot 14,006 \cdot 9,81}} = 0,150$$

Frekuensi natural sesuai rumus 2.23:

$$f_n = \frac{1}{2\pi} \sqrt{\frac{1.654.100,003}{14,006 \cdot 9,81}} = 17,463 \text{ cps}$$

Frekuensi resonansi sesuai rumus 2.24:

$$f_{res} = 17,463 \cdot \sqrt{1 - 2 \cdot 0,15^2} = 17,063 \text{ cps}$$

Kontrol resonansi:

$$f_{mesin} = 50 \text{ cps}$$

$$\frac{f_{res}}{f_{mesin}} = \frac{17,063}{50} = 0,341 < 0,8 \text{ ok}$$

Sesuai rumus 2.29:

$$r = \frac{50}{17,463} = 2,863$$

Transmisibility sesuai rumus 2.16:

$$T_r = \frac{\sqrt{1 + (2 \cdot 0,150 \cdot 2,863)^2}}{\sqrt{(1 - 2,863^2)^2 + (2 \cdot 0,150 \cdot 2,863)^2}} = 0,182$$

Sehingga beban yang diterima tanah dasar adalah :

$$F_t = 0,182 \cdot 1,227 = 0,223 \text{ ton}$$

Magnification factor sesuai rumus 2.28:

$$M = \frac{1}{\sqrt{(1 - 2,863^2)^2 + (2 \cdot 0,150 \cdot 2,863)^2}} = 0,138$$

Amplitudo sesuai rumus 2.27:

$$A_z = 0,138 \cdot \frac{1,227 \cdot 9,81}{1,654 \cdot 100,003} = 0,00000100 \text{ m} = 0,00003951 \text{ in}$$

Kontrol nilai amplitudo:

1. Dengan nilai $f_{mesin} = 50$ cps, maka nilai K rumus Dieckmann berdasarkan tabel 2.13:
 $K = 0,2A$
 $K = 0,2 \cdot 0,00000100 \cdot 10^6 = 0,2$
Maka dari tabel 2.14 didapat kategori "Not Affected".
2. Nilai amplitudo lebih kecil dari $30 \mu\text{m} = 0,00118$ inchi
3. Berdasarkan grafik 2.10, didapat kategori "Barely Noticeable to Person"
4. $Velocity V = 2 \cdot \pi \cdot 50 \cdot 0,00003951 = 0,012 \text{ in/sec}$
Berdasarkan grafik 2.11, didapat kategori "Barely Noticeable to Pearson"

4.4.2.2 Horizontal

Nilai konstanta pegas dan redaman sesuai dengan rumus 2.54:

$$v_c = 3.194,717 \text{ m/dt}$$

$$v_s = 225,268 \text{ m/dt}$$

$$v_s/v_c = 0,071$$

$$v = 0,4$$

Berdasarkan tabel 2.12 didapat:

$$f_{11,1} = 0,0614 \text{ (interpolasi)}$$

$$f_{11,2} = 0,1459 \text{ (interpolasi)}$$

Sesuai rumus 2.64:

$$k_x^1 = \frac{(29.725.410.005,58 \cdot 0,000133333)}{0,113^3} \cdot 0,0614 \\ = 169.502.468,02 \text{ N/m} = 169.502,468 \text{ kN/m}$$

Sesuai rumus 2.65:

$$c_x^1 = \left(\frac{29.725.410.005,58 \cdot 0,000133333}{0,113^2 \cdot 225,268} \right) \cdot 0,1459 \\ = 201.598,81 \text{ N dt/m} = 201,599 \text{ kN dt/m}$$

Menghitung k_x^g , c_x^g , k_x^f dan c_x^f :

Berdasarkan grafik 2.8, dengan nilai $K_R = 0,00000577$ dan nilai β masing-masing tiang diperoleh nilai $\alpha_L = 5,31$

Sesuai rumus 2.66:

$$k_x^g = \frac{20 \cdot 169.502,468}{5,31} = 638.427,375 \text{ KN/m}$$

Sesuai rumus 2.67:

$$c_x^g = \frac{20 \cdot 201,599}{5,31} = 759,318 \text{ kN dt/m}$$

Data *pile cap* :

$$h = 0,6 \text{ m}$$

$$r_o = 3,878 \text{ m}$$

$$G_s = 24.529,401 \text{ kN/m}^2$$

$$\gamma_{\text{sat}} = 16,958 \text{ kN/m}^3$$

$$m_c = 14,006 \text{ ton dt}^2/\text{m}$$

Berdasarkan tabel 2.11, dengan angka poison 0,4, maka;

$$\frac{S_{u1}}{S_{u2}} = 4,1$$

$$\frac{S_{u2}}{S_{u1}} = 10,6$$

Sesuai rumus 2.70:

$$k_x^f = 24.529,401 \cdot 0,6 \cdot 4,1 = 60.342,327 \text{ kN/m}$$

Sesuai rumus 2.71:

$$c_x^f = 0,6 \cdot 3,878 \sqrt{24.529,401 \cdot \frac{16,958}{9,81} \cdot 10,6} = 5.079,014 \text{ kN dt/m}$$

Maka sesuai rumus 2.68:

$$c_x^{\text{total}} = 759,318 + 5.079,014 = 5.838,331 \text{ kN dt/m}$$

Sesuai rumus 2.69:

$$k_x^{\text{total}} = 638.427,375 + 60.342,327 = 698.769,702 \text{ kN/m}$$

Sesuai rumus 2.72:

$$D_x^g = \frac{5.838,331}{2\sqrt{630.211,729 \cdot 14,006 \cdot 9,81}} = 0,298$$

Frekuensi natural sesuai rumus 2.23:

$$f_n = \frac{1}{2\pi} \sqrt{\frac{698.769,702}{14,006 \cdot 9,81}} = 11,350 \text{ cps}$$

Frekuensi resonansi sesuai rumus 2.24:

$$f_{res} = 11,350 \cdot \sqrt{1 - 2 \cdot 0,298^2} = 10,293 \text{ cps}$$

Kontrol resonansi:

$$f_{\text{mesin}} = 50 \text{ cps}$$

$$\frac{f_{res}}{f_{mesin}} = \frac{10,293}{50} = 0,206 < 0,8 \text{ ok}$$

Sesuai rumus 2.29:

$$r = \frac{50}{11,350} = 4,405$$

Transmisibility sesuai rumus 2.16:

$$T_r = \frac{\sqrt{1 + (2 \cdot 0,298 \cdot 4,405)^2}}{\sqrt{(1 - 4,405)^2 + (2 \cdot 0,298 \cdot 4,405)^2}} = 0,151$$

Sehingga beban yang diterima tanah dasar adalah :

$$F_t = 0,151 \cdot 1,227 = 0,185 \text{ ton}$$

Magnification factor sesuai rumus 2.28:

$$M = \frac{1}{\sqrt{(1 - 4,405^2)^2 + (2 \cdot 0,298 \cdot 4,405)^2}} = 0,054$$

Amplitudo sesuai rumus 2.27:

$$A_x = 0,054 \cdot \frac{1,227 \cdot 9,81}{698,769,702} \\ = 0,00000093 \text{ m} = 0,00003646 \text{ in}$$

Kontrol nilai amplitudo:

1. Dengan nilai $f_{mesin} = 50$ cps, maka nilai K rumus Dieckmann berdasarkan tabel 2.13:
 $K = 0,1 \cdot A$
 $K = 0,1 \cdot 0,00000093 \cdot 10^6 = 0,09$
Maka dari tabel 2.14, didapat kategori “*Not Affected*”.
2. Nilai amplitudo lebih kecil dari $50 \mu\text{m} = 0,0019685$ inchi
3. Berdasarkan grafik 2.9, didapat kategori “*No Fouls*”
4. $Velocity V = 2 \cdot \pi \cdot 50 \cdot 0,00003646 = 0,011 \text{ in/sec}$
Berdasarkan tabel 2.15, keadaan mesin adalah “*Smooth*”

4.4.2.3 Rocking

Nilai konstanta pegas dan redaman sesuai dengan rumus 2.54:

$$v_c = 3.194,717 \text{ m/dt}$$

$$v_s = 225,268 \text{ m/dt}$$

$$v_s/v_c = 0,071$$

$$v = 0,4$$

Berdasarkan tabel 2.12, maka;

$$f_{7,1} = 0,554 \text{ (hasil interpolasi).}$$

$$f_{7,2} = 0,387 \text{ (hasil interpolasi).}$$

Sesuai rumus 2.73:

$$k_\varphi^{-1} = \frac{(29.725.410.005,58 \cdot 0,000133333)}{0,113} \cdot 0,554 \\ = 19.444.578,176 \text{ Nm} = 19.444,578 \text{ kNm}$$

Sesuai rumus 2.74:

$$c_\varphi^{-1} = \frac{(29.725.410.005,58 \cdot 0,000133333)}{225,268} \cdot 0,387 \\ = 6.805,752 \text{ Nmdet} = 6,806 \text{ kNmdet}$$

Menghitung k_φ^g , c_φ^g , $k_{x\varphi}^{-1}$ dan $c_{x\varphi}^{-1}$:

Berdasarkan tabel 2.12, maka nilai;

$$f_{9,1} = -0,137 \text{ (hasil interpolasi)}$$

$$f_{9,2} = -0,199 \text{ (hasil interpolasi)}$$

Sesuai rumus 2.75:

$$k_{x\varphi}^{-1} = \frac{(29.725.410.005,58 \cdot 0,000133333)}{0,113^2} \cdot (-0,137) \\ = -42.581.864,281 \text{ N} = -42,581.864 \text{ kN}$$

Sesuai rumus 2.76:

$$c_{x\varphi}^{-1} = \frac{(29.725.410.005,58 \cdot 0,000133333)}{0,113 \cdot 225,268} \cdot (-0,199)$$

$$= -30,972.763 \text{ Ndet} = 30,973 \text{ kNdet}$$

Data *pile cap*:

$$h = 0,6 \text{ m}$$

$$r_o = 3,756 \text{ m}$$

$$G_s = 24.529,401 \text{ kN/m}^2$$

$$\gamma_{\text{sat}} = 16,958 \text{ kN/m}^3$$

$$m_c = 14,006 \text{ ton dt}^2/\text{m}$$

Berdasarkan tabel 2.11, dengan angka poison 0,4, maka;

$$\overline{S}_{\varphi 1} = 2,5$$

$$\overline{S}_{\varphi 2} = 1,8$$

$$\overline{S}_{u1} = 4,1$$

$$\overline{S}_{u2} = 10,6$$

$$X_r = 2,4 \text{ m}$$

$$Z_c = 0,734 \text{ m}$$

$$\delta = \frac{h}{r_o} = 0,160$$

Sesuai rumus 2.78:

$$k_{\varphi}^f = (24.529,401 \cdot 3,756 \cdot 0,6^2 \cdot 2,5) + (24.529,401 \cdot 3,756^2 \cdot 0,6) \\ \left[\left(0,160^2 / 3 \right) + \left(0,734 / 3,756 \right)^2 - \left(0,160 \left(0,734 / 3,756 \right) \right) \right] 4,1 \\ = 96.094,178 \text{ KNm}$$

Sesuai rumus 2.80:

$$c_{\varphi}^f = (0,160 \cdot 3,756^4) \left(\sqrt{(24.529,401 \cdot 16,958) / 9,81} \right)$$

$$\left[1,8 + \left\{ \left((0,160)^2 / 3 \right) + \left(0,734 / 3,756 \right)^2 \right\} 10,6 \right]$$

$$= 12.856,571 \text{ KNmdet}$$

Maka sesuai rumus 2.77:

$$k_{\varphi}^g = 20 \cdot \left[\frac{19.444,578 + 579.556,092 \cdot 2,4^2}{+ 169.502,468 \cdot 0,734^2 - 2 \cdot 0,734 \cdot (-42.581,864)} \right] \\ + 96.094,1783 = 70.326.868,871 \text{ KNm}$$

Dan sesuai rumus 2.79:

$$c_{\varphi}^g = 20 \cdot \left[\frac{6,806 + 475,041 \cdot 2,4^2 + 201,599 \cdot 0,734^2}{- 2 \cdot 0,734 \cdot (-30,973)} \right] \\ + 12.856,571 = 70.799,501 \text{ KNmdet}$$

Sesuai rumus 2.81:

$$D_{\varphi}^g = \frac{70.799,501}{2\sqrt{70.326.868,871 \cdot 137,4}} = 0,360$$

Frekuensi natural sesuai rumus 2.23:

$$f_n = \frac{1}{2\pi} \sqrt{\frac{70.326.868,871}{137,40}} = 113,864 \text{ cps}$$

Frekuensi resonansi sesuai rumus 2.24:

$$f_{res} = 113,864 \cdot \sqrt{1 - 2 \cdot 0,360^2} = 97,991 \text{ cps}$$

Kontrol resonansi:

$$f_{mesin} = 50 \text{ cps}$$

$$\frac{f_{res}}{f_{mesin}} = \frac{97,991}{50} = 1,96 > 1,2 \text{ ok}$$

Sesuai rumus 2.29:

$$r = \frac{50}{113,864} = 0,439$$

Transmisibility sesuai rumus 2.16:

$$T_r = \frac{\sqrt{1 + (2 \cdot 0,360 \cdot 0,439)^2}}{\sqrt{(1 - 0,439^2)^2 + (2 \cdot 0,360 \cdot 0,439)^2}} = 1,210$$

Sehingga beban yang diterima tanah dasar adalah :

$$F_t = 1,210 \cdot 1,227 = 1,484 \text{ ton}$$

Magnification factor sesuai rumus 2.28:

$$M = \frac{1}{\sqrt{(1 - 0,439^2)^2 + (2 \cdot 0,360 \cdot 0,439)^2}} = 1,154$$

Amplitudo sesuai rumus 2.27:

$$A = 1,154 \frac{1,227 \cdot 1,84 \cdot 9,81}{70,326,868,871} = 0,00000036 \text{ rad}$$

Maka besarnya nilai amplitudo vertikal sebagai berikut :

$$A_{\phi z} = (6,3/2) \cdot 0,00000036$$

$$= 0,00000114 \text{ m}$$

$$A_z = 0,00004504 \text{ in}$$

Kontrol nilai amplitudo:

1. Dengan nilai $f_{mesin} = 50 \text{ cps}$, maka nilai K rumus Dieckmann berdasarkan tabel 2.13:

$$K = 0,2 \cdot A$$

$$K = 0,2 \cdot 0,00004504 \cdot (2,54/100) \cdot 10^6 = 0,229$$

Maka dari tabel 2.14, didapat kategori "Not Affected".

2. Nilai amplitudo lebih kecil dari $30 \mu\text{m} = 0,00118 \text{ inchi}$
3. Berdasarkan grafik 2.10, didapat kategori "Barely noticeable to person"
4. $Velocity V = 2 \cdot \pi \cdot 50 \cdot 0,00004504 = 0,014 \text{ in/sec}$
Berdasarkan grafik 2.11, didapat kategori "Barely Noticeable to Pearson".

4.4.2.4 Kopel Rocking dan Horizontal

Sesuai rumus 2.42:

$$\left[\omega_n^4 - \left[\frac{\omega_{nx}^2 + \omega_{n\varphi}^2}{r} - \frac{4.D_x.D_\varphi.\omega_{nx}.\omega_{n\varphi}}{r} \right] \omega_n^2 + \frac{\omega_{nx}^2 \omega_{n\varphi}^2}{r} \right]^2 + \\ 4 \left[\frac{D_x.\omega_{nx}.\omega_n}{r} (\omega_{n\varphi}^2 - \omega_n^2) + \frac{D_\varphi.\omega_n.\omega_{n\varphi}}{r} (\omega_{nx}^2 - \omega_n^2) \right]^2 = 0$$

Dengan mengabaikan nilai redaman (D), maka:

$$(\omega_{n1,2})^2 = \frac{\omega_{nx}^2 + \omega_{n\varphi}^2 \pm \sqrt{(\omega_{nx}^2 + \omega_{n\varphi}^2)^2 - 4r(\omega_{nx} \cdot \omega_{n\varphi})^2}}{2r}$$

Dimana nilai r sesuai rumus 4.21:

$$r = \frac{Mm}{Mmo} = \frac{42,822}{50,37} = 0,850$$

$$\omega_{nx} = 2\pi.f_{nx} = 2\pi.11,35$$

$$\omega_{nx} = 71,314 \text{ rad/dt}$$

$$\omega_{n\varphi} = 2\pi.f_{n\varphi} = 2\pi.113,864$$

$$\omega_{n\varphi} = 715,430 \text{ rad/dt}$$

Maka:

$$(\omega_{n1,2})^2 = \frac{71,314^2 + 715,430^2 \pm \sqrt{(71,314^2 + 715,430^2)^2 - 4 \cdot 0,850 \cdot (71,314 \cdot 715,430)^2}}{2 \cdot 0,850}$$

$$(\omega_{n1})^2 = 602.952,515$$

$$(\omega_{n2})^2 = 5.078,036$$

$$\omega_{n1} = 776.500 \text{ rad/dt}$$

$$\omega_{n2} = 71,26 \text{ rad/dt}$$

Maka nilai $\Delta(\omega^2)$ sesuai rumus 2.43:

$$\Delta(\omega^2) = \left\{ \left[\omega^4 - \left[\frac{\omega_{nx}^2 + \omega_{n\varphi}^2}{r} - \frac{4.D_x.D_\varphi.\omega_{nx}.\omega_{n\varphi}}{r} \right] \omega^2 + \frac{\omega_{nx}^2 \omega_{n\varphi}^2}{r} \right]^2 + \right. \\ \left. 4 \left[\frac{D_x.\omega_{nx}.\omega}{r} (\omega_{n\varphi}^2 - \omega^2) + \frac{D_\varphi.\omega.\omega_{n\varphi}}{r} (\omega_{nx}^2 - \omega^2) \right]^2 \right\}^{\frac{1}{2}}$$

$$\omega_{mesin} = 2\pi f = 2\pi \cdot 50 = 314,159 \text{ rad/dt}$$

$$\Delta(\omega^2) =$$

$$\left\{ \begin{aligned} & \left[314,159^4 - \left[\frac{71,314^2 + 715,430^2}{0,850} - \frac{4,0298 \cdot 0,360 \cdot 71,314 \cdot 715,430}{0,850} \right] 314,159^2 \right]^2 \\ & + \frac{71,314^2 \cdot 715,430^2}{0,850} \\ & + 4 \left[\frac{0,298 \cdot 71,314 \cdot 314,159}{0,850} (715,430^2 - 314,159^2) \right]^2 \\ & + 4 \left[\frac{0,360 \cdot 314,159 \cdot 715,430}{0,850} (71,314^2 - 314,159^2) \right]^2 \end{aligned} \right\}^{\frac{1}{2}}$$

$$\Delta(\omega^2) = 46.082.067.449,7$$

Maka:

Sesuai rumus 2.36:

$$A_{x1} = \frac{1,227}{14,006,42,822} \left\{ \begin{aligned} & (-42,822 \cdot 314,159^2 + 7,168,895,909 + 71,230,347 \cdot 0,734^2)^2 \\ & (+ 4 \cdot 314,159 \cdot (0,360 \sqrt{71,230,347 \cdot 4,946 + 0,734^2} \cdot 0,298 \sqrt{71,230,347 \cdot 14,006})^2) \end{aligned} \right\}^{\frac{1}{2}} \\ 46.082.067.449,7$$

$$A_{x1} = 0,00000013 \text{ m}$$

$$A_{x1} = 0,00000521 \text{ inc}$$

Sesuai rumus 2.37:

$$A_{x2} = \frac{2,257 \cdot 0,734 [(71,314^2)^2 + (2 \cdot 0,298 \cdot 71,314 \cdot 314,159)^2]^{1/2}}{42,822} \\ 46.082.067.449,7$$

$$A_{x2} = 0,00000001 \text{ m}$$

$$A_{x2} = 0,00000047 \text{ inc}$$

Sesuai rumus 2.38:

$$A_{\varphi 1} = \frac{1,227 \cdot 0,734 (71,314)((71,314)^2 + 4 \cdot 0,298 \cdot 314,159^2)^{1/2}}{42,822} \\ 46.082.067.449,7$$

$$A_{\varphi 1} = 0,00000001 \text{ rad}$$

Sesuai rumus 2.39:

$$A_{\varphi 2} = \frac{2,257}{42,822} \frac{[((71,314)^2 - 314,159^2)^2 + (2 \cdot 0,298 \cdot 71,314 \cdot 314,159)^2]^{1/2}}{46.082.067.449,7}$$

$$A_{\varphi 2} = 0,00000011 \text{ rad}$$

Jadi nilai amplitudo total sesuai rumus 4.34 dan 4.35:

$$A_x = 0,00000521 + 0,00000047 = 0,00000568 \text{ inchi}$$

$$A_\phi = 0,00000001 + 0,00000011 = 0,00000012 \text{ rad}$$

Amplitudo *rocking* menambah besarnya ampiltudo yang terjadi pada arah vertikal.

Maka besarnya nilai amplitudo vertikal sebagai berikut :

$$A_{\phi z} = (6,3/2) \cdot 0,00000012$$

$$= 0,00000038 \text{ m} = 0,00001483 \text{ in}$$

$$A_z = 0,00003951 + 0,00001483 = 0,00005433 \text{ inc}$$

Kontrol nilai amplitudo:

1. Dengan nilai $f_{mesin} = 50 \text{ cps}$, maka nilai K rumus Dieckmann berdasarkan tabel 2.13:

$$K = 0,2 \cdot A = 0,2 \cdot 0,00005433 \cdot (2,54/100) \cdot 10^6 = 0,276$$

Maka dari tabel 2.14 didapat katergory “*Not Affected*”.

2. Nilai amplitudo lebih kecil dari $30 \mu\text{m} = 0,00118 \text{ inchi}$
3. Berdasarkan grafik 2.10, didapat kategori “*Barely noticeable to person*”
4. Velocity $V = 2 \cdot \pi \cdot 50 \cdot 0,00005433 = 0,017 \text{ in/sec}$
Berdasarkan grafik 2.11, didapat kategori “*Barely Noticeable to Pearson*”.

Amplitudo horizontal

$$A_x = 0,00000014 \text{ m} = 0,00000568 \text{ inc}$$

Kontrol nilai amplitudo:

1. Dengan nilai $f_{mesin} = 50 \text{ cps}$, maka nilai K rumus Dieckmann berdasarkan tabel 2.13:

$$K = 0,1 \cdot A = 0,1 \cdot 0,00000014 \cdot 10^6 = 0,014$$

Maka dari tabel 2.14 didapat katergory “*Not Affected*”.

2. Nilai amplitudo lebih kecil dari $50 \mu\text{m} = 0,0019685 \text{ inchi}$
3. Berdasarkan grafik 2.9, didapat kategori “*No fouls*”
4. Velocity $V = 2 \cdot \pi \cdot 50 \cdot 0,00000568 = 0,00178 \text{ in/sec}$
Berdasarkan tabel 2.15, keadaan mesin adalah “*Smooth*”

4.4.3 Analisa Kelompok Pondasi 4 Mesin

4.4.3.1 Vertikal

Nilai konstanta pegas dan redaman sesuai dengan rumus 2.54:

$$v_c = \sqrt{\frac{29.725,41 \cdot 10^3 \cdot 9,81}{28,5714}} = 3.194,717 \text{ m/dt}$$

$$v_s = \sqrt{\frac{103.456,751 \cdot 9,81}{20}} = 225,268 \text{ m/dt}$$

$$v_s/v_s = 0,071$$

$$v = 0,4$$

$$l/r_o = 10 \text{ m}/0,113\text{m} = 88,623$$

Berdasarkan grafik 2.6b, didapat:

$$f_{18,1} = 0,055$$

$$f_{18,2} = 0,090$$

Sesuai rumus 2.53:

$$k_z^{-1} = \frac{(29.725.410.005,58 \cdot 0,04)}{0,113} \cdot 0,055 \\ = 579.556.091,776 \text{ N/m} = 579.556,092 \text{ kN/m}$$

Sesuai rumus 2.55:

$$c_z^{-1} = \left(\frac{29.725.410.005,58 \cdot 0,04}{225,268} \right) \cdot 0,090 \\ = 475.041,369 \text{ N dt/m} = 475,041 \text{ kN dt/m}$$

Menghitung k_x^g , c_x^g , k_x^f dan c_x^f :

Berdasarkan grafik 2.7, dengan nilai $l/2r_o = 44,3$ dan nilai $2r_o/S$ dan $S/2r_o$ masing-masing tiang diperoleh nilai $\alpha_A = 11,14$

Sesuai rumus 2.57:

$$k_z^g = \frac{40 \cdot 579.556,092}{11,14} = 2.080.991,353 \text{ KN/m}$$

Sesuai rumus 2.58:

$$c_z^g = \frac{40 \cdot 475,041}{11,14} = 1.705,714 \text{ kN dt/m}$$

Data *pile cap* :

$$h = 0,6 \text{ m}$$

$$r_o = 5,46 \text{ m}$$

$$G_s = 24.529,401 \text{ kN/m}^2$$

$$\gamma_{\text{sat}} = 16,958 \text{ kN/m}^3$$

$$m_c = 27,829 \text{ ton dt}^2/\text{m}$$

Berdasarkan tabel 2.11, dengan angka poison $v = 0,4$, maka;

$$\frac{S_1}{S_2} = 2,7$$

$$\frac{S_1}{S_2} = 6,7$$

Sesuai rumus 2.61:

$$k_z^f = 24.529,401 \cdot 0,6 \cdot 2,7 = 39.737,63 \text{ kN/m}$$

Sesuai rumus 2.62:

$$c_z^f = 0,6 \cdot 5,46 \cdot \sqrt{24.529,401 \cdot \frac{16,958}{9,81} \cdot 6,7} = 4.522,026 \text{ Ndt/m}$$

Maka sesuai rumus 2.59:

$$c_z^{\text{total}} = 1.705,714 + 4.522,026 = 6.227,740 \text{ kN dt/m}$$

Sesuai rumus 2.59:

$$k_z^{\text{total}} = 2.080.991,353 + 39.737,63 = 2.120.728,983 \text{ kN/m}$$

Sesuai rumus 2.63:

$$D_z^g = \frac{6.227,740}{2\sqrt{2.120.728,983 \cdot 27,829 \cdot 9,81}} = 0,129$$

Frekuensi natural sesuai rumus 2.23:

$$f_n = \frac{1}{2\pi} \sqrt{\frac{2.120.728,983}{27,829 \cdot 9,81}} = 14,028 \text{ cps}$$

Frekuensi resonansi sesuai rumus 2.24:

$$f_{\text{res}} = 14,028 \cdot \sqrt{1 - 2 \cdot 0,129^2} = 13,791 \text{ cps}$$

Kontrol resonansi:

$$f_{\text{mesin}} = 50 \text{ cps}$$
$$\frac{f_{\text{res}}}{f_{\text{mesin}}} = \frac{13,791}{50} = 0,276 < 0,8 \text{ ok}$$

Sesuai rumus 2.29:

$$r = \frac{50}{14,028} = 3,564$$

Transmissibility sesuai rumus 2.16:

$$T_r = \frac{\sqrt{1 + (2 \cdot 0,129 \cdot 3,564)^2}}{\sqrt{(1 - 3,564^2)^2 + (2 \cdot 0,129 \cdot 3,564)^2}} = 0,116$$

Sehingga beban yang diterima tanah dasar adalah :

$$F_t = 0,116 \cdot 2,453 = 0,284 \text{ ton}$$

Magnification factor sesuai rumus 2.28:

$$M = \frac{1}{\sqrt{(1 - 3,564^2)^2 + (2 \cdot 0,129 \cdot 3,564)^2}} = 0,085$$

Amplitudo sesuai rumus 2.27:

$$A_z = 0,085 \cdot \frac{2,453 \cdot 9,81}{2,120,728,983} = 0,000001 \text{ m} = 0,0000381 \text{ in}$$

Kontrol nilai amplitudo:

1. Dengan nilai $f_{\text{mesin}} = 50 \text{ cps}$, maka nilai K rumus Dieckmann berdasarkan tabel 2.13:
 $K = 0,2 \cdot A = 0,2 \cdot 0,000001 \cdot 10^6 = 0,193$
Maka dari tabel 2.14 didapat kategori "Not Affected".
2. Nilai amplitudo lebih kecil dari $30 \mu\text{m} = 0,00118 \text{ inchi}$
3. Berdasarkan grafik 2.10, didapat kategori "Barely Noticeable to Person"
4. $Velocity V = 2 \cdot \pi \cdot 50 \cdot 0,0000381 = 0,012 \text{ in/sec}$
Berdasarkan grafik 2.11, didapat kategori "Barely Noticeable to Pearson"

4.4.3.2 Horizontal

Nilai konstanta pegas dan redaman sesuai dengan rumus 2.54:

$$v_c = 3.194,717 \text{ m/dt}$$

$$v_s = 225,268 \text{ m/dt}$$

$$v_s/v_c = 0,071$$

$$v = 0,4$$

Berdasarkan tabel 2.12 didapat:

$$f_{11,1} = 0,0614 \text{ (interpolasi)}$$

$$f_{11,2} = 0,1459 \text{ (interpolasi)}$$

Sesuai rumus 2.64:

$$k_x^1 = \frac{(29.725.410.005,58 \cdot 0,000133333)}{0,113^3} \cdot 0,0614 \\ = 169.502.468,02 \text{ N/m} = 169.502,468 \text{ kN/m}$$

Sesuai rumus 2.65:

$$c_x^1 = \left(\frac{(29.725.410.005,58 \cdot 0,000133333)}{0,113^2 \cdot 225,268} \right) \cdot 0,1459 \\ = 201.598,81 \text{ N dt/m} = 201,599 \text{ kN dt/m}$$

Menghitung k_x^g , c_x^g , k_x^f dan c_x^f :

Berdasarkan grafik 2.8, dengan nilai $K_R = 0,00000577$ dan nilai β masing-masing tiang diperoleh nilai $\alpha_L = 8,36$

Sesuai rumus 2.66:

$$k_x^g = \frac{40 \cdot 169.502,468}{8,36} = 811.016,593 \text{ KN/m}$$

Sesuai rumus 2.67:

$$c_x^g = \frac{40 \cdot 201,599}{8,36} = 964,588 \text{ kN dt/m}$$

Data *pile cap*:

$$h = 0,6 \text{ m}$$

$$r_o = 5,46 \text{ m}$$

$$G_s = 24.529,401 \text{ kN/m}^2$$

$$\gamma_{sat} = 16,958 \text{ kN/m}^3$$

$$m_c = 27,829 \text{ ton dt}^2/\text{m}$$

Berdasarkan tabel 2.11, dengan angka poison 0,4, maka;

$$\frac{S_{u1}}{S_{u2}} = 4,1$$

$$\frac{S_{u2}}{S_{u1}} = 10,6$$

Sesuai rumus 2.70:

$$k_x^f = 24.529,401 \cdot 0,6 \cdot 4,1 = 60.342,327 \text{ kN/m}$$

Sesuai rumus 2.71:

$$c_x^f = 0,6 \cdot 5,46 \sqrt{24.529,401 \cdot \frac{16,958}{9,81} \cdot 10,6} = 7.154,25 \text{ kNdt/m}$$

Maka sesuai rumus 2.68:

$$c_x^{total} = 964,588 + 7.154,25 = 8.118,84 \text{ kN dt/m}$$

Sesuai rumus 2.69:

$$k_x^{total} = 811.016,593 + 60.342,327 = 871.358,921 \text{ kN/m}$$

Sesuai rumus 2.72:

$$D_x^g = \frac{8.118,84}{2\sqrt{871.358,921 \cdot 27,829 \cdot 9,81}} = 0,263$$

Frekuensi natural sesuai rumus 2.23:

$$f_n = \frac{1}{2\pi} \sqrt{\frac{871.358,921}{27,829 \cdot 9,81}} = 8,992 \text{ cps}$$

Frekuensi resonansi sesuai rumus 2.24:

$$f_{res} = 8,992 \cdot \sqrt{1 - 2 \cdot 0,263^2} = 8,346 \text{ cps}$$

Kontrol resonansi:

$$f_{mesin} = 50 \text{ cps}$$

$$\frac{f_{res}}{f_{mesin}} = \frac{8,346}{50} = 0,167 < 0,8 \text{ ok}$$

Sesuai rumus 2.29:

$$r = \frac{50}{8,992} = 5,561$$

Transmisibility sesuai rumus 2.16:

$$T_r = \frac{\sqrt{1 + (2 \cdot 0,263 \cdot 5,561)^2}}{\sqrt{(1 - 5,561)^2 + (2 \cdot 0,263 \cdot 5,561)^2}} = 0,103$$

Sehingga beban yang diterima tanah dasar adalah :

$$F_t = 0,103 \cdot 2,453 = 0,252 \text{ ton}$$

Magnification factor sesuai rumus 2.28:

$$M = \frac{1}{\sqrt{(1 - 5,561^2)^2 + (2 \cdot 0,263 \cdot 5,561)^2}} = 0,033$$

Amplitudo sesuai rumus 2.27:

$$A_x = 0,033 \cdot \frac{2,453 \cdot 9,81}{871.358,921} \\ = 0,0000009 \text{ m} = 0,0000362 \text{ in}$$

Kontrol nilai amplitudo:

1. Dengan nilai $f_{mesin} = 50$ cps, maka nilai K rumus Dieckmann berdasarkan tabel 2.13:

$$K = 0,1 \cdot A$$

$$K = 0,1 \cdot 0,0000009 \cdot 10^6 = 0,09$$

Maka dari tabel 2.14, didapat kategori “*Not Affected*”.

2. Nilai amplitudo lebih kecil dari $50 \mu\text{m} = 0,0019685$ inchi
3. Berdasarkan grafik 2.9, didapat kategori “*No Fouls*”
4. $Velocity V = 2 \cdot \pi \cdot 50 \cdot 0,00003646 = 0,011 \text{ in/sec}$
Berdasarkan tabel 2.15, keadaan mesin adalah “*Smooth*”

4.4.3.3 Rocking

Nilai konstanta pegas dan redaman sesuai dengan rumus 2.54:

$$v_c = 3.194,717 \text{ m/dt}$$

$$v_s = 225,268 \text{ m/dt}$$

$$v_s/v_c = 0,071$$

$$v = 0,4$$

Berdasarkan tabel 2.12, maka;

$$f_{7,1} = 0,554 \text{ (hasil interpolasi).}$$

$$f_{7,2} = 0,387 \text{ (hasil interpolasi).}$$

Sesuai rumus 2.73:

$$k_\varphi^{-1} = \frac{(29.725.410.005,58 \cdot 0,000133333)}{0,113} \cdot 0,554 \\ = 19.444.578,176 \text{ Nm} = 19.444,578 \text{ kNm}$$

Sesuai rumus 2.74:

$$c_\varphi^{-1} = \frac{(29.725.410.005,58 \cdot 0,000133333)}{225,268} \cdot 0,387 \\ = 6.805,752 \text{ Nmdet} = 6,806 \text{ kNm det}$$

Menghitung k_φ^g , c_φ^g , $k_{x\varphi}^{-1}$ dan $c_{x\varphi}^{-1}$:

Berdasarkan tabel 2.12, maka nilai;

$$f_{9,1} = -0,137 \text{ (hasil interpolasi)}$$

$$f_{9,2} = -0,199 \text{ (hasil interpolasi)}$$

Sesuai rumus 2.75:

$$k_{x\varphi}^{-1} = \frac{(29.725.410.005,58 \cdot 0,000133333)}{0,113^2} \cdot (-0,137) \\ = -42.581.864,281 \text{ N} = -42,581.864 \text{ kN}$$

Sesuai rumus 2.76:

$$c_{x\varphi}^{-1} = \frac{(29.725.410.005,58 \cdot 0,000133333)}{0,113 \cdot 225,268} \cdot (-0,199) \\ = -30,972.763 \text{ N} = 30,973 \text{ kNm det}$$

Data *pile cap*:

$$\begin{aligned} h &= 0,6 \text{ m} \\ r_o &= 6,28 \text{ m} \\ G_s &= 24.529,401 \text{ kN/m}^2 \\ \gamma_{\text{sat}} &= 16,958 \text{ kN/m}^3 \\ m_c &= 27,829 \text{ ton dt}^2/\text{m} \end{aligned}$$

Berdasarkan tabel 2.11, dengan angka poison 0,4, maka;

$$\begin{aligned} \overline{S_{\varphi 1}} &= 2,5 \\ S_{\varphi 2} &= 1,8 \\ \overline{S_{u1}} &= 4,1 \\ \overline{S_{u2}} &= 10,6 \\ X_r &= 5,6 \text{ m} \\ Z_c &= 0,736 \text{ m} \\ \delta &= \frac{h}{r_o} = 0,1 \end{aligned}$$

Sesuai rumus 2.78:

$$\begin{aligned} k_{\varphi}^f &= (24.529,401 \cdot 6,28 \cdot 0,6^2 \cdot 2,5) + (24.529,401 \cdot 6,28^2 \cdot 0,6) \\ &\left[\left(0,100^2 / 3 \right) + \left(0,736 / 6,28 \right)^2 - \left(0,100 \left(0,736 / 6,28 \right) \right) \right] 4,1 \\ &= 151.875,07 \text{ kNm} \end{aligned}$$

Sesuai rumus 2.80:

$$\begin{aligned} c_{\varphi}^f &= (0,100 \cdot 6,28^4) \left(\sqrt{\frac{(24.529,401 \cdot 16,958)}{9,81}} \right) \\ &\left[1,8 + \left\{ \left(\frac{(0,100)^2}{3} \right) + \left(\frac{0,736}{6,28} \right)^2 \right\} 10,6 - \left(0,100 \left(\frac{0,736}{6,28} \right) \right) \right] \\ &= 56.857,39 \text{ KNmdet} \end{aligned}$$

Maka sesuai rumus 2.77:

$$k_{\phi}^g = 40 \cdot \left[\begin{array}{l} 19.444,578 + 579.556,092 \cdot 2,4^2 \\ + 169.502,468 \cdot 0,736^2 - 2 \cdot 0,736 \cdot (-42.581,864) \end{array} \right] \\ + 151.875,07 = 734.099.497,4 \text{ KNm}$$

Dan sesuai rumus 2.79:

$$c_{\phi}^g = 40 \cdot \left[\begin{array}{l} 6,806 + 475,041 \cdot 2,4^2 + 201,599 \cdot 0,736^2 \\ - 2 \cdot 0,736 \cdot (-30.973) \\ + 56.857,39 \end{array} \right] \\ = 659.207,72 \text{ KNmdet}$$

Sesuai rumus 2.81:

$$D_{\phi}^g = \frac{659.207,72}{2\sqrt{734.099.497,4 \cdot 273,00}} = 0,74$$

Frekuensi natural sesuai rumus 2.23:

$$f_n = \frac{1}{2\pi} \sqrt{\frac{734.099.497,4}{273,00}} = 260,99 \text{ cps}$$

Frekuensi resonansi sesuai rumus 2.24:

$$f_{res} = 260,99 \cdot \sqrt{1 - 2 \cdot 0,74^2} = imainer$$

Kontrol resonansi:

$$f_{mesin} = 50 \text{ cps}$$

$$\frac{f_{res}}{f_{mesin}} = \frac{imainer}{50} = imainer \text{ ok}$$

Sesuai rumus 2.29:

$$r = \frac{50}{260,99} = 0,19$$

Transmisibility sesuai rumus 2.16:

$$T_r = \frac{\sqrt{1 + (2 \cdot 0,74 \cdot 0,19)^2}}{\sqrt{(1 - 0,19^2)^2 + (2 \cdot 0,74 \cdot 0,19)^2}} = 1,04$$

Sehingga beban yang diterima tanah dasar adalah :

$$F_t = 1,04 \cdot 2,453 = 2,54 \text{ ton}$$

Magnification factor sesuai rumus 2.28:

$$M = \frac{1}{\sqrt{(1 - 0,19^2)^2 + (2 \cdot 0,74 \cdot 0,19)^2}} = 0,996$$

Amplitudo sesuai rumus 2.27:

$$A = 0,996 \frac{2,453 \cdot 1,84 \cdot 9,81}{734,099 \cdot 497,4} = 0,000000060 \text{ rad}$$

Maka besarnya nilai amplitudo vertikal sebagai berikut :

$$A_{\varphi z} = (12,5/2) \cdot 0,000000060 \text{ rad}$$

$$= 0,00000038 \text{ m}$$

$$A_z = 0,000014787 \text{ in}$$

Kontrol nilai amplitudo:

1. Dengan nilai $f_{mesin} = 50 \text{ cps}$, maka nilai K rumus Dieckmann berdasarkan tabel 2.13:

$$K = 0,2 \cdot A$$

$$K = 0,2 \cdot 0,00000038 \cdot 10^6 = 0,075$$

Maka dari tabel 2.14, didapat kategori “*Not Affected*”.

2. Nilai amplitudo lebih kecil dari $30 \mu\text{m} = 0,00118 \text{ inchi}$
3. Berdasarkan grafik 2.10, didapat kategori “*Barely noticeable to person*”
4. $Velocity V = 2 \cdot \pi \cdot 50 \cdot 0,000014787 = 0,005 \text{ in/sec}$
Berdasarkan grafik 2.11, didapat kategori “*Barely Noticeable to Pearson*”.

4.4.3.4 Kopel Rocking dan Horizontal

Sesuai rumus 2.42:

$$\left[\omega_n^4 - \left[\frac{\omega_{nx}^2 + \omega_{n\varphi}^2}{r} - \frac{4.D_x.D_\varphi.\omega_{nx}.\omega_{n\varphi}}{r} \right] \omega_n^2 + \frac{\omega_{nx}^2 \omega_{n\varphi}^2}{r} \right]^2 + 4 \left[\frac{D_x.\omega_{nx}.\omega_n}{r} (\omega_{n\varphi}^2 - \omega_n^2) + \frac{D_\varphi.\omega_n.\omega_{n\varphi}}{r} (\omega_{nx}^2 - \omega_n^2) \right]^2 = 0$$

Dengan mengabaikan nilai redaman (D), maka:

$$(\omega_{n1,2})^2 = \frac{\omega_{nx}^2 + \omega_{n\varphi}^2 \pm \sqrt{(\omega_{nx}^2 + \omega_{n\varphi}^2)^2 - 4r(\omega_{nx} \cdot \omega_{n\varphi})^2}}{2r}$$

Dimana nilai r sesuai rumus 4.21:

$$r = \frac{Mm}{Mmo} = \frac{307,795}{322,854} = 0,953$$

$$\omega_{nx} = 2\pi f_{nx} = 2\pi \cdot 8,992$$

$$\omega_{nx} = 56,496 \text{ rad/dt}$$

$$\omega_{n\varphi} = 2\pi f_{n\varphi} = 2\pi \cdot 260,99$$

$$\omega_{n\varphi} = 1.639,820 \text{ rad/dt}$$

Maka:

$$(\omega_{n1,2})^2 = \frac{56,496^2 + 1.639,820^2 \pm \sqrt{(56,496^2 + 1.639,820^2)^2 - 4 \cdot 0,953 \cdot (56,496 \cdot 1.639,820)^2}}{2 \cdot 0,953}$$

$$(\omega_{n1})^2 = 2.820.722,043$$

$$(\omega_{n2})^2 = 3.191,614$$

$$\omega_{n1} = 1.679,501 \text{ rad/dt}$$

$$\omega_{n2} = 56,494 \text{ rad/dt}$$

Maka nilai $\Delta(\omega^2)$ sesuai rumus 2.43:

$$\Delta(\omega^2) = \left\{ \left[\omega^4 - \left[\frac{\omega_{nx}^2 + \omega_{n\varphi}^2}{r} - \frac{4D_x D_\varphi \cdot \omega_{nx} \cdot \omega_{n\varphi}}{r} \right] \omega^2 + \frac{\omega_{nx}^2 \omega_{n\varphi}^2}{r} \right]^2 + \right. \\ \left. 4 \left[\frac{D_x \cdot \omega_{nx} \cdot \omega}{r} (\omega_{n\varphi}^2 - \omega^2) + \frac{D_\varphi \cdot \omega \cdot \omega_{n\varphi}}{r} (\omega_{nx}^2 - \omega^2) \right]^2 \right\}^{\frac{1}{2}}$$

$$\omega_{mesin} = 2\pi f = 2\pi \cdot 50 = 314,159 \text{ rad/dt}$$

$$\Delta(\omega^2) =$$

$$\left\{ \left[314,159^4 - \left[\begin{array}{c} \frac{56,496^2 + 1,639,820^2}{0,953} \\ - \frac{4,0263 \cdot 0,74 \cdot 56,496 \cdot 1,639,820}{0,953} \\ + \frac{56,496^2 \cdot 1,639,820^2}{0,953} \end{array} \right] 314,159^2 \right]^2 + \right. \\ \left. + 4 \left[\begin{array}{c} \frac{0,263 \cdot 56,496 \cdot 314,159}{0,953} (1,639,820^2 - 314,159^2) \\ + \frac{0,74 \cdot 314,159 \cdot 1,639,820}{0,953} (56,496^2 - 314,159^2) \end{array} \right]^2 \right\}^{\frac{1}{2}}$$

$$\Delta(\omega^2) = 257.552.500.612,2$$

Maka:

Sesuai rumus 2.36:

$$A_{x1} = \frac{2,453}{27,829.307,795} \\ \frac{\left((-307,795 \cdot 314,159^2 + 74.831.753,05 + 88.823.539 \cdot 0,736^2)^2 \right.}{\left. + 4 \cdot 314,159 \cdot (0,74 \sqrt{88.823.539 \cdot 4,946} + 0,736^2 \cdot 0,263 \sqrt{88.823.539 \cdot 27,829}) \right)^2} \\ 257.552.500.612,2$$

$$A_{x1} = 0,00000005 \text{ m}$$

$$A_{x1} = 0,00000195 \text{ inc}$$

Sesuai rumus 2.37:

$$A_{x2} = \frac{4,514 \cdot 0,736 [(56,496)^2 + (2 \cdot 0,263 \cdot 56,496 \cdot 314,159)^2]^{1/2}}{307,795 \cdot 257,552,500,612,2}$$

$$A_{x2} = 0,00000000041 \text{ m}$$

$$A_{x2} = 0,00000002 \text{ inc}$$

Sesuai rumus 2.38:

$$A_{\varphi 1} = \frac{2,453 \cdot 0,736 (56,496)((56,496)^2 + 4 \cdot 0,263 \cdot 314,159^2)^{1/2}}{307,795 \cdot 257,552,500,612,2}$$

$$A_{\varphi 1} = 0,00000000042 \text{ rad}$$

Sesuai rumus 2.39:

$$A_{\varphi 2} = \frac{4,514}{307,795} \frac{\left[((56,496)^2 - 314,159^2)^2 + (2 \cdot 0,263 \cdot 56,496 \cdot 314,159)^2 \right]^{1/2}}{257,552,500,612,2}$$

$$A_{\varphi 2} = 0,0000000055 \text{ rad}$$

Jadi nilai amplitudo total sesuai rumus 4.34 dan 4.35:

$$A_x = 0,00000195 + 0,00000002 = 0,00000196 \text{ inchi}$$

$$A_{\varphi} = 0,0000000042 + 0,0000000055 = 0,0000000059 \text{ rad}$$

Amplitudo *rocking* menambah besarnya amplitudo yang terjadi pada arah vertikal.

Maka besarnya nilai amplitudo vertikal sebagai berikut :

$$A_{\varphi z} = (12,5/2) \cdot 0,0000000059$$

$$= 0,000000037 \text{ m} = 0,000001448 \text{ in}$$

$$A_z = 0,0000381 + 0,000001448 = 0,00003950 \text{ inc}$$

Kontrol nilai amplitudo:

1. Dengan nilai $f_{mesin} = 50$ cps, maka nilai K rumus Dieckmann berdasarkan tabel 2.13:
 $K = 0,2 \cdot A$
 $K = 0,2 \cdot 0,00003950 \cdot 10^6 = 0,201$
Maka dari tabel 2.14 didapat kategori “*Not Affected*”.
2. Nilai amplitudo lebih kecil dari $30 \mu\text{m} = 0,00118$ inchi
3. Berdasarkan grafik 2.10, didapat kategori “*Barely noticeable to person*”
4. Velocity $V = 2 \cdot \pi \cdot 50 \cdot 0,00003950 = 0,012$ in/sec
Berdasarkan grafik 2.11, didapat kategori “*Barely Noticeable to Pearson*”.

Amplitudo horizontal

$$A_x = 0,00000005 \text{ m} = 0,00000196 \text{ inc}$$

Kontrol nilai amplitudo:

1. Dengan nilai $f_{mesin} = 50$ cps, maka nilai K rumus Dieckmann berdasarkan tabel 2.13:
 $K = 0,1 \cdot A$
 $K = 0,1 \cdot 0,00000005 \cdot 10^6 = 0,005$
Maka dari tabel 2.14 didapat kategori “*Not Affected*”.
2. Nilai amplitudo lebih kecil dari $50 \mu\text{m} = 0,0019685$ inchi
3. Berdasarkan grafik 2.9, didapat kategori “*No fouls*”
4. Velocity $V = 2 \cdot \pi \cdot 50 \cdot 0,00000196 = 0,0006$ in/sec
Berdasarkan tabel 2.15, keadaan mesin adalah “*Very Smooth*”

4.5 Daya Dukung Statis dan Dinamis Tiang

Daya dukung ijin tiang:

$$Q_{ijin} = 15,104 \text{ ton}$$

$$P_{\text{stat+dinamis}} = \frac{v + P_z \cdot Tr}{n} + \frac{(M + P \cdot Tr \cdot c) \cdot d}{\sum d^2}$$

- a. Pondasi kelompok 1 mesin

$$\text{Efisiensi} = 0,994$$

$$75\% Q_{ijin} = 75\% \cdot 0,994 \cdot 15,104 = 11,261 \text{ ton}$$

Momen yang bekerja:

$$M_x = W_{\text{mesin}} \cdot L_1 = 12 \cdot 0,09 = 1,08 \text{ tonm}$$

$$M_y = W_{\text{mesin}} \cdot L_2 = 12 \cdot 0,463 = 5,556 \text{ tonm}$$

d = Jarak antar pondasi, arah melintang 1,0 m dan arah
memanjang 1,6 m

Jumlah tiang n = 15 tiang

$$TR_z = 0,3443$$

$$TR_y = 0,238$$

$$P = Q_o = 0,613 \text{ ton}$$

$$c_1 = 1 + 0,84 = 1,84 \text{ m}$$

$$c_2 = 0,09 \text{ m}$$

$$V = W_{\text{tot.}} = 69,6 \text{ ton}$$

$$P_{\text{stat+dinamis}} = \frac{69,6 + (0,613 \cdot 0,3443)}{15} + \frac{(1,08 + 0,613 \cdot 0,238 \cdot 1,84 + 0,613 \cdot 0,344) \cdot (1,0)}{10 \cdot 1,0^2} + \frac{5,556 \cdot (2 \cdot 1,6)}{6 \cdot ((2 \cdot 1,6)^2 + 1,6^2)} = 5,022 \text{ ton}$$

$$P_{\text{stat+dinamis}} = 5,022 \text{ ton} < 75\% Q_{ijin} = 11,261 \text{ ton} \dots \text{OK}$$

- b. Pondasi kelompok 2 mesin

$$\text{Efisiensi} = 0,998$$

$$75\% Q_{ijin} = 75\% \cdot 0,998 \cdot 15,104 = 11,306 \text{ ton}$$

Momen yang bekerja:

$$M_x = W_{mesin} \cdot L_1 = -12.(1,55-0,09) + 12.(1,55+0,09) \\ = 2,16 \text{ tonm}$$

$$M_y = 2 \cdot W_{mesin} \cdot L_2 = 2 \cdot 12 \cdot 0,463 = 11,112 \text{ tonm}$$

d = jarak antar pondasi, arah melintang 1,6 m dan arah memanjang 1,6 m

Jumlah tiang n = 20 tiang

$$TR_z = 0,182$$

$$TR_y = 0,151$$

$$P = Q_o = 1,227 \text{ ton}$$

$$c_1 = 1 + 0,84 = 1,84 \text{ m}$$

$$c_2 = 0,09 \text{ m}$$

$$V = W_{tot.} = 137,4 \text{ ton}$$

$$P_{stat+dinamis} = \frac{137,4 + (1,227 \cdot 0,182)}{20} \\ + \frac{(2,16 + 1,227 \cdot 0,151 \cdot 0,09 + 1,227 \cdot 0,182 \cdot 1,84) \cdot (1,5 \cdot 1,6)}{10 \cdot [(0,5 \cdot 1,6)^2 + (1,5 \cdot 1,6)^2]} \\ + \frac{11,112 \cdot (1,6 \cdot 2)}{8 \cdot (1,6^2 + (2 \cdot 1,6)^2)} = 7,502 \text{ ton}$$

$$P_{stat+dinamis} = 7,325 \text{ ton} < 75\%Q_{ijin} = 11,306 \text{ ton} \dots \text{OK}$$

c. Pondasi kelompok 4 mesin

$$Efisiensi = 0,999$$

$$75\% Q_{ijin} = 75\% \cdot 0,999 \cdot 15,104 = 11,315 \text{ ton}$$

Momen yang bekerja:

$$M_x = W_{mesin} \cdot L_1 = -12.(1,55+3,1-0,09) - 12.(1,55 - 0,09) \\ + 12.(1,55+0,09) + 12.(1,55+3,1+0,09) \\ = 4,32 \text{ tonm}$$

$$M_y = 4 \cdot W_{mesin} \cdot L_2 = 4 \cdot 12 \cdot 0,463 = 22,224 \text{ tonm}$$

d = jarak antar pondasi, arah melintang 1,6 m dan arah memanjang 1,6 m

Jumlah tiang n = 40 tiang

$$TR_z = 0,116$$

$$TR_y = 0,103$$

$$\begin{aligned}
 P &= Q_o = 2,453 \text{ ton} \\
 c_1 &= 1 + 0,84 = 1,84 \text{ m} \\
 c_2 &= 0,09 \text{ m} \\
 V &= W_{\text{tot.}} = 273 \text{ ton}
 \end{aligned}$$

$$\begin{aligned}
 P_{\text{stat+dinamis}} &= \frac{273,0 + (2,453 \cdot 0,116)}{40} \\
 &+ \frac{(4,32 + (2,453 \cdot 0,103 \cdot 0,09 + 2,453 \cdot 0,116 \cdot 1,84)) \cdot (3,5 \cdot 1,6)}{10 \cdot \{(0,5 \cdot 1,6)^2 + (1,5 \cdot 1,6)^2 + (2,5 \cdot 1,6)^2 + (3,5 \cdot 1,6)^2\}} \\
 &+ \frac{22,224 \cdot (2 \cdot 1,6)}{16 \cdot [1,6^2 + (2 \cdot 1,6)^2]} = 8,059 \text{ ton}
 \end{aligned}$$

$$P_{\text{stat+dinamis}} = 8,059 \text{ ton} < 75\%Q_{\text{ijin}} = 11,315 \text{ ton} \dots \text{OK}$$

4.6 Rekapitulasi Perencanaan Pondasi

4.6.1 Rekapitulasi Hasil Perencanaan Pembebatan Statis

Berdasarkan perhitungan pada sub bab 4.1 dan sub bab 4.2 maka hasil perencanaan dapat di sajikan dalam tabel sebagai berikut:

Tabel 4.6 Perencanaan Pondasi

No	Parameter	Pondasi Kelompok		
		1 Mesin	2 Mesin	4 Mesin
1	Dimensi <i>Pile Cap</i> :			
	Panjang	7.5	7.5	7.5
	Lebar	3.2	6.3	12.5
	Tinggi	1	1	1
2	Jumlah Tiang 20 cm X 20 cm	15	20	40

4.6.2 Rekapitulasi Hasil Analisa Dinamis

Berdasarkan perhitungan pada sub bab 4.2, sub bab 4.4 dan sub bab 4.5 maka hasil perencanaan dapat di sajikan dalam tabel sebagai berikut:

Tabel 4.7 Rekapitulasi analisa dinamis pondasi kelompok 1 mesin

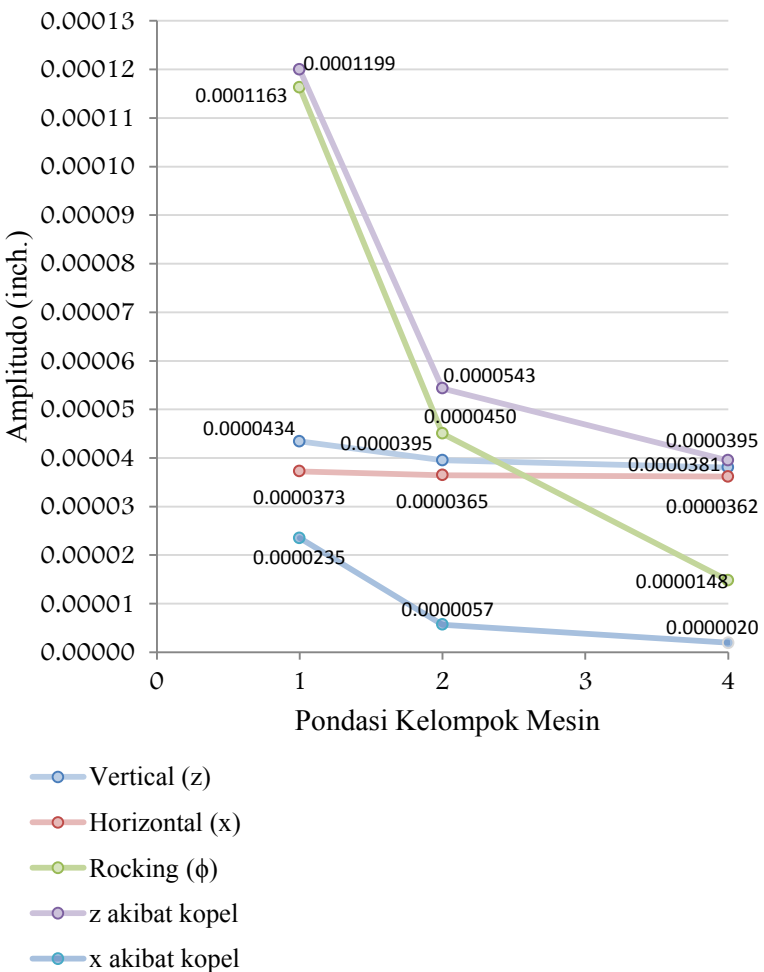
No.	Parameter	Referensi	Pondasi Kelompok				Kontrol	KET.
			Vertical (z)	Horizontal (x)	Rocking (φ)	Kopel Rocking-Horizontal (xφ)		
1	Daya dukung Statis (ton)				4.980		< 50% Q $\bar{J}m = 7.5$ ton	OK
2	Daya dukung statis+dinamis (ton)				5.022		< 75% Q $\bar{J}m = 11.3$ ton	OK
3	Damming ratio (D), $D = \frac{c}{2\pi X \cdot m}$		0.170	0.320	0.227			
4	Frekuensi mesin (f) (cps)			50				
5	Frekuensi natural (f_n) (cps)	$\frac{1}{2\pi r} \sqrt{\frac{k_e}{m}}$	23.545	15.498	64.244			
6	Frekuensi resonansi (f_{res}) (cps)	$f_{res} = f_n \cdot \sqrt{1 - 2 \cdot D^2}$	22.853	13.824	60.858			
	freqmesin		0.457	0.276	1.217		< 0.8 atau > 1.2 atau imajiner	OK
7	Frekuensi rasio (r)	f_{mesin} / f_n	2.124	3.226	0.778			
8	Transmissibility factor	$\frac{\sqrt{1 + (2 \cdot D \cdot r)^2}}{\sqrt{(1 - r^2)^2 + (2 \cdot D \cdot r)^2}}$	0.344	0.238	2.005			
9	Transmited force (Ft) (ton)	$Ft = Tr \cdot Qo$	0.211	0.146	1.229			
10	Pembesaran dinamis (M)	$M = \frac{\sqrt{(1 - r^2)^2 + (2 \cdot D \cdot r)^2}}{r}$	0.279	0.104	1.891		< 1,5 untuk vertikal	OK
11	Displacement response (A) (inch)	$M \cdot (Qo/k)$	0.0000434	0.0000373	0.0001163	0.0001199	0.0000235 Vertikal dan Rocking < Troublesome to Person	OK
	Kategori		Barely Noticeable to Person	No Foulls	Easily Noticeable to Person	Easily Noticeable to Person	No Foulls	Horizontal < Fouly
12	Velocity (v) (inch/sec)	$2\pi \cdot \omega_{mesin} \cdot A$	0.014	0.012	0.037	0.038	0.007	
	Keadaan Mesin		Barely Noticeable to Person	Smooth	Barely Noticeable to Person	Very Smooth	< Good	OK
13	Diecoman (K)	Tabel 2.13	0.220459352	0.095	0.591	0.609	0.060	< Affected but Still Possible
	Kategori		Not Affected	Still Not Affected	Still Not Affected	Not Affected		OK

Tabel 4.8 Rekapitulasi analisa dinamis pondasi kelompok 2 mesin

No.	Parameter	Referensi	Pondasi Kelompok 2 mesin				Kontrol	KET.
			Vertical (z)	Horizontal (x)	Rocking (φ)	Kopel Rocking+Horizontal (xφ) (x)		
1	Daya dukung Statis (ton)				7.298		< 50% Q $\bar{j}m = 7.5$ ton	OK
2	Daya dukung statis-dinamis (ton)				7.502		< 75% Q $\bar{j}m = 11.3$ ton	OK
3	Damping rasio (D)	$D = \frac{c}{2\sqrt{g \cdot m c}}$	0.150	0.298	0.360			
4	Frekuensi mesin (f) (cps)		50					
5	Frekuensi natural (f_n) (cps)	$\frac{3}{2\pi\sqrt{\frac{k_e}{m_e}}}$	17.463	11.350	113.864			
6	Frekuensi resonansi (f_{res}) (cps)	$f_{res} = f_n \cdot \sqrt{1 - 2 \cdot D^2}$	17.063	10.293	97.991		< 0.9 atau > 1.2 atau imajiner	OK
	freq/mesin		0.341	0.206	1.960			
7	Frekuensi rasio (r)	f_{mesin}/f_n	2.863	4.405	0.439			
8	Transmissibility factor (T)	$\frac{\sqrt{1 + (2 \cdot D \cdot r)^2}}{\sqrt{(1 - r^2) + (2 \cdot D \cdot r)^2}}$	0.182	0.151	1.210			
9	Transmited force (Ft) (ton)	$Ft = Tr \cdot Qo$	0.223	0.185	1.484			
10	Pembebasan dinamis (M)	$\frac{1}{\sqrt{(1 - r^2)^2 + (2 \cdot D \cdot r)^2}}$	0.138	0.054	1.154		< 1.5 untuk vertikal	OK
	Displacement (A) (inch)	$M \cdot (Qo/k)$	0.0000395	0.0000365	0.0000450	0.00000543	0.0000057	OK
11	Kategori		Barely Noticeable to Person	No Fouls	Barely Noticeable to Person	No Fouls	Vertical dan Rocking < Troublesome to Person	OK
	Velocity (v) (inch/sec)	$2\pi \cdot Q_{mesin} \cdot A$	0.012	0.011	0.014	0.019	0.002	
12	Keduaan Mesin		Barely Noticeable to Person	Smooth	Barely Noticeable to Person	Smooth	< Good	OK
13	Deckman (K)	Tabel 2.13	0.201	0.093	0.229	0.276	0.014	< Affected but Still Possible

Tabel 4.9 Rekapitulasi analisa dinamis pondasi kelompok 4 mesin

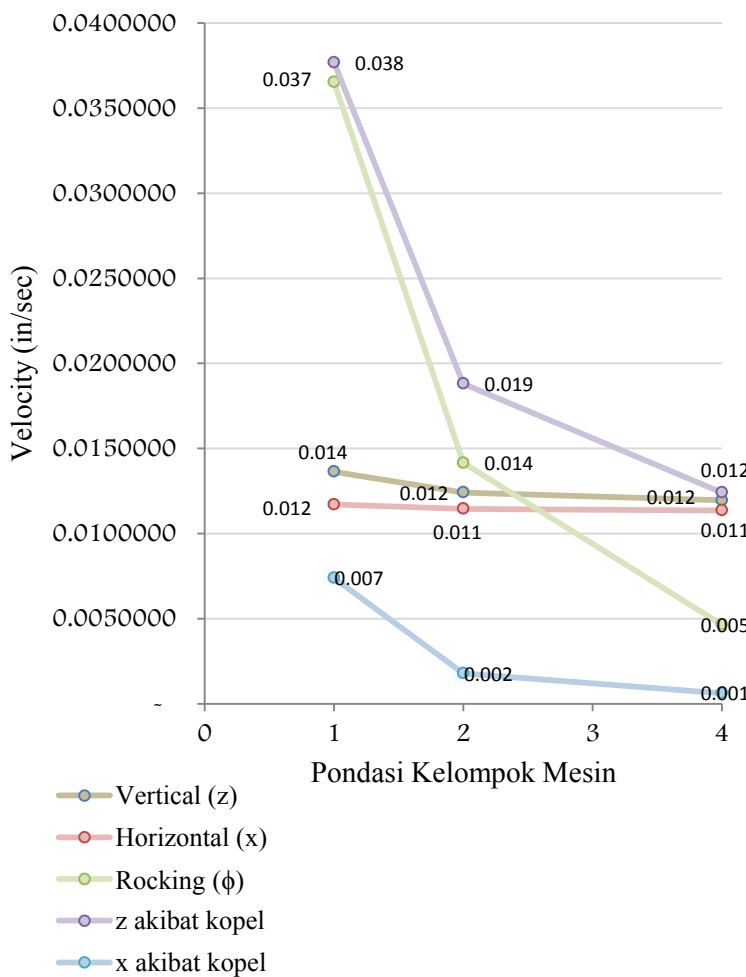
No.	Parameter	Referensi	Pondasi Kelompok				Kontrol	KET.
			Vertical (z)	Horizontal (x)	Rocking (θ)	Kopel Rocking-Horizontal (xθ)		
1	Daya dukung statis (ton)			7.217			< 50% Q $\bar{J}m = 7.5$ ton	OK
2	Daya dukung statis-dinamis (ton)			8.059			< 75% Q $\bar{J}m = 11.3$ ton	OK
3	Dampang aslo (D)	$D = \frac{c}{2\sqrt{k - m\omega^2}}$	0.129	0.263	0.36			
4	Frekuensi mesin (f) (cps)	$f_{res} = \frac{1}{2\pi}\sqrt{\frac{k}{m}}$	14.028	8.992	260.985			
5	Frekuensi natural (f_n) (f_{res}) (cps)		13.791	8.346	imajiner			
6	Frekuensi resonansi f_{res} (cps)	$f_{res} = f_n \cdot \sqrt{1 - 2 \cdot D^2}$						
7	Frekuensi ratio ('r')	f_{mesin} / f_n	3.564	5.561	0.192			
8	Transmissibility factor (Tr)	$\frac{\sqrt{1 + (2 \cdot D \cdot r)^2}}{\sqrt{(1 - r^2)^2 + (2 \cdot D \cdot r)^2}}$	0.116	0.103	1.035			
9	Transmited force (Ft) (ton)	$F_t = Tr \cdot Q_o$	0.284	0.252	2.539			
10	Pembesaran dinamis (M)	$\frac{1}{\sqrt{(1 - r^2)^2 + (2 \cdot D \cdot r)^2}}$	0.085	0.033	0.996		< 1.5 untuk vertikal	OK
11	Displacement response (A) (inch)	$M \cdot (Q_o/k)$	0.0000381	0.0000362	0.0000148	0.00000395	0.00000020	Verifikasi dan Rocking < Troublesome to Person
12	Kategori	Barely Noticeable to Person	No Foulls	Barely Noticeable to Person	Barely Noticeable to Person	No Foulls		OK
	Velocity (v) (inch/sec)	$2\pi \cdot \omega_{mesin} \cdot A$	0.012	0.011	0.005	0.012	0.0006	Horizontal < Foulty
	Keadaan Mesin		Smooth	Noticeable to Person	Noticeable to Person	Very Smooth	< Good	OK
13	Dieckman (K)	Table 2.13	0.193	0.092	0.075	0.201	0.005	< Affected but Still Possible
	Kategori		Not Affected	Not Affected	Not Affected	Not Affected		OK



Grafik 4.2 Rekapitulasi Nilai Amplitudo

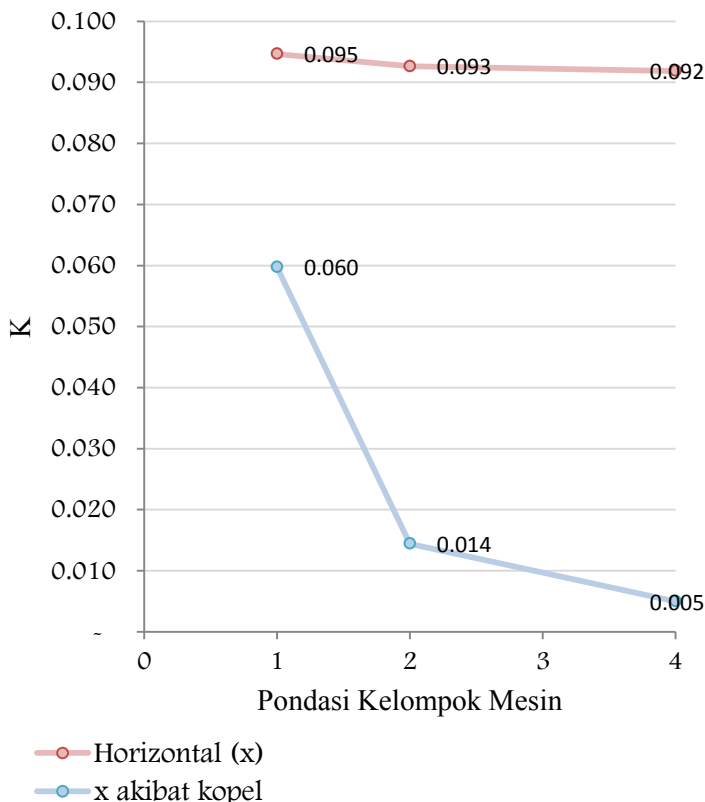
Grafik 4.2 menggambarkan amplitudo yang terjadi akibat dari masing-masing gaya untuk pondasi kelompok satu mesin, pondasi kelompok dua mesin dan pondasi kelompok empat mesin. Dari grafik tersebut diketahui bahwa amplitudo semakin

berkurang bersamaan dengan semakin banyaknya mesin yang dikelompokkan dalam satu pondasi. Sehingga getaran yang ditimbulkan tidak mengganggu manusia di sekitarnya.



Grafik 4.3 Rekapitulasi Nilai Velocity

Grafik 4.3 menggambarkan kecepatan/velocity yang terjadi akibat dari masing-masing gaya untuk pondasi kelompok satu mesin, pondasi kelompok dua mesin dan pondasi kelompok empat mesin. Dari grafik tersebut diketahui bahwa kecepatan rambat mesin semakin berkurang bersamaan dengan semakin banyaknya mesin yang dikelompokkan dalam satu pondasi. Sehingga keadaan mesin masih dikategorikan di bawah “*GOOD*” atau aman untuk di operasikan dan tidak mengganggu manusia.



Grafik 4.4 Rekapitulasi Nilai K

Grafik 4.4 menggambarkan nilai K Dieckmann yang terjadi akibat dari masing-masing gaya horizontal untuk pondasi kelompok satu mesin, pondasi kelompok dua mesin dan pondasi kelompok empat mesin. Dari grafik tersebut diketahui bahwa nilai K semakin kecil bersamaan dengan semakin banyaknya mesin yang dikelompokkan dalam satu pondasi. Sehingga keadaan mesin masih dibawah kategori “*Affected but still possible*” dengan kata lain mesin tidak menimbulkan dampak kerusakan pada bangunan disekitarnya dan juga tidak mengganggu manusia disekitarnya.

Berdasarkan ketiga grafik tersebut, dapat disimpulkan bahwa nilai Amplitudo, *Velocity* dan nilai K Dieckmann akan semakin stabil pada kelompok mesin yang lebih banyak. Namun hal ini juga harus mempertimbangkan kepada fungsi mesin *compressore*, dimana perencanaan ini dilakukan dengan syarat mesin yang bekerja secara serentak, yang artinya jika salah satu mesin rusak maka mesin lainnya yang berada dalam satu kelompok pondasi harus dihentikan (berhenti beroperasi). Oleh karena itu, perencanaan ini atau kelompok mesin yang lebih besar dalam satu pondasi dapat diterapkan jika perusahaan pengguna menyetujui syarat awal perencanaan.

4.7 Analisa Biaya

4.7.1 Penulangan Pile Cap Tiang Ukuran 20cm x 20cm

a. Pondasi tiang kelompok 1 mesin

Data perencanaan:

- Panjang pile cap = 7,5 m
- Lebar pile cap = 3,2 m
- Tebalpile cap = 1,0 m
- Diameter tulangan rencana = 22 mm
- A_s' = 380,133 mm²
- Mutu baja = 350 MPa
- Mutu beton = 22,5 MPa
- β_1 = 0,85
- Selimut beton = 50 mm
- $d_x = 1000 - 50 - 0,5(22) - 22 = 917$ mm
- b = 1000 mm
- P_{maks} = 5,022 ton
- g = 9,81 m/dt²
- L = 1,0 m

Perhitungan ρ pakai :

$$\rho_{min} = \frac{1,4}{f_y} = \frac{1,4}{350} = 0,004$$

$$\begin{aligned}\rho_b &= \frac{0,85 f_c}{f_y} \beta_1 \left(\frac{600}{600 + f_y} \right) \\ &= \frac{0,85 \cdot 22,5}{350} \cdot 0,85 \left(\frac{600}{600 + 350} \right) = 0,029\end{aligned}$$

$$m = \frac{f_y}{0,85 \cdot f_c'} = \frac{350}{0,85 \cdot 22,5} = 18,301$$

$$\begin{aligned}
 Mu &= P_{max} \cdot L \\
 &= 5,022 \cdot 1,0 \\
 &= 5,022 \text{ tm} \\
 &= 4,927 \cdot 10^7 \text{ Nmm} \\
 R_n &= \frac{Mu}{\phi \cdot b \cdot d x^2} = \frac{4,927 \cdot 10^7}{0,85 \cdot 1000 \cdot 917^2} = 0,069 \text{ MPa} \\
 \rho_{perlu} &= \frac{1}{m} \left(1 - \sqrt{1 - \frac{2 \cdot m \cdot R_n}{f_y}} \right) \\
 &= \frac{1}{18,301} \left(1 - \sqrt{1 - \frac{2 \cdot 18,301 \cdot 0,069}{350}} \right) = 0,0002 \\
 \text{dipakai } \rho_{min} &= 0,004 \\
 As_{perlu} &= \rho \cdot b \cdot d \\
 &= 0,004 \cdot 1000 \cdot 917 \\
 &= 3,668,0 \text{ mm}^2
 \end{aligned}$$

Jumlah tulangan per m' :

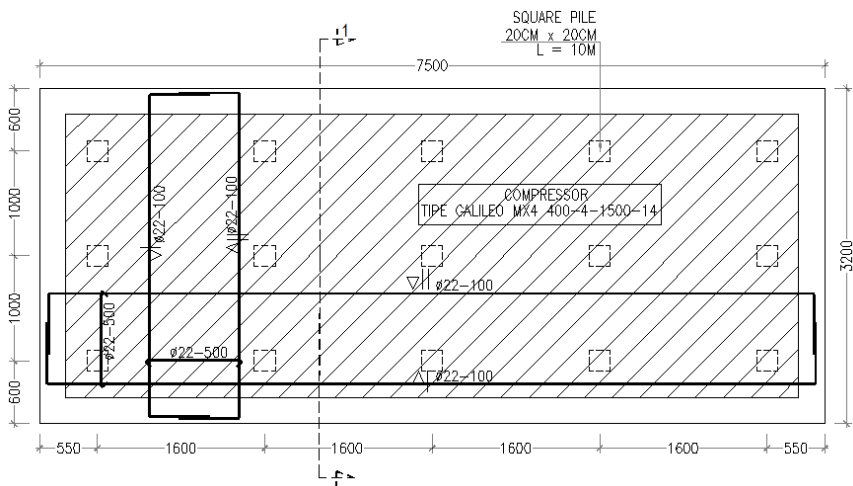
$$\begin{aligned}
 n &= \frac{As_{perlu}}{As} = \frac{3,668,0}{380,133} = 9,65 \text{ unit} \approx 10 \text{ unit} \\
 \text{Jarak} &= \frac{b}{(n-1)} = \frac{1000}{(10-1)} = 111,111 \text{ mm} \approx 100 \text{ mm}
 \end{aligned}$$

Digunakan tulangan Ø 22 – 100mm

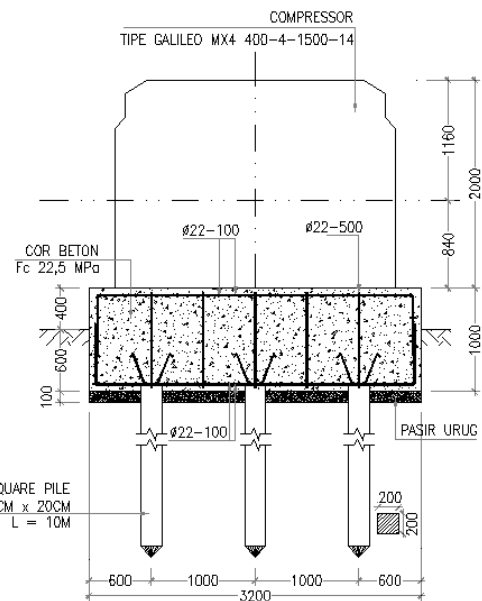
Kontrol:

$As' \cdot n > As_{perlu}$

$$380,133 \cdot 10 = 3,801,33 \text{ mm}^2 > 3,668,0 \text{ mm}^2 \dots \text{OK}$$



Gambar 4.13 Denah pondasi untuk pondasi kelompok 1 mesin



Gambar 4.14 Potongan 1-1

b. Pondasi tiang kelompok 2 mesin

Data perencanaan:

- Panjang pile cap = 7,5 m
- Lebar pile cap = 6,3 m
- Tebalpile cap = 1,0 m
- Diameter tulangan rencana = 22 mm
- A_s' = 380,133 mm²
- Mutu baja = 350 MPa
- Mutu beton = 22,5 MPa
- β_1 = 0,85
- Selimut beton = 50 mm
- $d_x = 1000 - 50 - 0,5(22) - 22 = 917$ mm
- b = 1000 mm
- P_{maks} = 7,502 ton
- g = 9,81 m/dt²
- L = 2,4 m

Perhitungan ρ pakai :

$$\rho_{min} = \frac{1,4}{f_y} = \frac{1,4}{350} = 0,004$$

$$\begin{aligned}\rho_b &= \frac{0,85 f_c}{f_y} \beta_1 \left(\frac{600}{600 + f_y} \right) \\ &= \frac{0,85 \cdot 22,5}{350} \cdot 0,85 \cdot \left(\frac{600}{600 + 350} \right) = 0,029\end{aligned}$$

$$m = \frac{f_y}{0,85 \cdot f_c'} = \frac{350}{0,85 \cdot 22,5} = 18,301$$

$$\begin{aligned}M_u &= P_{max} \cdot L \\ &= 7,502 \cdot 2,4 \\ &= 18,004 \text{ tm} \\ &= 17,662 \cdot 10^7 \text{ Nmm}\end{aligned}$$

$$R_n = \frac{Mu}{\phi \cdot b \cdot dx^2} = \frac{17,662 \cdot 10^7}{0,85 \cdot 1000 \cdot 917^2} = 0,247 \text{ MPa}$$

$$\rho_{\text{perlu}} = \frac{1}{m} \left(1 - \sqrt{1 - \frac{2 \cdot m \cdot R_n}{f_y}} \right)$$

$$= \frac{1}{18,301} \left(1 - \sqrt{1 - \frac{2 \cdot 18,301 \cdot 0,247}{350}} \right) = 0,0007$$

$$\text{dipakai } \rho_{\text{min}} = 0,004$$

$$\begin{aligned} As_{\text{perlu}} &= \rho \cdot b \cdot d \\ &= 0,004 \cdot 1000 \cdot 917 \\ &= 3.668,0 \text{ mm}^2 \end{aligned}$$

Jumlah tulangan per m':

$$n = \frac{As_{\text{perlu}}}{As} = \frac{3.668,0}{380,133} = 9,65 \text{ unit} \approx 10 \text{ unit}$$

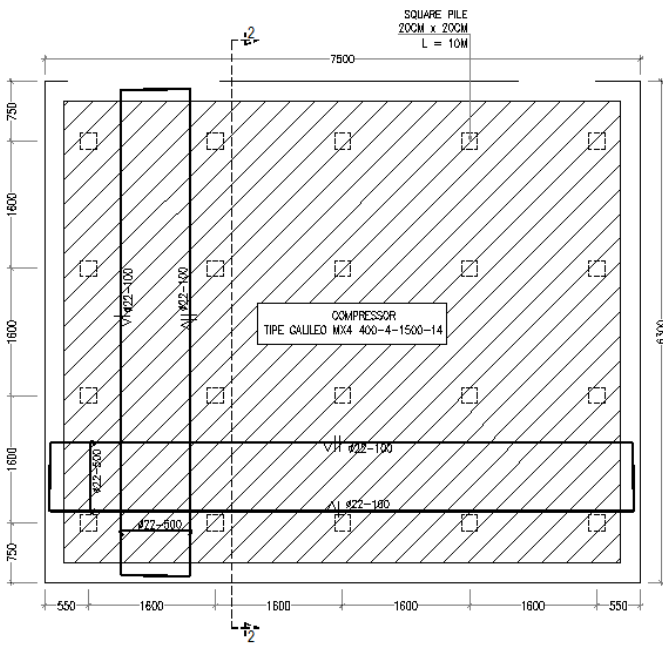
$$\text{Jarak} = \frac{b}{(n-1)} = \frac{1000}{(10-1)} = 111,111 \text{ mm} \approx 100 \text{ mm}$$

Digunakan tulangan $\varnothing 22 - 100\text{mm}$

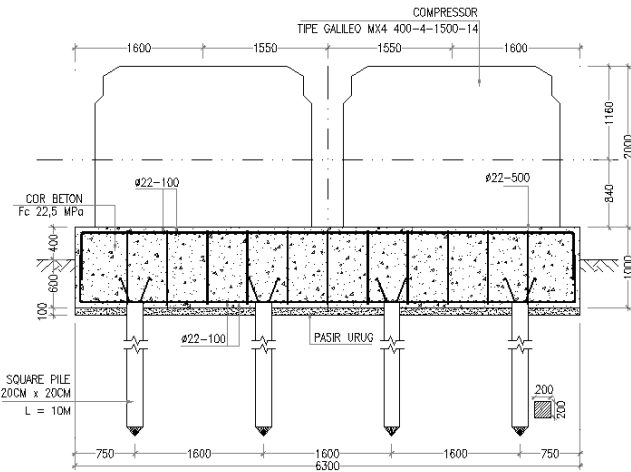
Kontrol:

$As' \cdot n > As_{\text{perlu}}$

$$380,133 \cdot 10 = 3.801,33 \text{ mm}^2 > 3.668,0 \text{ mm}^2 \dots \text{OK}$$



Gambar 4.15 Denah pondasi untuk pondasi kelompok 2 mesin



Gambar 4.16 Potongan 2-2

c. Pondasi tiang kelompok 4 mesin

Data perencanaan:

- Panjang pile cap = 7,5 m
- Lebar pile cap = 12,5 m
- Tebalpile cap = 1,0 m
- Diameter tulangan rencana = 22 mm
- A_s' = 380,133 mm²
- Mutu baja = 350 MPa
- Mutu beton = 22,5 MPa
- β_1 = 0,85
- Selimut beton = 50 mm
- $d_x = 1000 - 50 - 0,5(22) - 22 = 917$ mm
- b = 1000 mm
- P_{maks} = 8,059 ton
- g = 9,81 m/dt²
- L = 5,6 m

Perhitungan ρ pakai :

$$\begin{aligned}\rho_{min} &= \frac{1,4}{f_y} = \frac{1,4}{350} = 0,004 \\ \rho_b &= \frac{0,85 f_c}{f_y} \beta_1 \left(\frac{600}{600 + f_y} \right) \\ &= \frac{0,85 \cdot 22,5}{350} \cdot 0,85 \left(\frac{600}{600 + 350} \right) = 0,029 \\ m &= \frac{f_y}{0,85 \cdot f_c} = \frac{350}{0,85 \cdot 22,5} = 18,301 \\ Mu &= P_{max} \cdot L \\ &= 8,059 \cdot 5,6 \\ &= 45,129 \text{ tm} \\ &= 44,272 \cdot 10^7 \text{ Nmm}\end{aligned}$$

$$\begin{aligned}
 R_n &= \frac{Mu}{\phi \cdot b \cdot d x^2} = \frac{44,272 \cdot 10^7}{0,85 \cdot 1000 \cdot 917^2} = 0,619 \text{ MPa} \\
 \rho_{\text{perlu}} &= \frac{1}{m} \left(1 - \sqrt{1 - \frac{2 \cdot m \cdot R_n}{f_y}} \right) \\
 &= \frac{1}{18,301} \left(1 - \sqrt{1 - \frac{2.18,301 \cdot 0,619}{350}} \right) = 0,0017
 \end{aligned}$$

$$\begin{aligned}
 \text{dipakai } \rho_{\text{min}} &= 0,004 \\
 A_s \text{ perlu} &= \rho \cdot b \cdot d \\
 &= 0,004 \cdot 1000 \cdot 917 \\
 &= 3.668,0 \text{ mm}^2
 \end{aligned}$$

Jumlah tulangan per m²:

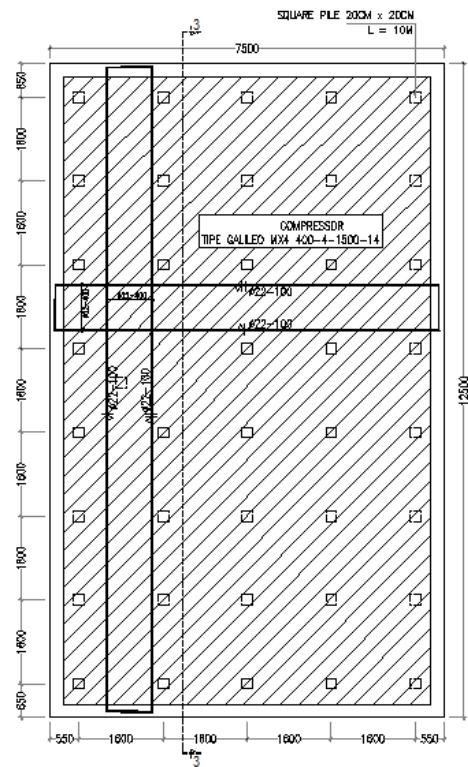
$$n = \frac{A_s \text{ perlu}}{A_s} = \frac{3.668,0}{380,133} = 9,65 \text{ unit} \approx 10 \text{ unit}$$

$$\text{Jarak} = \frac{b}{(n-1)} = \frac{1000}{(10-1)} = 111,111 \text{ mm} \approx 100 \text{ mm}$$

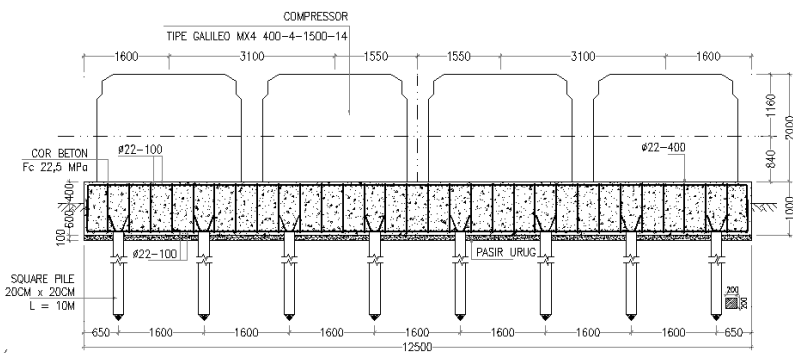
Digunakan tulangan Ø 22 – 100mm

Kontrol:

$$\begin{aligned}
 A_s' \cdot n &> A_s \text{ perlu} \\
 380,133 \cdot 10 &= 3.801,33 \text{ mm}^2 > 3.668,0 \text{ mm}^2
 \end{aligned}$$



Gambar 4.17 Denah pondasi untuk pondasi kelompok 4 mesin



Gambar 4.18 Potongan 3-3

4.7.2 Harga Satuan Kerja

Harga satuan kerja berdasarkan harga satuan upah/material/alat yang tercantum pada lembar HSPK wilayah Surabaya.

Tabel 4.10 Harga satuan kerja

NO	ITEM	HARGA	SATUAN
A	UPAH		
1	Surveyor Geodesi	150,000	OH
2	Mandor	150,000	OH
3	Kepala tukang kayu	120,000	OH
4	Kepala Tukang Cat	120,000	OH
5	Kepala Tukang Batu	120,000	OH
6	Kepala Tukang Besi	120,000	OH
7	Tukang Cat	95,000	OH
8	Tukang Besi	95,000	OH
9	Tukang kayu	95,000	OH
10	Tukang batu	95,000	OH
11	Tukang	95,000	OH
12	Pekerja/ Buruh Tak Terampil	75,000	OH
B	BAHAN		
1	Semen portland (40kg)	60,200	Zak
2	Semen PC (Portland Cement) 50 kg	63,100	Zak
3	Pasir Urug	135,400	m³
4	Pasir Pasang	170,700	m³
5	Pasir Beton	232,100	m³
6	Batu Pecah mesin 2/3	247,200	m³
7	Batu Pecah Mesin 1/2 cm	329,600	m³
8	Kawat Beton	17,700	kg
9	Dolken Kayu Gelam 8-10/400cm	8,100	Batang
10	Kayu Meranti Kaso 5/7	4,280,000	m³
11	Kayu Meranti (bekisting)	2,214,900	m³

Tabel 4.10 Harga satuan kerja *lanjutan..*

NO	ITEM	HARGA	SATUAN
12	Kayu Meranti (Usuk 4/6)	4,280,000	m ³
13	Kayu Meranti Kaso 5/7	4,280,000	m ³
14	Paku biasa 2" - 5"	25,900	kg
15	Paku Asbes	116,000	kg
16	Air (biaya air tawar)	27	Liter
17	OKA Class "MS" Piles 200x200 mm	200,000	m'
18	Besi Beton (ulir) dia 22mm	10,000	kg
19	Besi Plat strip	21,200	kg
20	Bata merah (kelas 1)	800	bah
21	Batu Bata Merah uk 22 x 11 x 4.5 cm	800	bah
22	Waterproofing	80,200	kg
23	Serat Fiber	10,200	m ²
24	Kaca Polos tbl 3 mm	95,400	m ²
25	Kunci Tanam	66,600	bah
26	Lapis triplek 0.4 cm	68,600	lembar
27	Gel. BJLS 30 uk. (80cmx180cm)	56,500	Lembar
28	Seng Gelombang Uk. (0,8 x 1,50)	56,500	Lembar
29	Cat Meni Besi	56,500	kg
C	PERALATAN		
1	Sewa Theodolit	352,300	Hari
2	Sewa Dump Truck 5 T (min 5 jam)	66,100	Hour
3	Sewa Crane 30 ton - min. 8 jam (termasuk mob/demob, operator, BBM)	139,800	Hour
4	Sewa Hammer tiang pancang - min. 8 jam(termasuk mob/demob, operator, BBM)	188,100	Hour
5	Sewa Escavator 6 m3	132,200	Hour
6	Sewa Concrete Vibrator	15,000	Hour

4.7.3 Harga Satuan Pokok Kegiatan

Harga satuan pokok kegiatan dihitung berdasarkan harga satuan upah, material dan alat di wilayah kota Surabaya.

Tabel 4.11 Harga satuan pokok kegiatan

24.01.01.05 Uitzet Dengan WaterPass / Theodolit ■2					
Upah:					
23.01.02.01.43.F	Surveyor Geodesi	0.0067	O.H	150,000	1,000
23.02.04.01.04.F	Pekerja/ Buruh Tak Terampil	0.0133	O.H	75,000	1,000
					Jumlah: 2,000
Sewa Peralatan:					
23.02.05.12.04.01.F	Sewa Theodolit	0.0067	hari	352,300	2,343
					Jumlah: 2,343
					Nilai HSPK : 4,349
24.01.01.04 Pembersihan Lapangan "Berat" dan Perataan ■2					
Upah:					
23.02.04.01.01.F	Mandor	0.0500	O.H	150,000	7,500
23.02.04.01.04.F	Pekerja/ Buruh Tak Terampil	0.1000	O.H	75,000	7,500
					Jumlah: 15,000
					Nilai HSPK : 15,000
24.01.01.10 Pembuatan Direksi Kit ■2					
Upah:					
23.02.04.01.01.F	Mandor	0.0500	O.H	150,000	7,500
23.02.04.01.02.F	Kepala tukang kayu	0.3000	O.H	120,000	36,000
23.02.04.01.03.F	Tukang kayu	2.0000	O.H	35,000	180,000
23.02.04.01.03.F	Tukang batu	1.0000	O.H	35,000	35,000
23.02.04.01.04.F	Pekerja/ Buruh Tak Terampil	2.0000	O.H	75,000	150,000
					Jumlah: 478,500
Bahan:					
20.01.01.43.05.01.F	Dollen Kayu Gelam 8-10/400cm	1.2500	Batang	8,100	10,125
20.01.01.43.04.03.F	Kayu Meranti Koco 5/7	0.1800	m3	4,280,000	770,400
20.01.01.28.04.05.F	Paku biasa 2" - 5"	0.8500	kg	25,900	22,015
20.01.01.11.01.F	Besi Plat strip	1.1000	kg	21,200	23,320
20.01.01.02.02.F	Semen PC (Portland Cement) 50 kg	0.7000	ask	63,100	44,170
20.01.01.04.03.F	Pasir pasang	0.1500	m3	170,700	25,605
20.01.01.04.04.F	Pasir Beton	0.1000	m3	232,100	23,210
20.01.01.05.04.02.F	Batu Pecah mesin 2/3	0.1500	m3	247,200	37,080
20.01.01.05.06.01.F	Batu merah (kelabu 1)	30.0000	bush	800	24,000
20.01.01.07.02.01.F	Gel. BJLS 30 uk. (80cmx180cm)	0.2500	lembar	56,500	14,125
20.01.01.03.02.02.F	Kaca Polos tgl 3 mm	0.0800	m2	35,400	7,632
20.01.01.25.01.F	Kunci Tanam	0.1500	bush	66,600	9,930
20.01.01.34.01.F	Lapis triplek 0,4 cm	0.0600	lembar	68,600	4,116
					Jumlah: 1,015,788
					Nilai HSPK : 1,434,288
24.01.01.01 Pembuatan Boneplank Titik Titik					
Upah:					
23.02.04.01.01.F	Mandor	0.0045	O.H	150,000	675
23.02.04.01.02.F	Kepala Tukang Kayu	0.0100	O.H	120,000	1,200
23.02.04.01.03.F	Tukang Kayu	0.1000	O.H	35,000	3,500
23.02.04.01.04.F	Pekerja/ Buruh Tak Terampil	0.1000	O.H	75,000	7,500
					Jumlah: 18,875
Bahan/Material:					
20.01.01.43.04.05.F	Kayu Meranti (bekisting)	0.0080	m3	2,214,900	17,719
20.01.01.43.04.03.F	Kayu Meranti (Ukuj 4/6)	0.0120	m3	4,280,000	51,360
20.01.01.28.04.05.F	Paku biasa 2" - 5"	0.0500	Kg	25,900	1,295
					Jumlah: 70,374
					Nilai HSPK : 89,249

Tabel 4.11 Harga satuan pokok kegiatan *lanjutan...*

24.01.01.11	Pembuatan pagar sementara seng gelombang tinggi 2 m	m1			
Upah:					
23.02.04.01.01.F	Mandor	0.0200	O.H	150,000	3,000
23.02.04.01.02.F	Kepala tukang kayu	0.0200	O.H	120,000	2,400
23.02.04.01.03.F	Tukang kayu	0.2000	O.H	95,000	19,000
23.02.04.01.04.F	Pekerja/Buruh Tsk Terampil	0.4000	O.H	75,000	30,000
				Jumlah:	54.400
Bahan:					
20.01.01.43.05.01.F	Dolken Kayu Gelam 8- 10/400cm	1.2500	batang	8,100	10,125
20.01.01.02.02.F	Semen PC (Portland Cement) 50 kg	0.0500	zak	63,100	3,155
20.01.01.07.02.01.F	Seng Gelombang Uk. (0,8 x 1,	1.2000	lembar	56,500	67,800
20.01.01.04.04.F	Pasir beton	0.0050	m3	232,100	1,161
20.01.01.05.04.02.F	Batu Pecah Mesin 2/3	0.0090	m3	247,200	2,225
20.01.01.43.04.03.F	Kayu Meranti Kaso 5/7	0.0720	m3	4,280,000	308,160
20.01.01.25.02.F	Paku Asbes	0.0600	kg	116,000	6,360
20.01.01.06.01.02.F	Cat Meni Besi	0.4500	Kg	56,500	25,425
				Jumlah:	425,010
				Nilai HSPK :	479,410
24.01.02.12	Penggalian Tanah dengan Alat Berat	m3			
Upah:					
23.02.04.01.01.F	Mandor	0.0070	O.H	150,000	1,050
23.02.04.01.04.F	Pekerja/Buruh Tsk Terampil	0.2260	O.H	75,000	16,350
				Jumlah:	18,000
Sewa Peralatan:					
23.02.05.09.04.04.F	Sewa Dump Truck 5 T (min 5 jam)	0.0670	Jam	66,100	4,423
23.02.05.11.01.01.F	Sewa Escavator 6 m3	0.0670	Jam	132,200	8,857
				Jumlah:	13,286
				Nilai HSPK :	31,286
24.02.01.25	Pemancangan Tiang Pancang m1 (z 200m)	m1			
Upah:					
23.02.04.01.01.F	Mandor	0.1250	O.H	150,000	18,750
				Jumlah:	18,750
Bahan:					
22.01.01.03.05.01.F	OKA Class "MS" Piles 200x200 mm	1.0000	m	200,000	200,000
				Jumlah:	200,000
Sewa Peralatan:					
23.02.05.11.03.01.F	Sewa Crane 30 ton - min. 8 jam (termasuk mob/demob, operator, BBM)	0.2180	Jam	139,800	30,476
23.02.05.11.10.01.F	Sewa Hammer tiang pancang - min. 8 jam (termasuk mob/demob, operator, BBM)	0.2180	Jam	188,100	41,006
				Jumlah:	71,482
				Nilai HSPK :	290,232

Tabel 4.11 Harga satuan pokok kegiatan *lanjutan...*

24.01.02.15	Pengerukan Pasir (PADAT)	m³			
Upah:					
23.02.04.01.01.F	Mandor	0.0100	O.H	150,000	1,500
23.02.04.01.04.F	Pekerja/Buruh Tsk Terampil	0.3000	O.H	75,000	22,500
				Jumlah:	24,000
Bahan:					
20.01.01.04.01.F	Pasir Urug	1.2000	m ³	135,400	162,480
				Jumlah:	162,480
				Nilai HSPK :	166,480
BEKISTING PONDASI					
Pemasangan Dinding					
24.04.01.01	Bata Merah 1 Pcs : 2 Pp tebal 1 bata	m²			
Upah:					
23.02.04.01.01.F	Mandor	0.0300	O.H	150,000	4,500
23.02.04.01.02.F	Kepala Tukang Batu	0.0200	O.H	120,000	2,400
23.02.04.01.03.F	Tukang Batu	0.2000	O.H	35,000	7,000
23.02.04.01.04.F	Pekerja/Buruh Tsk Terampil	0.6000	O.H	75,000	45,000
				Jumlah:	70,900
Bahan:					
20.01.01.02.02.F	Semen PC (Portland Cement) 50 kg	0.8700	Zak	63,100	54,897
20.01.01.04.03.F	Pasir Pasang	0.0800	m ³	170,700	13,656
20.01.01.05.06.01.F	Batu Bata Merah uk 22 x 11 x 4.5 cm	140.0000	Bush	800	112,000
				Jumlah:	180,553
				Nilai HSPK :	251,453
24.03.01.09	Pekerjaan Beton K-275	m³			
Upah:					
23.02.04.01.01.F	Mandor	0.0830	O.H	150,000	12,450
23.02.04.01.02.F	Kepala Tukang Batu	0.0280	O.H	120,000	3,360
23.02.04.01.03.F	Tukang batu	0.2750	O.H	35,000	26,125
23.02.04.01.04.F	Pekerja/Buruh Tsk Terampil	1.6500	O.H	75,000	123,750
				Jumlah:	165,685
Bahan:					
20.01.01.02.01.F	Semen PC (Portland Cement) 50 kg	10.1500	Zak	63,100	640,465
20.01.01.04.04.F	Pasir Beton	0.4275	m ³	232,100	93,223
20.01.01.05.04.01.F	Batu Pecah Mesin 1/2 cm	0.5400	m ³	323,600	177,384
23.02.02.02.01.F	Air (biaya air tawar)	215.0000	Liter	27	5,805
				Jumlah:	923,477
				Nilai HSPK :	1,089,162
24.03.01.14	Pekerjaan Pembesian dengan besi beton (polos/tulir)	kg			
Upah:					
23.02.04.01.01.F	Mandor	0.0004	O.H	150,000	60
23.02.04.01.02.F	Kepala Tukang Besi	0.0007	O.H	120,000	84
23.02.04.01.03.F	Tukang Besi	0.0070	O.H	35,000	665
23.02.04.01.04.F	Pekerja/Buruh Tsk Terampil	0.0070	O.H	75,000	525
				Jumlah:	1,334
Bahan:					
20.01.01.09.01.01.F	Besi Beton (tulir) dia 22mm	1.0500	Kg	10,000	10,500
20.01.01.35.02.01.F	Kawat Beton	0.0150	Kg	17,700	266
				Jumlah:	10,766
				Nilai HSPK :	12,100

Tabel 4.11 Harga satuan pokok kegiatan *lanjutan...*

24.04.01.21	Pekerjaan Acian	m²			
Upah:					
23.02.04.01.01.F	Mandor	0.0100	O.H	150,000	1,500
23.02.04.01.02.F	Kepala Tukang Batu	0.0100	O.H	120,000	1,200
23.02.04.01.03.F	Tukang Batu	0.1000	O.H	95,000	9,500
23.02.04.01.04.F	Pekerja/ Buruh Tak Terampil	0.2000	O.H	75,000	15,000
				Jumlah:	27,200
Bahan:					
20.01.01.02.02.F	Semen PC (Portland Cement) 50 kg	0.0650	Zak	63,100	4,102
				Jumlah:	4,102
				Nilai HSPK :	31,302
24.04.02.17	Pelapisan Waterproofing	m²			
Upah:					
23.02.04.01.01.F	Mandor	0.0025	O.H	150,000	375
23.02.04.01.02.F	Kepala Tukang Cat	0.0075	O.H	120,000	900
23.02.04.01.03.F	Tukang Cat	0.0750	O.H	95,000	7,125
23.02.04.01.04.F	Pekerja/ Buruh Tak Terampil	0.0500	O.H	75,000	3,750
				Jumlah:	12,150
Bahan:					
20.01.01.06.05.01.F	Waterproofing	0.3500	Kg	80,200	28,070
20.01.01.06.05.02.F	Serat Fiber	1.0000	m ²	10,200	10,200
				Jumlah:	38,270
				Nilai HSPK :	50,420
24.01.02.06	Pengangkutan Tanah keluar Projek	m³			
Upah:					
23.02.04.01.04.F	Pekerja/ Buruh Tak Terampil	0.2500	O.H	75,000	18,750
				Jumlah:	18,750
Sewa Peralatan:					
23.02.05.09.04.04.F	Sewa Dump Truck 5 T (min 5 jam)	0.2500	Jam	66,100	16,525
				Jumlah:	16,525
				Nilai HSPK :	35,275

4.7.4 Rencana Anggaran Biaya

Berikut rencana anggaran biaya pekerjaan pondasi mesin *compressor*:

- Pondasi kelompok 1 mesin

Tabel 4.12 Rencana anggaran biaya untuk pekerjaan pondasi kelompok 1 mesin

NO	URAIAN PEKERJAAN	VOLUME	SATUAN	HARGA SATUAN (Rp.)	TOTAL (Rp.)
I PEKERJAAN PERSIAPAN					
1	Uitzet	48.45	m ²	4,348.67	210,692.90
2	Pembersihan lahan	49.4	m ²	15,000.00	741,000.00
3	Direksi kit	35	m ²	1,494,288.00	52,300,080.00
4	Pemasangan bouplank	20	unit	89,249.20	1,784,984.00
5	Pagar sementara seng gelombang h=2m	11.3875	m'	479,410.30	5,459,284.79
II PEKERJAAN TANAH					
1	Galian tanah (<i>pile cap</i>)	14.4	m ³	31,286.10	450,519.84
2	Pengangkutan Tanah keluar Proyek	14.4	m ³	35,275.00	507,960.00
3	Tiang pancang 20cm x 20cm (fc' 40 Mpa), temasuk sewa <i>crane</i> , operator, <i>hammer</i> tiang pancang, <i>mobile</i> dan <i>demobile</i> peralatan pancang	150	m'	290,232.20	43,534,830.00
4	Potong kepala tiang pancang	15	unit	35,000.00	525,000.00
III PEKERJAAN BEKISTING					
1	Bekisting <i>pile cap</i>	21.4	m ²	251,453.00	5,381,094.20
IV PEKERJAAN BETON					
1	Pekerjaan Beton (fc' 22,5 Mpa)	24	m ³	1,089,161.75	26,139,882.00
V PEKERJAAN PENULANGAN					
1	Tulangan D22-100mm	3,581.11	kg	12,099.50	43,329,633.40
VI FINISHING					
1	Pekerjaan aci (<i>exposed concrete</i>)	32.56	m ²	31,301.50	1,019,176.84
2	Pekerjaan pelapis water proofing (<i>exposed concrete</i>)	32.56	m ²	50,420.00	1,641,675.20
VII PEMBERSIHAN LAHAN					
		49.4	m ²	15,000.00	741,000.00
TOTAL PER UNIT					
					183,766,813.17
DIBULATKAN					
					183,767,000.00
TOTAL PEKERJAAN					
		16	unit	183,767,000.00	2,940,272,000.00

b. Pondasi kelompok 2 mesin

Tabel 4.13 Rencana anggaran biaya untuk pekerjaan pondasi kelompok 2 mesin

NO	URAIAN PEKERJAAN	VOLUME	SATUAN	HARGA SATUAN (Rp.)	TOTAL (Rp.)
I PEKERJAAN PERSIAPAN					
1	Uitzet	96.9	m ²	4,348.67	421,385.80
2	Pembersihan lahan	78.85	m ²	15,000.00	1,182,750.00
3	Direksi kit	35	m ²	1,494,288.00	52,300,080.00
4	Pemasangan bouplank	20	unit	89,249.20	1,784,984.00
5	Pagar sementara seng gelombang h=2m	22.775	m'	479,410.30	10,918,569.58
II PEKERJAAN TANAH					
1	Galian tanah (<i>pile cap</i>)	28.35	m ³	31,286.10	886,960.94
2	Pengangkutan Tanah keluar Proyek	28.35	m ³	35,275.00	1,000,046.25
3	Tiang pancang 20cm x 20cm (fc' 40 Mpa), tembusuk sewa <i>crane</i> , operator, <i>hammer</i> tiang pancang, <i>mobile</i> dan <i>demobile</i> peralatan pancang	200	m'	290,232.20	58,046,440.00
4	Potong kepala tiang pancang	20	unit	35,000.00	700,000.00
III PEKERJAAN BEKISTING					
1	Bekisting <i>piles cap</i>	27.6	m ²	251,453.00	6,940,102.80
IV PEKERJAAN BETON					
1	Pekerjaan Beton (fc' 22,5 Mpa)	47.25	m ³	1,089,161.75	51,462,892.69
V PEKERJAAN PENULANGAN					
1	Tulangan D22-100mm	6,563.30	kg	12,099.50	79,412,629.67
VI FINISHING					
1	Pekerjaan aci (<i>exposed concrete</i>)	58.29	m ²	31,301.50	1,824,564.44
2	Pekerjaan pengacatan (<i>exposed concrete</i>)	58.29	m ²	50,420.00	2,938,981.80
VII PEMBERSIHAN LAHAN					
		78.85	m ²	15,000.00	1,182,750.00
TOTAL PER UNIT					
					271,003,137.96
DIBULATKAN					
					271,004,000.00
TOTAL PEKERJAAN					
		8	unit	271,004,000.00	2,168,032,000.00

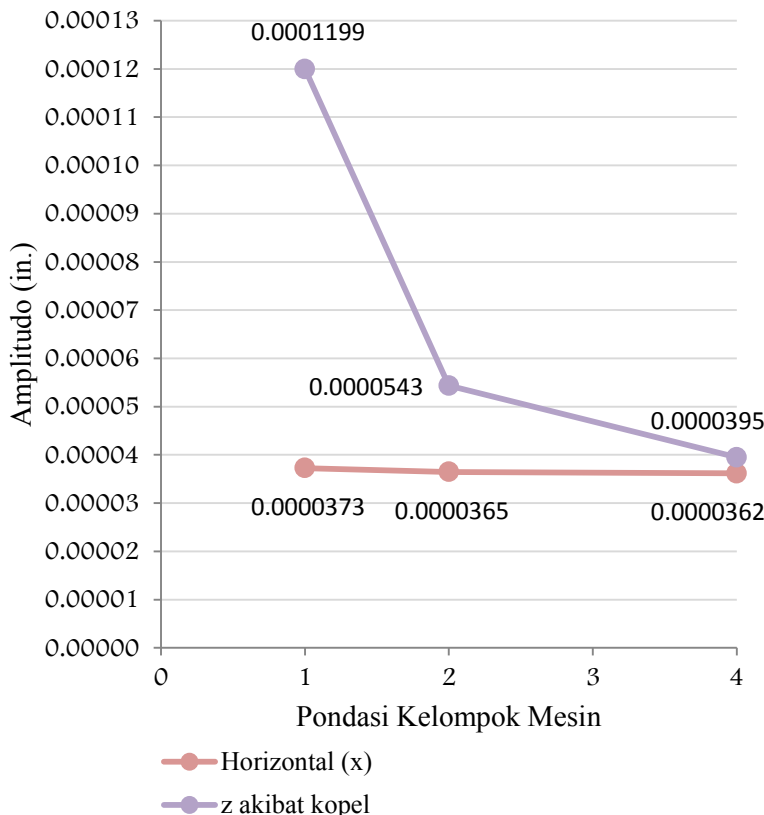
c. Pondasi kelompok 4 mesin

Tabel 4.14 Rencana anggaran biaya untuk pekerjaan pondasi kelompok 4 mesin

NO	URAIAN PEKERJAAN	VOLUME	SATUAN	HARGA SATUAN (Rp.)	TOTAL (Rp.)
I PEKERJAAN PERSIAPAN					
1	Uitzet	193.8	m ²	4,348.67	842,771.60
2	Pembersihan lahan	137.75	m ²	15,000.00	2,066,250.00
3	Direksi kit	35	m ²	1,494,288.00	52,300,080.00
4	Pemasangan bouplank	20	unit	89,249.20	1,784,984.00
5	Paga sementara seng gelombang h=2m	45.55	m'	479,410.30	21,837,139.17
II PEKERJAAN TANAH					
1	Galian tanah (<i>piles cap</i>)	56.25	m ³	31,286.10	1,759,843.13
2	Pengangkutan Tanah keluar Proyek	56.25	m ³	35,275.00	1,984,218.75
3	Tiang pancang 20cm x 20cm (fc' 40 Mpa), termasuk sewa <i>crane</i> , operator, <i>hammer</i> tiang pancang, <i>mobile</i> dan <i>demobile</i> peralatan pancang	400	m'	290,232.20	116,092,880.00
4	Potong kepala tiang pancang	40	unit	35,000.00	1,400,000.00
III PEKERJAAN BEKISTING					
1	Bekisting <i>pile cap</i>	40	m ²	251,453.00	10,058,120.00
IV PEKERJAAN BETON					
1	Pekerjaan Beton (fc' 22,5 Mpa)	93.75	m ³	1,089,161.75	102,108,914.06
V PEKERJAAN PENULANGAN					
1	Tulangan D22-100mm	12,527.68	kg	12,099.50	151,578,622.21
VI FINISHING					
1	Pekerjaan aci (<i>exposed concrete</i>)	109.75	m ²	31,301.50	3,435,339.63
2	Pekerjaan pengecatan (<i>exposed concrete</i>)	109.75	m ²	50,420.00	5,533,595.00
VII PEMBERSIHAN LAHAN					
		137.75	m ²	15,000.00	2,066,250.00
TOTAL PER UNIT					
DIBULATKAN					
TOTAL PEKERJAAN					
		4	unit	474,850,000.00	1,899,400,000.00

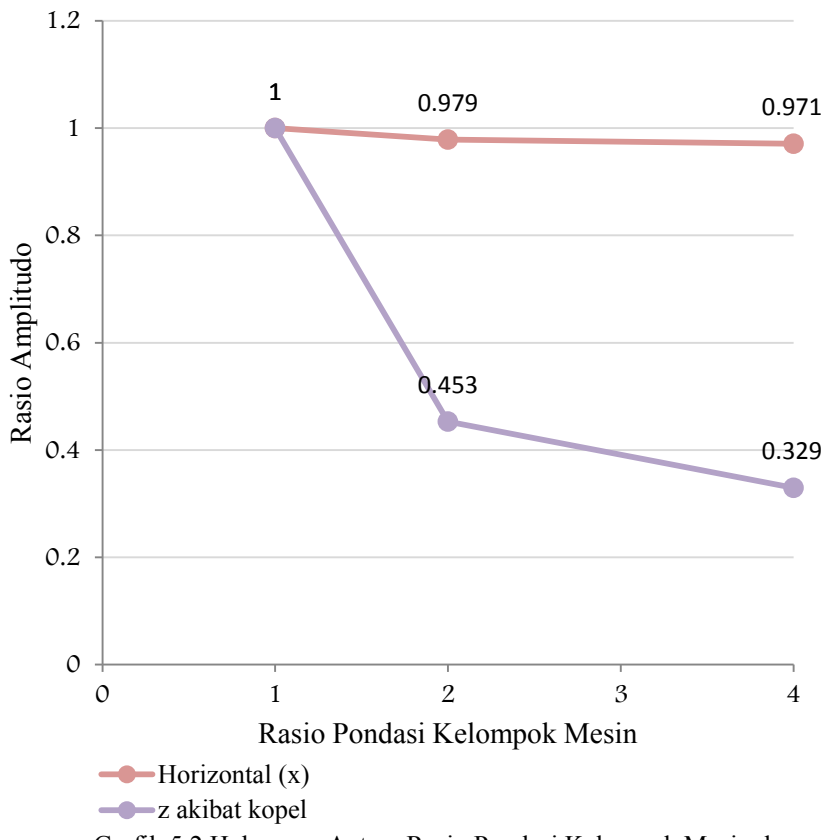
BAB V KESIMPULAN

Berdasarkan hasil analisa perencanaan pondasi *compressor*, maka nilai amplitudo yang paling mempengaruhi di tampilkan pada grafik sebagai berikut :



Grafik 5.1 Hubungan Antara Pondasi Kelompok Mesin dan Amplitudo

Rasio amplitudo ditampilkan pada grafik sebagai berikut:



Perbandingan rekapitulasi biaya pekerjaan untuk pekerjaan pondasi mesin compressor untuk ketiga alternatif disajikan dalam tabel 5.1 sebagai berikut:

Tabel 5.1 Perbandingan rekapitulasi biaya untuk pekerjaan pondasi kelompok mesin

NO	URAIAN PEKERJAAN	VOLUME	SATUAN	HARGA SATUAN (Rp.)	TOTAL (Rp.)
I	PEKERJAAN PONDASI KELOMPOK 1 MESIN	16	UNIT	183,767,000	2,940,272,000
II	PEKERJAAN PONDASI KELOMPOK 2 MESIN	8	UNIT	271,004,000	2,168,032,000
III	PEKERJAAN PONDASI KELOMPOK 4 MESIN	4	UNIT	474,850,000	1,899,400,000

Dari data tersebut, dapat disimpulkan sebagai berikut:

1. Semakin banyak mesin dikelompokkan ke dalam satu pondasi, maka nilai amplitudo semakin kecil atau rasio amplitudo berkang semakin besar.
2. Semakin banyak mesin dikelompokkan ke dalam satu pondasi, biaya pekerjaan yang dibutuhkan semakin kecil.
3. Dari hasil perencanaan untuk ketiga alternatif pondasi kelompok mesin, dengan kondisi yang ditentukan, maka didapatkan pondasi yang paling efisien diterapkan pada proyek Mesin Compressor CNG MARINE PT PJB UP Gresik, Jawa Timur adalah pondasi kelompok empat mesin.

“Halaman ini sengaja di kosongkan”

A. 5 . SUMMARY OF LABORATORY TEST RESULT

Borehole b	Shallow boring-1			Shallow boring-2			Shallow Boring-3			Deep Boring-1			Deep Boring-2		
Sample depth, m	2.00	4.00	1.00	3.00	1.00	2.00	8.50	14.50	22.50	0.50	10.50	18.50			
Coef of consolidation, cv (cm ² /s)	4.40E-03	1.40E-03	2.70E-03	3.50E-03	2.40E-03	2.60E-03	1.70E-03	1.70E-03	1.40E-03	2.10E-03	1.70E-03	1.60E-03			
Specific gravity, Gs	2.56	2.60	2.60	2.58	2.53	2.54	2.55	2.55	2.50	2.52	2.52	2.54	2.54	2.54	2.55
Liquid Limit (LL)	-	38	47	48	42	44	58	62	67	34	56	60			
Plastic Limit (PL)	-	21	25	22	24	20	26	24	21	22	21	23			
Index Plasticity (IP)	-	17	22	26	18	24	32	32	46	12		37			
Wet Density, g/cm ³	1.74	1.74	1.70	1.72	1.79	1.92	1.82	1.83	1.86	1.76	1.83	1.86			
Dry Density, g/cm ³	1.30	1.31	1.22	1.26	1.38	1.56	1.41	1.41	1.48	1.33	1.33	1.46			
Natural Water Content, %	34	33	39	37	30	23	29	27	26	32	28	27			
Liquidity Index	-	0.71	0.64	0.58	0.33	0.13	0.09	0.08	0.11	0.83	0.20	0.11			
Void Ratio	0.97	0.91	1.13	1.06	0.84	0.63	0.81	0.73	0.71	0.89	0.78	0.74			
USCS Classification	SP-SC	CL	CL	SC	CL	CL	CH	CH	CH	CL	CH	CH			
Soil type	poorly-drained SAND	silty CLAY	silty CLAY	clayey SAND	Limestone	Limestone	silty CLAY	silty CLAY	Limestone	silty CLAY	Limestone	silty CLAY			
Grain Size Test		% Gravel	3.34	-	-	2.47	0.87	2.12	-	0.50	-	2.21	-	-	-
% Sand		88.62	18.75	11.28	75.78	43.41	52.26	0.64	18.72	0.14	35.01	0.43	0.18		
% Silt		8.04	66.38	71.15	14.78	38.77	29.93	79.50	65.99	77.60	43.61	79.59	79.87		
% Clay		-	14.87	17.58	6.97	16.96	15.70	19.87	14.79	22.26	19.18	19.99	19.98		
COP 05.21.4. TESTANA	UCT	Cohesion, kg/cm ²	-	0.20	-	-	0.33	-	-	-	0.20	-	-	-	-
	U-TX	Cohesion, kg/cm ²	-	0.41	-	-	0.66	-	-	-	-	-	-	-	-
QT TESTANA	Angle of Int. Friction (deg)	-	-	0.23	-	-	0.28	0.60	1.30	1.50	-	0.67	1.30		
	Angle of Int. Friction (deg)	0.10	-	8	-	-	6	7	8	10	-	7	2		
Moduli		Un drained moduli, (kg/cm ²)	-	51	65	-	54	80	180	225	534	51	170	280	
Moduli		Secant moduli, (kg/cm ²)	-	30	45	-	38	55	90	200	466	39	120	220	
Moduli		Oedometer moduli, (kg/cm ²)	60	12	12	35	10	25	33	50	85	17	32	47	
Moduli		Compression Index, C _c	0.12	0.55	0.50	0.19	0.20	0.18	0.34	0.29	0.27	0.40	0.47	0.41	
Moduli		Eff. overburden pressure, p _o (kg/cm ²)	0.35	0.70	0.17	0.52	0.18	0.38	1.55	2.05	4.19	0.09	1.92	3.44	
Moduli		Preconsolidation pressure, p _{c'} (kg/cm ²)	1.90	1.00	1.00	1.20	0.75	1.40	1.80	1.40	2.60	0.70	2.00	1.00	
Moduli		Swelling index, C _s	0.02	0.10	0.02	0.02	0.03	0.12	0.10	0.08	0.06	0.10	0.08		
Moduli		Coeff. of volume change, m _v (cm ² /kg)	0.02	0.08	0.08	0.03	0.10	0.04	0.03	0.02	0.01	0.06	0.03	0.02	
Moduli		OCR	5.46	1.43	5.88	2.31	4.17	3.68	1.16	0.53	0.62	7.95	1.04	0.29	





PROJECT : CNG Marine.	DATE OF TEST : April 25, 2014.	Ground Water Level	: Unrecorded.
LOCATION : PLTUG Gresik/ PJB Gresik.	BORING DEPTH : 5.00 m.	Ground Surface Level	: ± 0.00 m.
DEPTH, m.	SOIL DESCRIPTION	STRENGTH TEST	ATTERBERG LIMITS
		TYPE cu Ø qu	0 20 40 60 80 100
0.00	Clay and silt, brown, inorganic, little of sand, trace of gravel		> 100
	Limestone, whitish brown, having gradation of clay and silt.	UU 0.23 8 -	25 39 47
1.00			
2.00	Clay and silt, brown, inorganic, trace to little of sand	QT 0.40 34 -	22 37 48
3.00			
4.00	Sand, brown, some clay, contain crushed shells at some depth		
5.00	End of Boring		
BORE HOLE # : SB - 2	0 to 10 % = Trace	C = Cohesion, kg/cm²	γ_t = Natural Density, t/m³
	10 to 20 % = Little	\emptyset = Angle of internal friction	Gs = Specific Gravity
	20 to 35 % = Some	UU = Unconsolidated undrained	eo = Void Ratio
	35 to 50 % = And	CU = Consolidated undrained	Sr = Degree of Saturation, %
	 = Thin walled	CD = Consolidated drained	γ_d = Dry Density gr/cm³
		qu = Unconfined compression strength, kg/cm²	n = Porosity, %

© Copy
 07.21.14.
 TESTANA



TESTANA ENGINEERING, Inc.

A.3. BORING LOG

BOREHOLE #: DB-3

PROJECT : CNG Marine.

LOCATION: PLTUG Gresik/ PJB Gresik.

DATE OF TEST : 31 Mei - 2 June 2014

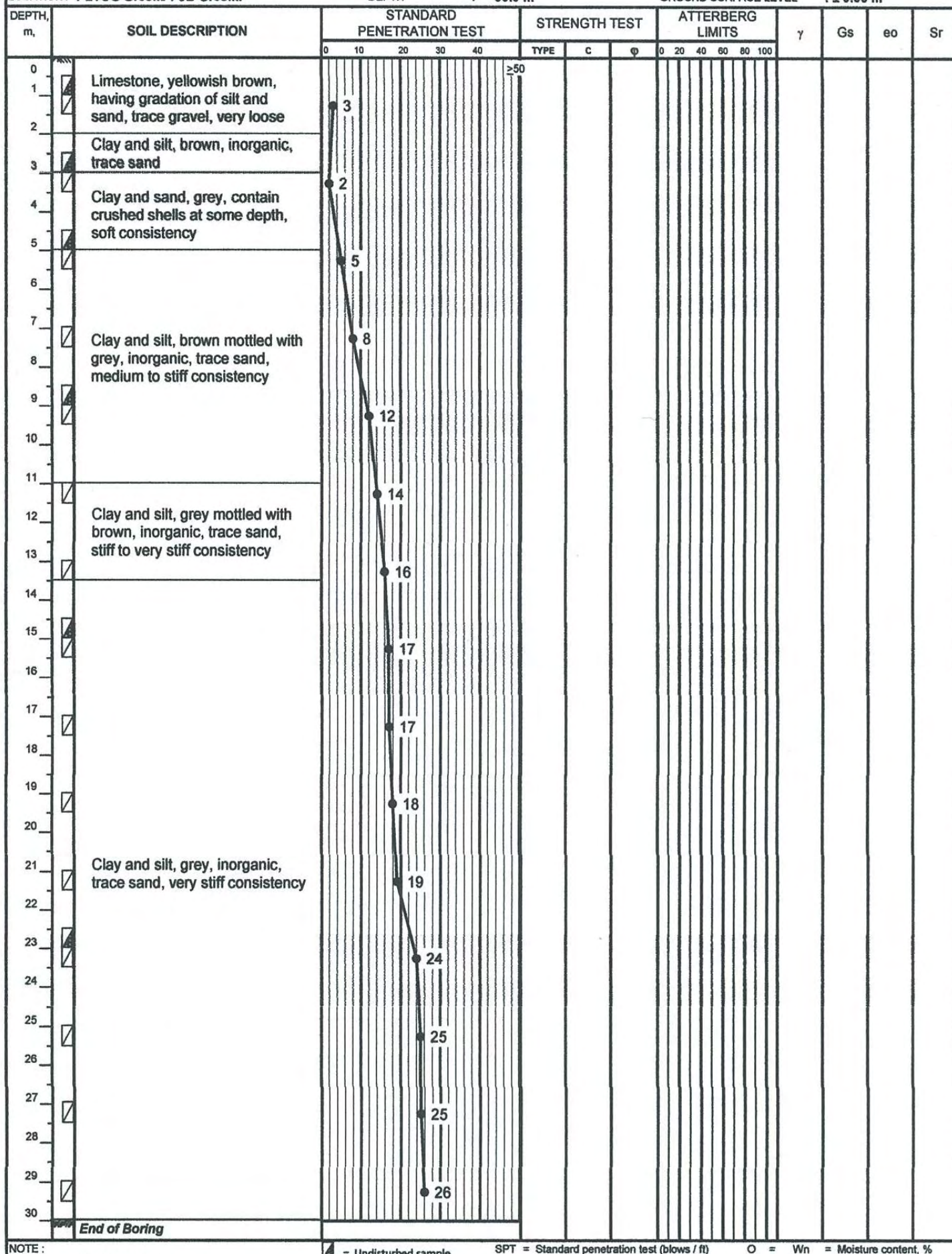
GROUND WATER LEVEL

: Undetected

DEPTH : 30.0 m

GROUND SURFACE LEVEL

: ± 0.00 m



NOTE :

0 to 10 % = Trace
 10 to 20 % = Little
 20 to 35 % = Some
 35 to 50 % = And

■ = Undisturbed sample SPT = Standard penetration test (blows / ft)
 □ = SPT UU = Triaxial, Unconsolidated undrained ○ = Wn = Moisture content, %
 ▨ = Fairly UDS CU = Triaxial, Consolidated undrained ● = Wp = Plastic limit, %
 c = Cohesion intercept, kg/cm² Vane = Vane shear test △ = Wt = Liquid limit, %
 φ = Internal friction angle, deg qu = Unconfined compression strength, kg/cm² γ = Bulk density, t/m³
 QT = Direct shear, quick test. Gs = Specific gravity
 eo = Void ratio

COMPRESSOR DATASHEET
v 2.00
Customer Data

Company	
---------	--

Unit Data

Model	400	4	1500	14
-------	-----	---	------	----

Instrumentation

Base Parameters	Sm3/h at 1,01 bara, 15.0 °C
Elevation	15,2 m
Ambient Temperature	37,8 °C
Suction Temperature	26,7 °C
Gas Specific Gravity	0,65

Performance Data

	MINIMUM IN.PRESSURE	WORKING PRESSURE	MAXIMUM IN.PRESSURE
Suction Pressure	10 bar	12 bar	14 bar
Discharge Pressure	255 bar	255 bar	255 bar
Flow	2589 Sm3/h	3096 Sm3/h	3614 Sm3/h
Power	317 kw	356 kw	394 kw
Specific Consumption	0,122 kwh/Sm3	0,115 kwh/Sm3	0,109 kwh/Sm3

COMPRESSION STAGES

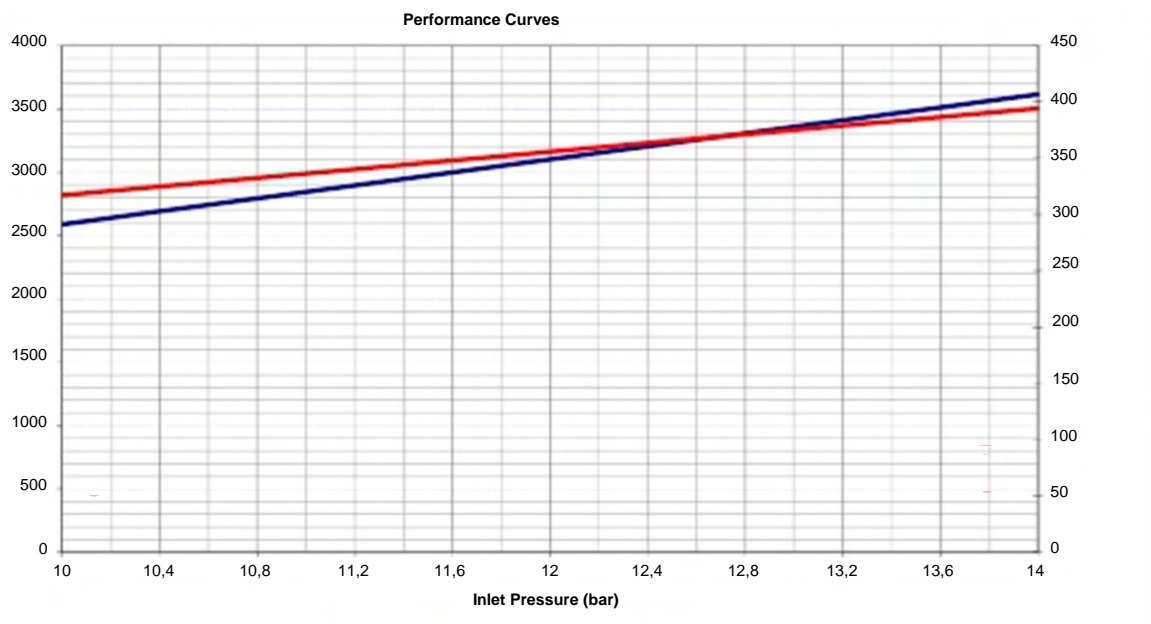
	1	2	3 (x2)	4 (x2)
Cylinder	B22D 170 1500	B14D 120 1500	M10T 90 1500	A05T 45 1500
Bore In (mm)	170	120	90	45
Inlet Pressure	bar	14	26	52
Outlet Pressure	bar	28	58	157
Inlet Temperature	°C	28	51	51
Outlet Temperature	°C	77	110	141
Power	Kw	81	98	69

Pressure Alarms

Inlet Pressure	PSL	9			
	PSH	15			
Outlet Pressure	PSL	17	37	103	229
	PSH	31	64	173	265
Safety Relief Valves	PSV	32	67	181	275

Temperature Alarms

Outlet Temperature	TSL				
	TSH	185	185	185	185

Graphics


*All values may have a +/-10% variation

**The manufacturer reserves the right to modify totally or partially any of the datasheet indications without any previous notification

***The power and specific consumption are at the compressor axis and do not consider losses for engine performance and equipment auxiliary systems

****The interstages pressures and performance may change depending on the different gas compositions.

*****The alarm values indicated are presented only as a reference and the Galileo's authorized technical service reserves the right of increasing or reducing them for the equipment performance optimization.

DATA SHEET							
COMPRESSOR							
FRAME	MODEL		STAGES Nr.	MAX. SUCTION PRESS.		VERSION	
MX-400	MX4 400-4-1500-14		4	14 barG		ELECTRIC	
CABIN							
EQUIPMENT		PRESURIZATION	LIGHTING			DISPLAY	
CORE®		NO	FRONT CABIN	X	APE	4" COLOR DISPLAY	X
CORE® w/ CABIN		YES	X	MOTOR CABIN	X	APE	7" COLOR DISPLAY
MICROBOX®	X			METERING S. CABIN	X	APE	ADDITIONAL REMOTE DISPLAY
MAIN DRIVE / FANS				INTERNAL STORAGE			
MAKE	WEG	POWER RATING		400 kW	TOTAL CAPACITY	BANK 1	-
MODEL / TYPE	400 MTA 355					BANK 2	-
MAIN DRIVE START SYSTEM	SOFT STARTER	THREE-PHASE VOLTAGE		380 V	PRESSURE	BANK 3	-
FANS START SYSTEM	DIRECT	RPM		1.500	PRIORITY PANEL		
MAX. AMBIENT TEMP.	35 °C	FREQUENCY		50 Hz	WAYS NUMBER	1	
HEIGHT	15 MASL	ELECTRICAL HEATERS		NO			
HEAT EXCHANGER				GAS DRYER			
STANDARD	X	TROPICAL		INLET GAS DRYER		-	
OUTLET GAS REFRIGERATION				TOWERS Qty.		-	
ADDITIONAL REFRIGERATION	-			REGENERATION TYPE		-	
FLOW MAX.	-			NOTE: -			
INLET CONNECTION / METERING STATION				PRC			
METERING STATION	YES	INLET CONNECTION		Ø 3" (to be confirmed)	PRC	-	
LINES	1	GAS METER		-	MODEL	-	
PRESSURE REGULATOR	-	FLOW CORRECTOR		-	FLOW MAX.	-	
INLET FILTER	YES						
SAFETY SYSTEMS							
COMPRESSION CABIN					MAIN DRIVE CABIN		
SAFETY RELIEF VALVES	STD	AUTOMATIC SHUTOFF VALVES ACTIVATED BY THE EMERGENCY SYSTEM			YES	PRESURIZATION	YES
PRESURIZATION	YES					ELECTRICAL CABIN	
FIRE DETECTION SYSTEM	Termoveloc.	GAS DETECTION SYSTEM			YES	GAS DETECTION SYSTEM	YES
FIRE EXTINTION SYSTEM	YES					INTRINSICAL SAFETY BARRIERS	
AUTOMATIC STORAGE VENTING	YES						
INSTRUMENTS							
COMPRESSION CABIN					LUBRICATION SYSTEM		
INLET	YES	VIBRATION DETECTOR	INLET	NO	PRESSURE	STD PRESSURE GAUGE	
STAGE 1	YES		STAGE 1	PT-1000	TEMPERATURE	PT-1000	
STAGE 2	YES		STAGE 2	PT-1000	PRIMARY FILTER PRESSURE INDICATOR		MECHANICAL INDICATOR
STAGE 3	YES		STAGE 3	PT-1000			
STAGE 4	YES		STAGE 4	PT-1000	OIL LEVEL	SWITCH MURPHY	
OUTLET	YES		OUTLET	PT-1000	PRELUBRICATION PUMP	YES	
BANK 1	-				COMPRESSOR OIL HEATERS	-	
BANK 2	-				OIL TANK HEATERS	-	
BANK 3	-	CABIN TEMPERATURE		NO			
MOBILE BANK	-	CABIN PRESSURE		YES	STD PRESSURE GAUGE		
METERING CABIN					MAIN DRIVE CABIN		
METER	-	VIBRATION DETECTOR		VIBRATION DETECTOR	-		
FLOW CORRECTOR	-			CABIN TEMPERATURE	PT-1000		
				CABIN PRESSURE	STD PRESSURE GAUGE		
OTHERS				TELECONTROL SYSTEM			
VENTILATION DUCT		-		SCADA READY		YES	
ANTI-VIBRATION SUPPORT		-		MX TO MX COMMUNICATION		-	
AIR COMPRESSOR		NOT INCLUDED		INSTALLATION KIT			
REMOTE ALARM		-		INLET & OUTLET INSTALLATION KIT		-	
CERTIFICATION							
COMMENTS							

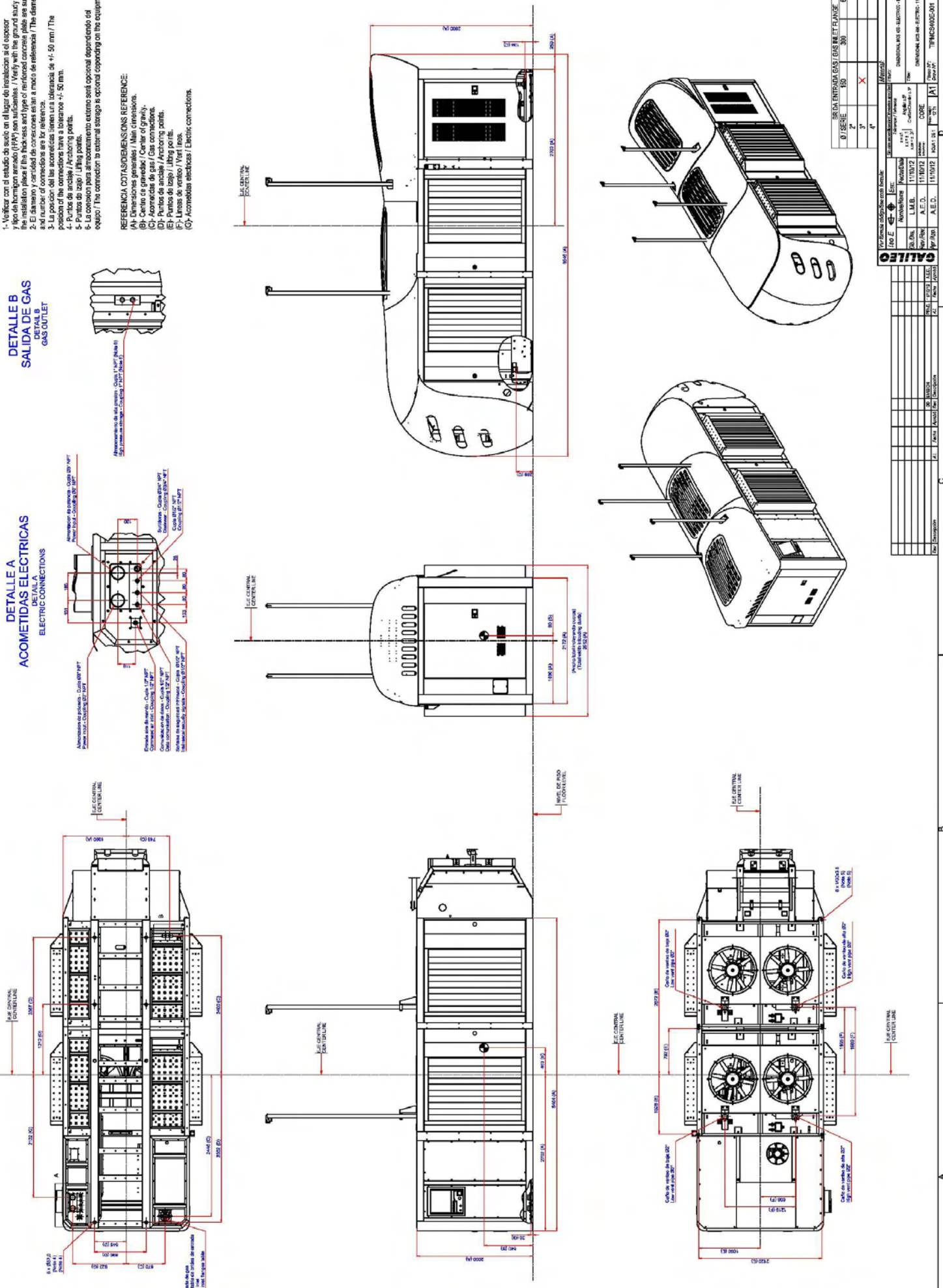
DETALLE A
ACOMETIDAS ELÉCTRICAS

**DETALLE B
SALIDA DE GAS**

NOTAS/ADVERTENCIAS:

- 1-Vigencia con el establecimiento de aislamiento del inspektor tipo de acuerdo firmado (TFA) son las que, en su grado suyo, la instalación pliega la fila (tira), así como de reforzado correa deje de ser suficiente.
- 2-El daño y/o perdida de conocimiento en un modo de elección / The desiree de la instalación o de conocimiento de ser y/o de la defensa.
- 3-La posición de las asambleas tienen una distancia de +/- 50 mm / The position of the connections have a distance +/- 50 mm.
- 4-Una distancia de 250 mm / 11.81 inches.
- 5-Puntas de 250 g / 11.81 g points.
- 6-La conexión al exterior externo es socio dependiendo del sistema.

REFERENCIA COTAS/DIMENSIONES REFERENCIALS:
(A)- Dimensiones generales / Main dimensions.
(B)- Centro de gravedad / Center of gravity.
(C)- Aproximadas de gas / Gas approximate dimensions.
(D)- Puntos de anclaje / Anchoring points.
(E)- Puntos de tizne / Lighting points.
(F)- Líneas de viento / Wind lines.
(G)- Accesorios eléctricos / Electric accessories.





OKA

PRECAST CONCRETE PILES

(67634-M)



Conform To MS 1314 : 2004





OKA Reinforced Concrete Square Piles

Design and Code of Practices

The design and manufacture of OKA reinforced concrete piles is in accordance with:

MS 1314:2004	"Malaysian Standard for Precast Concrete Piles"
BS 8004:1986	"British Standard Code of Practice for Foundation"
BS 8110 Pt 1:1985	"British Standard on Structural Use of Concrete - Code of Practice for Design and Construction".

Materials Specifications

Concrete	Characteristic cube strength shall be 45 N/mm ² ; Water /Cement Ratio <0.45
Cement	Ordinary Portland Cement to MS 522
Aggregates	MS 29
Reinforcement	MS 144 and MS 146

Design Criteria

The piles are designed and manufactured to withstand loads or stresses due to lifting, stacking, transport, handling, pitching and driving at site.

MAIN LONGITUDINAL REINFORCEMENT is designed for lifting, handling and pitching. It is also been taken into consideration for contributing to the axial load capacity:

For OKA Class "MS" Pile,

Small Piles up to 175mm	Minimum 1.0% steel content by volume
Piles 200mm & above	Minimum 0.8% steel content by volume

LATERAL REINFORCEMENT in the form of links is provided to prevent shattering or splitting of pile during driving :

All Piles	Minimum 0.6% steel content by volume (at pile head/toe)
	Minimum 0.2% steel content by volume (at pile body)

Handling & Pitching

OKA piles are designed to resist bending moment due to single point or two points lifting/pitching.

Pile Shoes

OKA piles come with FIVE alternative type of pile shoes. The type of pile shoe selected depend on driving and soil conditions.

(FLAT SHOE)

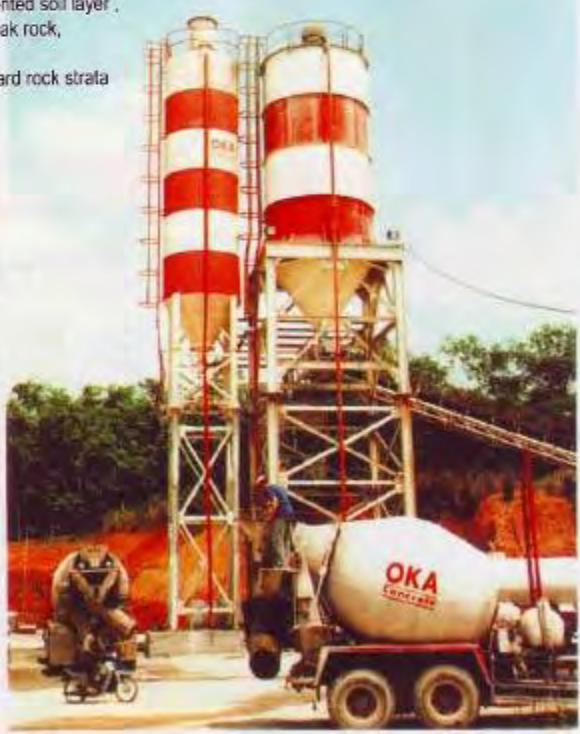
Type N Normal Flat Shoe easy to medium hard driving
(Flat-ended MS Plate)

(POINTED SHOES)

Type 1 X-Pointed Shoe moderate to hard driving
Type 2 Fabricated Pointed Shoe normal hard driving
Type 3 Cast-Iron Pointed Shoe normal hard driving,
to penetrate cemented soil layer ,
pile seating on weak rock,
hard driving and
Type 4 Rock Shoe ("Oslo Point") piles seating on hard rock strata



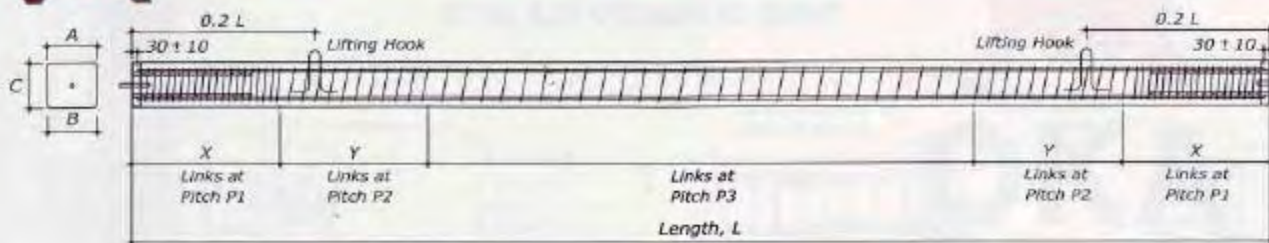
RC Piles at OKA factory.



OKA readymix concrete plant.



OKA REINFORCED CONCRETE SQUARE PILES



Pile Dimensions and Details

Pile Nominal Size A x C (mm x mm)	Pile Length L (M)	Maximum Structural Load (ton)	Recommended Axial Working Load (ton)	Pile Dimensions			Main Reinforcement (No/Dia)	Links					
				A (mm)	B (mm)	C (mm)		Wire Size (mm)	P1 (mm)	X (mm)	P2 (mm)	Y (mm)	P3 (mm)

OKA Class "MS" Piles (Conform To MS1314 : 2004)

150 X 150	6.3	32	25	153	147	150	4 T 9	4.5	45	450	45 - 75	450	75
175 X 175	6.3	44	35	178	172	175	4 T 10	4.5	40	525	40 - 87	525	87
200 X 200	9,6,3	58	45	203	197	200	4 T 12	5.0	45	600	45 - 100	600	100
225 X 225	9,6,3	71	57	228	222	225	4 T 12	5.0	42	675	42 - 112	675	112
250 X 250	9,6,3	89	75	253	247	250	8 T 10	5.5	40	750	40 - 125	750	125
250 X 250	12	92	75	253	247	250	4 T 16	5.5	40	750	40 - 125	750	125
275 X 275	9,6,3	105	85	278	272	275	8 T 10	5.5	41	825	41 - 117	825	117
275 X 275	12	108	85	278	272	275	4 T 16	5.5	41	825	41 - 117	825	117
300 X 300	12,9,6,3	126	105	303	297	300	4 T 16	6.0	43	900	43 - 135	900	135
325 X 325	12,9,6,3	148	120	328	322	325	8 T 12	6.0	42	975	42 - 131	975	131
350 X 350	12,9,6,3	172	145	353	347	350	4 T 16 + 4 T 10	6.0	40	1050	40 - 120	1050	120
375 X 375	12,9,6,3	198	160	378	372	375	4 T 20	6.5	45	1125	45 - 136	1125	136
400 X 400	12,9,6,3	227	190	403	397	400	4 T 20 + 4 T 10	6.5	44	1200	44 - 133	1200	133
450 X 450	12,9,6,3	282	230	453	447	450	4 T 20 + 4 T 12	6.5	41	1350	41 - 120	1350	120

OKA Class "C" Piles

150 X 150	6.3	32	25	153	147	150	4 T 9	4.5	45	450	45 - 75	450	75
175 X 175	6.3	43	35	178	172	175	4 T 9	4.5	40	525	40 - 87	525	87
200 X 200	6.3	55	45	203	197	200	4 T 10	5.0	45	600	45 - 100	600	100

CAPACITY OF PILE

The maximum allowable structural working load (Safe Working Load) of the pile is calculated in accordance with BS 8004.

$$\text{Max. Structural Working Load} = \frac{f_{cu} \times A_c + f_{sc} \times A_s}{3.65}$$

f_{cu} Characteristic cube strength of concrete at 28 days = 45 N/mm²

A_c Area of concrete

f_{sc} 175 N/mm² for High Yield Reinforcement

A_s Area of steel

Notes :

1. OKA Class "MS" piles are designed and manufactured in accordance with MS 1314:2004.
2. OKA Class "C" piles are designed and manufactured in accordance with BS 8004.
3. Concrete used shall be grade 45 with characteristic cube strength of 45 N/mm² at 28 days.
4. The above structural loads are for reference only. Actual structural loads are also dependent on other factors especially ground conditions.

Type N Normal Flat Shoe Details				
Pile Nominal Size A x C (mm x mm)	Joint Plate Thickness (mm)	Centering Bar Diameter (mm)	Anchorage Bars	
			No / Dia	Length

OKA Class "MS" Flat Shoe

150 X 150	6	12	4 T 9	315
175 X 175	6	12	4 T 10	350
200 X 200	9	16	4 T 12	384
225 X 225	9	16	4 T 12	384
250 X 250	9	16	4 T 16	512
275 X 275	9	20	4 T 16	512
300 X 300	9	20	4 T 16	512
325 X 325	9	20	4 T 20	640
350 X 350	12	20	4 T 20	640
375 X 375	12	20	4 T 20	640
400 X 400	12	20	4 T 25	800
450 X 450	12	20	4 T 25	800

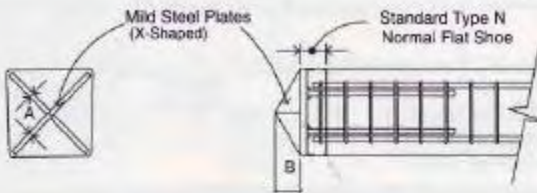
OKA Class "C" Flat Shoe

150 X 150	4.5	12	4 T 9	300
175 X 175	4.5	12	4 T 9	300
200 X 200	6	16	4 T 10	350

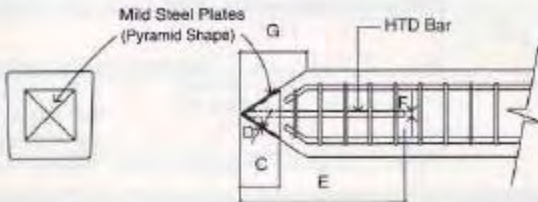


OKA REINFORCED CONCRETE SQUARE PILES

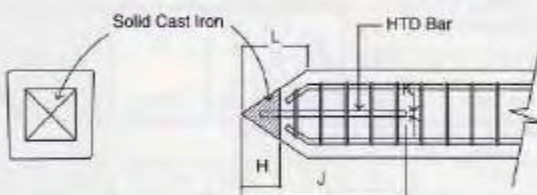
TYPES OF POINTED PILE SHOE



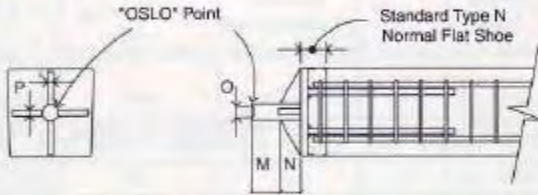
(Pointed Shoe) Type 1 - X-Pointed Shoe



(Pointed Shoe) Type 2 - Fabricated Pointed Shoe



(Pointed Shoe) Type 3 - Cast-iron Pointed Shoe



(Pointed Shoe) Type 4 Rock Shoe ("OSLO Point")

Pile Nominal Size	TYPES OF POINTED PILE SHOE														
	Type 1 X-Pointed Shoe		Type 2 Fabricated Pointed Shoe					Type 3 Cast-iron Pointed Shoe					Type 4 Rock Shoe ("Oslo Point")		
	A (mm)	B (mm)	C (mm)	D (mm)	E (mm)	F (mm)	G (mm)	H (mm)	J (mm)	K (mm)	L (mm)	M (mm)	N (mm)	O (mm)	P (mm)
150x150	6	45	100	6	500	16	150	100	600	20	150	45	45	20	20
175x175	6	50	100	6	500	16	175	100	600	20	175	50	50	20	20
200x200	6	60	100	6	500	16	200	150	600	20	200	60	60	20	20
225x225	8	65	150	8	500	16	225	150	600	20	225	65	65	50	20
250x250	8	75	150	8	500	16	250	150	600	20	250	75	75	50	20
275x275	8	80	150	8	500	16	275	150	600	20	275	80	80	50	20
300x300	8	85	150	8	500	16	300	150	600	20	300	85	85	50	20
325x325	8	95	150	8	500	16	325	150	600	20	325	95	95	50	20
350x350	8	100	150	8	500	16	350	150	600	20	350	100	100	50	20
375x375	8	110	150	8	500	16	375	150	600	20	375	110	110	50	20
400x400	8	115	150	8	500	16	400	150	600	20	400	115	115	50	20

Quality Control



Quality Control of all materials and components in pile manufacturing is an essential part of the Oka piling system.

To achieve this, regular testing is carried out and maintained in accordance with Oka's specifications, relevant British Standard Codes of Practice and Malaysian standard. Results are recorded graphically to ensure trends can be recognised early and for ease of reference each pile carries an identification number. Among the many test carried out are:

- Test on concrete cubes for compressive strength.
- Checks on finished piles for straightness, cross-section, alignment of joint and fittings.
- Slump test on concrete batches.
- Test on aggregate samples for grading and silt content.
- Stringent checks on reinforcement cages for steel quality, spacing and stirrups pitch.

OKA CONCRETE INDUSTRIES SDN BHD
(Subsidiary of OKA CORPORATION BHD)

HEAD OFFICE

No.6, Lebuhraya Chateau, Off Jalan Kampar,
30250 Ipoh, Perak Darul Ridzuan.
Tel: 05-2542741 / 2542745 / 2542746 /
2542748 / 2531734 / 2425211
Fax: 05-2532403 / 2411851



FACTORIES:

Perak
BKM, Off Jalan Gopeng/Batu Gajah,
31300 Kampung Kepayang,
Ipoh, Perak.
Tel: 05-3663516/3666457
Fax: 05-3656505

Negeri Sembilan
PT 2500, Batu 2½
Jalan Pajam-Batang Benar,
71800 Nilai, Negeri Sembilan.
Tel: 06-7999287
Fax: 06-7999287

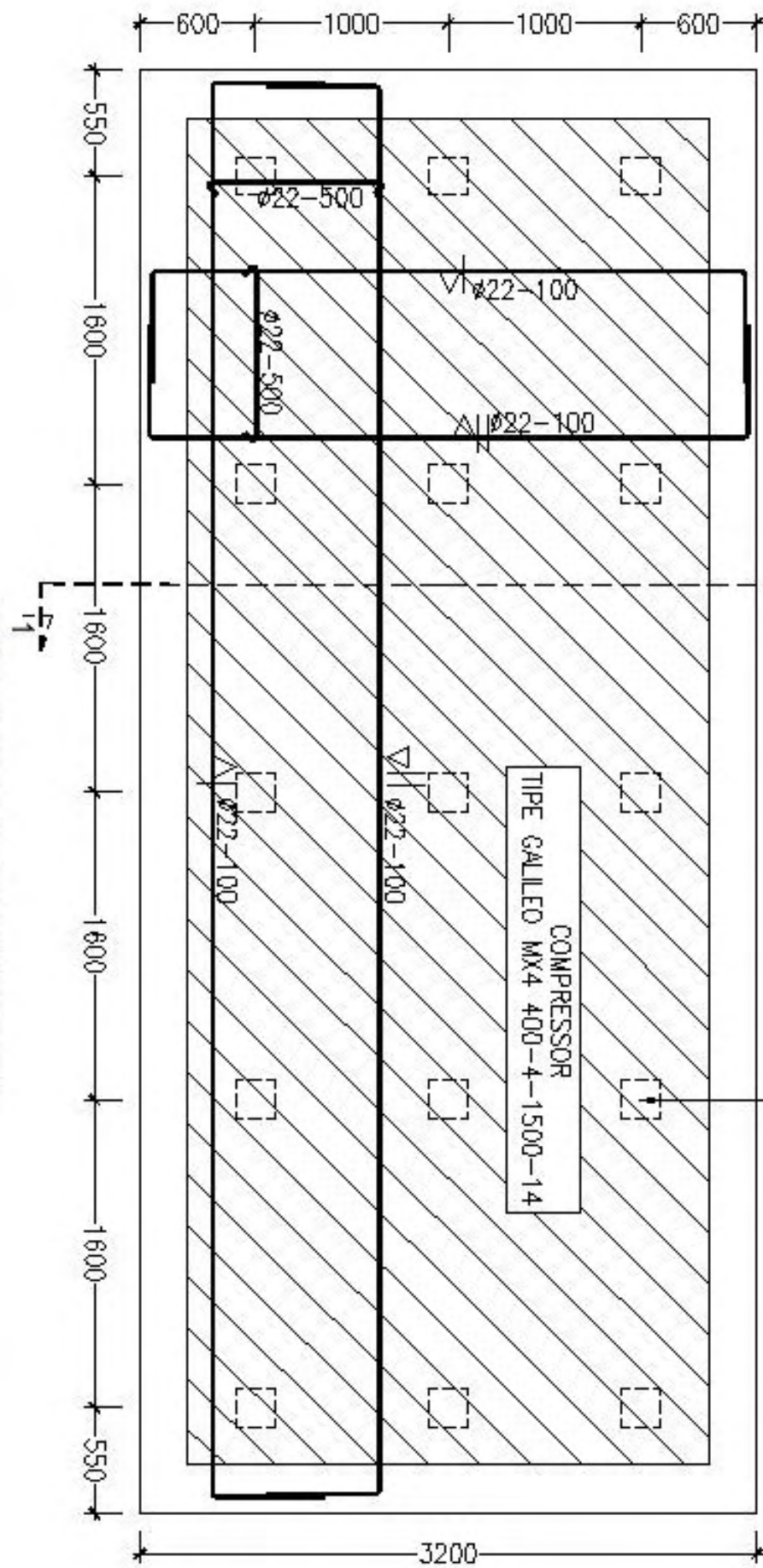
Johor
Lot 548, Mukim Senai,
Jalan Seelong,
81400 Kulai, Johor.
Tel: 07-5511008
Fax: 07-5511011

Pahang
Lot 986 & Lot 2354,
Batu 6, Jalan Gambang,
25150 Kuantan, Pahang.
Tel: 09-5511371
Fax: 09-5511560



1
1

SQUARE PILE
 $20\text{CM} \times 20\text{CM}$
 $L = 10\text{M}$

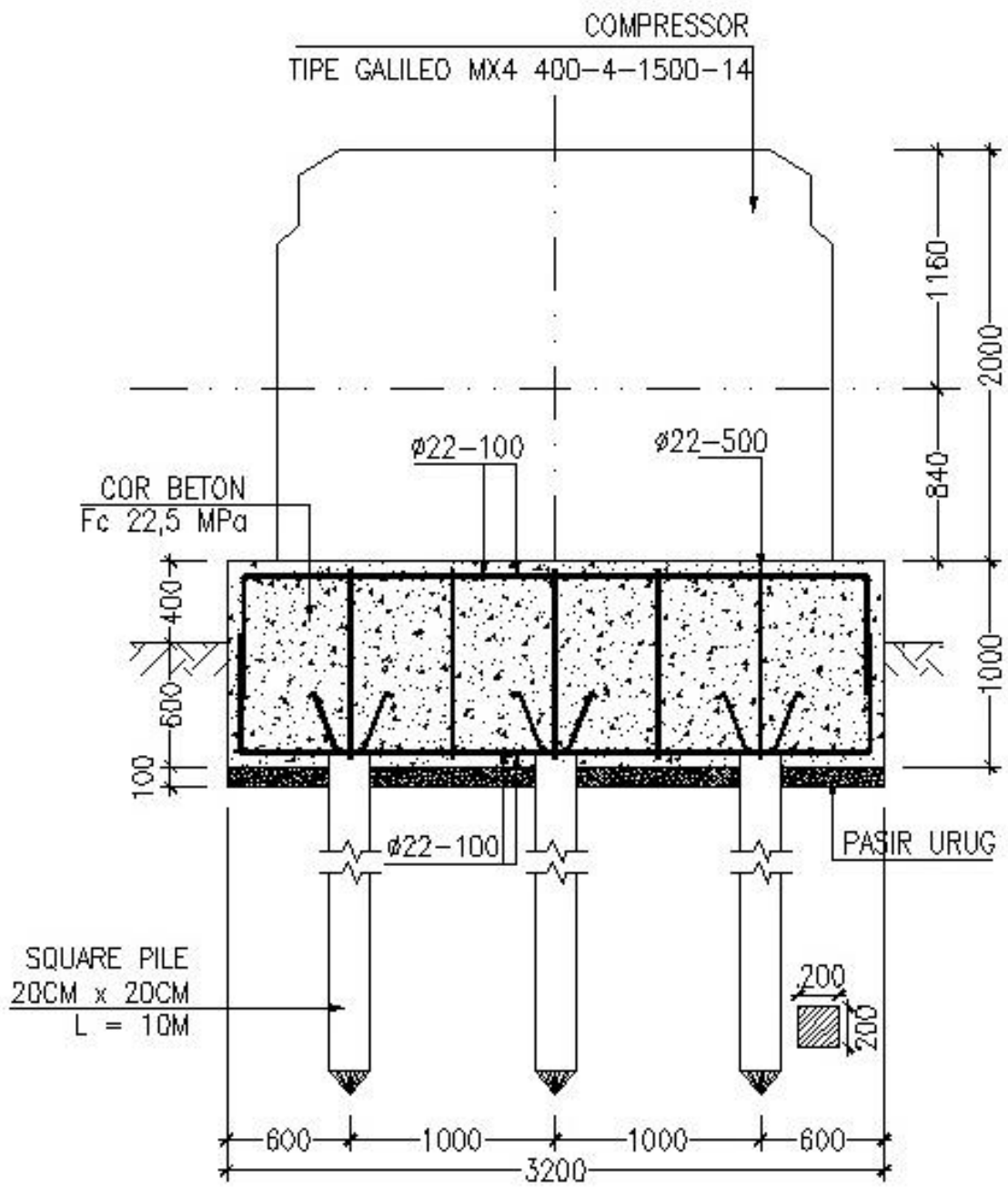


DETAIL PONDASI UNTUK PONDASI KELOMPOK 1 MESIN

INSTITUT TEKNOLOGI SEPULUH NOPEMBER
FAKULTAS TEKNIK SIPIL DAN PERENCANAAN
JURUSAN TEKNIK SIPIL

DIGAMBAR OLEH:

CINDY RARA MERIS / 3113.105.055

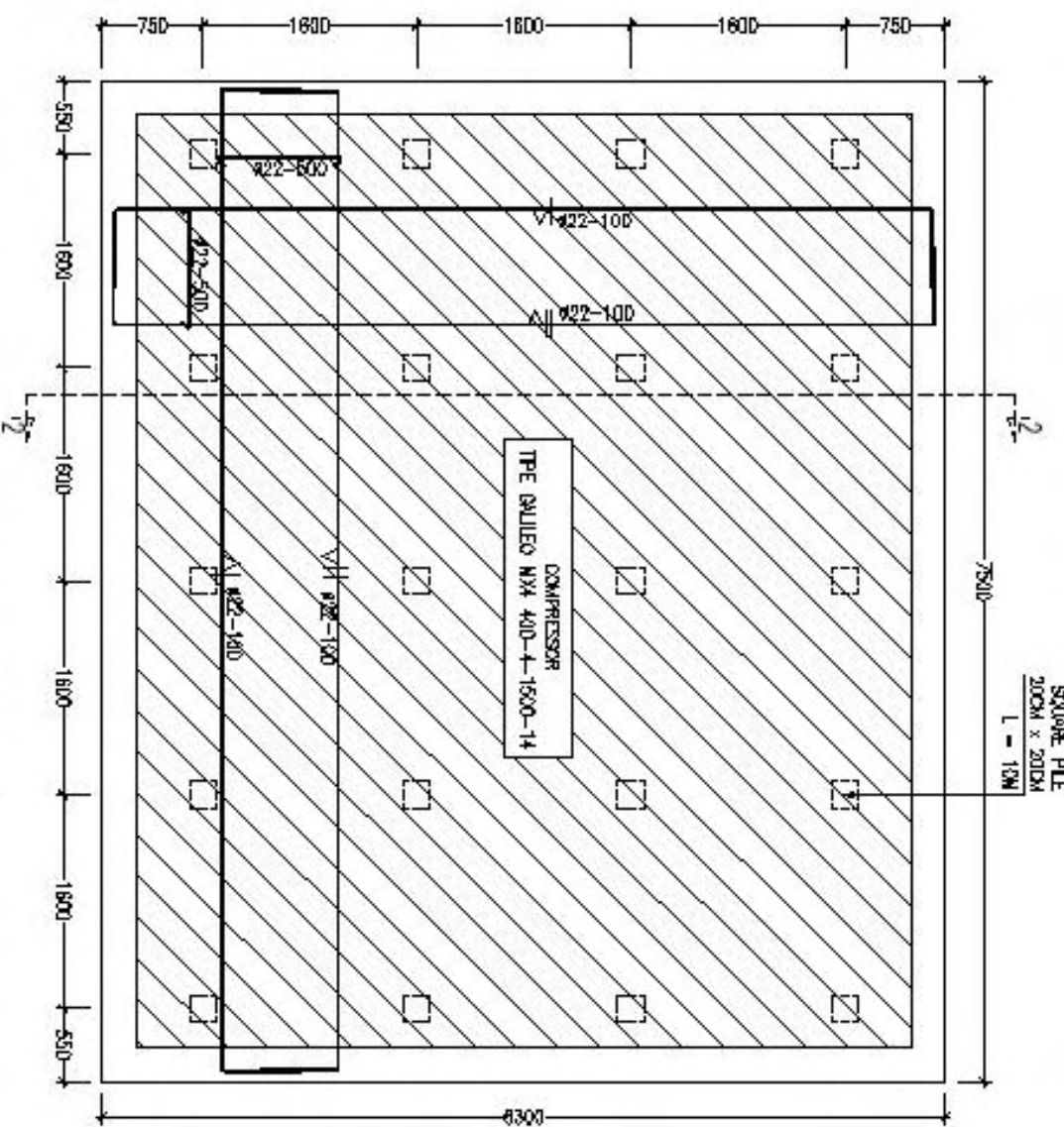


POTONGAN 1-1
SCALE 1 : 50



INSTITUT TEKNOLOGI SEPULUH NOPEMBER
FAKULTAS TEKNIK SABL DAN PERENCANAAN
TODAY MEET THE FUTURE

CINDY RARA MERTS / 3113103.055



DETAIL PONDASI UNTUK PONDASI KELompok 2 MESN

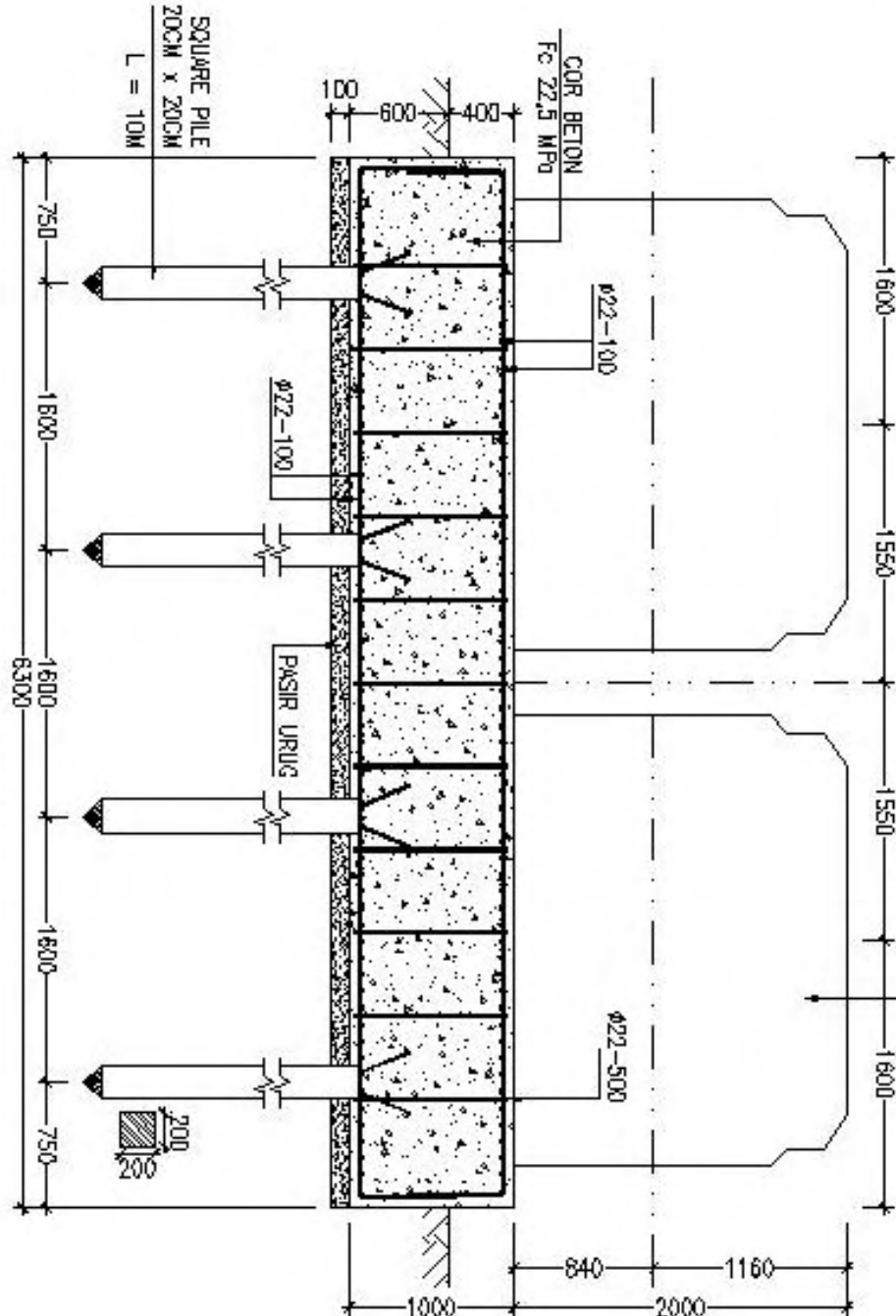
INSTITUT TEKNOLOGI SEPULUH NOPEMBER
FAKULTAS TEKNIK SIPS DAN PERENCANAAN
JURUSAN TEKNIK SIPIL

DUGA MERA OLEH:

CINDY RARA MERIS / 3113105.055



COMPRESSOR



POTONGAN 2-2
SCALE 1 : 40

INSTITUT TEKNOLOGI SEPULUH NOPEMBER
FAKULTAS TEKNIK STIFL DAN PERENCANAAN
JURUSAN TEKNIK SISTEM

DIGIBAR.OLEH:

CINDY RAMERIS / 3113.105.055

SQUARE PILE $20\text{CM} \times 20\text{CM}$
 $L = 10\text{M}$

The figure shows a technical drawing of a compressor unit. The unit is rectangular with a central vertical dashed line. The left side features a vertical column of square holes. A horizontal line with labels connects the top and bottom sections. The top section contains a label box with the text "COMPRESSOR TIPE GALILEO MX4 400-4-1500-14". The bottom section contains labels: "VII #22-100", "#22-100", "VII #22-100", "#22-100", and "#22-100". The entire unit is bounded by a thick black border.

CINDY RAKEMERS / 3113.104.055

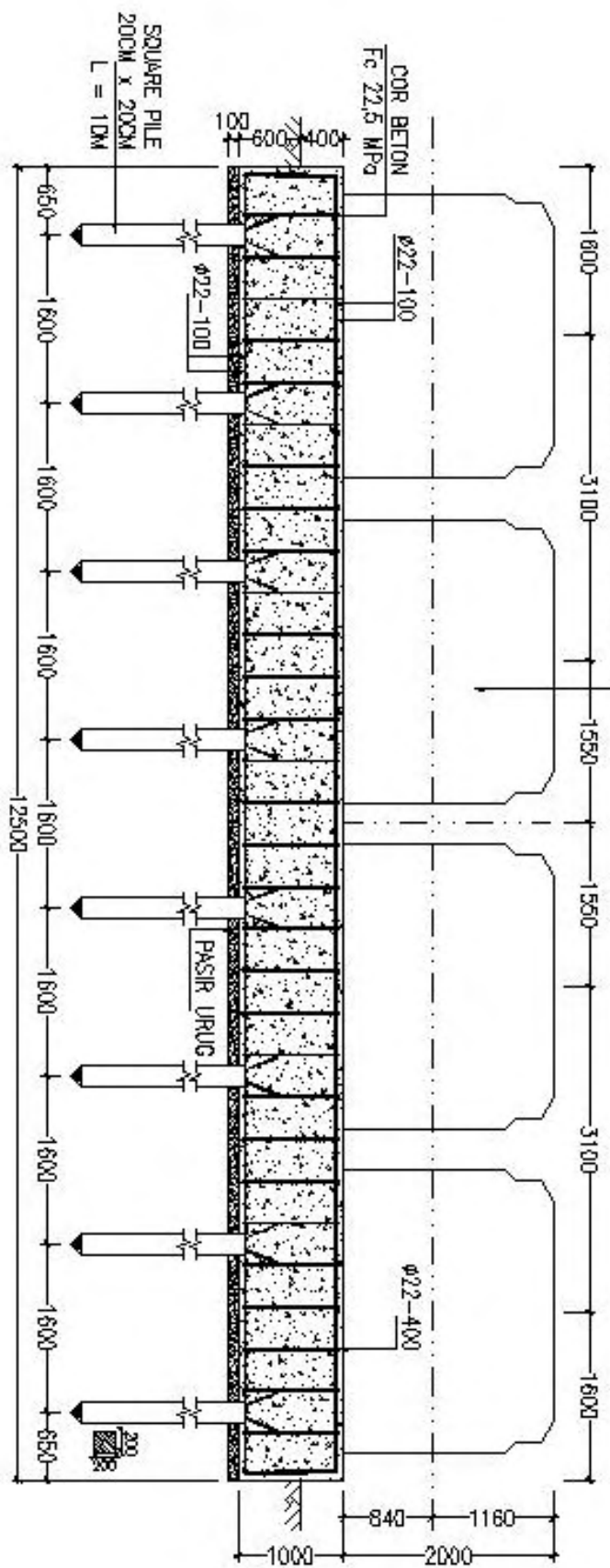
**INSTITUT TECHNIQUE MÉTALURGIQUE
ÉCOLE DES MÉTIERS DU DÉPARTEMENT
TOULOUSE**



DETAL PONDASI UNTUK PONDASI KELompok 4 MESIN



TIPE GALILEO MX4 400-4-1500-14



POTONGAN 3-3
SCALE 1 : 80

INSTITUT TEKNOLOGI SEPULUH NOVEMBER
FAKULTAS TEKNIK SITLP DAN PERENCANAAN
JURUSAN TEKNIK SIPIL

DAGMABAR, OLEH:

CINDY RAMERIS / 3113.105.055

DAFTAR PUSTAKA

Sidharta, Ananta Sigit. 2013. “Buku Ajar Pondasi Beban Dinamis”. Jurusan Teknik Sipil ITS.

Arya, Suresh C., Michael W. O’Neil, & George Pincus. 1979. *Design of Structures and Foundations for Vibrating Machine*. Texas. Gult Publishing Company.

Untung, Djoko.2010. Rekayasa Pondasi Tiang. Jurusan Teknik Sipil ITS.

Untung, Djoko. 2011. Rekayasa Pondasi Dangkal. Jurusan Teknik Sipil ITS.

Irsyam, Masyur. 2004. “Catatan Kuliah Pondasi Dinamis”. Departemen teknik Sipil ITB.

Sanglerat, Guy, Gilbert Olivari, & Bernard Cambou. 1989. “Mekanika Tanah dan Teknik Pondasi”. Jakarta. Erlangga. Terjemahan oleh Ir. V. F. X. Kristanto, M.Eng.

Bowles, Joseph E. 1993. “*Foundation Analysis and Design*”, *fifth Edition*. Jakarta. Erlangga. Terjemahan oleh Pantur Silaban.

Nakazawa, Kazuto. 2000. “*Soil Mechanics And Foundation Engineering*”. Jakarta. Pertja. Terjemahan oleh Taulu.

BIODATA PENULIS



CINDY RARA MERIS

Penulis dilahirkan di Paraman Ampalu, Sumatera Barat, 02 Juli 1989. Penulis telah menempuh pendidikan formal diantaranya :

1. SD N 01 Paraman Ampalu (1995-2001)
2. SLTP N 01 Paraman Ampalu (2001-2004)
3. SMA N 03 Rumbai, Riau (2004-2007)
4. Politeknik Negeri Medan (2007-2010)

Sebelum melanjutkan perkuliahan di Institut Teknologi Sepuluh Nopember (ITS) Surabaya,

Penulis sudah pernah bekerja di perusahaan *developer*, PT. Savanro Utama di Sibolga (2010-2011) sebagai *staff engineer*, dan perusahaan konstruksi, PT. Sinar Mitra Abadi di Medan (2011-2013) sebagai *staff engineer*.

Tahun 2013, penulis melanjutkan pendidikannya di Institut Teknologi Sepuluh Nopember (ITS) Surabaya pada program Lintas Jalur Teknik Sipil FTSP-ITS.

Email: cin.meris@gmail.com